

# UNIVERSIDAD NACIONAL AUTONOMA DE MEXICO

FACULTAD DE INGENIERIA

“PUENTE VEHICULAR SANTA ELENA”

T E S I S  
QUE PARA OBTENER EL TITULO DE:  
INGENIERO CIVIL  
P R E S E N T A :  
GUILLERMO ARZATE TREJO

DIRECTOR DE TESIS: INGENIERO FEDERICO NESTOR ALCARAZ LOZANO



MEXICO, D.F.

2001



**UNAM – Dirección General de Bibliotecas**

**Tesis Digitales**  
**Restricciones de uso**

**DERECHOS RESERVADOS ©**  
**PROHIBIDA SU REPRODUCCIÓN TOTAL O PARCIAL**

Todo el material contenido en esta tesis está protegido por la Ley Federal del Derecho de Autor (LFDA) de los Estados Unidos Mexicanos (Méjico).

El uso de imágenes, fragmentos de videos, y demás material que sea objeto de protección de los derechos de autor, será exclusivamente para fines educativos e informativos y deberá citar la fuente donde la obtuvo mencionando el autor o autores. Cualquier uso distinto como el lucro, reproducción, edición o modificación, será perseguido y sancionado por el respectivo titular de los Derechos de Autor.

*LICENCIAS DE INGENIERIA*  
MEXICO  
2000

FACULTAD DE INGENIERIA  
DIRECCION  
FING/DCTG/SEAC/UTIT/085/00

Señor  
**GUILLERMO ARZATE TREJO**  
Presente

En atención a su solicitud me es grato hacer de su conocimiento el tema que propuso el profesor ING. FEDERICO NESTOR ALCARAZ LOZANO, que aprobó esta Dirección, para que lo desarrolle usted como tesis de su examen profesional de **INGENIERO CIVIL**.

"PUENTE VEHICULAR SANTA ELENA"  
(Paseo Tollocan en Toluca, Edo de México)

- I. INTRODUCCION
- I. ANTECEDENTES
- II. ESTUDIOS PRELIMINARES
- III. PROYECTO GEOMETRICO
- IV. PROYECTO ESTRUCTURAL
- V. CUANTIFICACION
- VI. PROGRAMA DE CONSTRUCCION
- VII. PROCEDIMIENTO CONSTRUCTIVO
- VIII. CONCLUSIONES
- BIBLIOGRAFIA
- ANEXOS

Ruego a usted cumplir con la disposición de la Dirección General de la Administración Escolar en el sentido de que se imprima en lugar visible de cada ejemplar de la tesis el Título de ésta.

Asimismo le recuerdo que la Ley de Profesiones estipula que deberá prestar servicio social durante un tiempo mínimo de seis meses como requisito para sustentar Examen Profesional

Atentamente  
"POR MI RAZA HABLARA EL ESPIRITU"  
Cd. Universitaria a 17 de agosto de 2000

EL DIRECTOR

M.C. GERARDO FERRANDO BRAVO  
GFB/GMPmsig.

## Agradecimiento

Agradezco a Dios por permitirme lograr una meta más

Agradezco a mis padres por darme la vida y su apoyo

Agradezco a mi familia por brindarme su incondicional apoyo

Agradezco a la Universidad por darme la magnifica oportunidad de formar  
parte de su comunidad.

Agradezco a todos mis profesores por compartir sus conocimientos conmigo.

Agradezco muy en especial al Ingeniero Federico Néstor Alcaraz Lozano por  
brindarme todo su apoyo, experiencia, conocimiento y tiempo para realizar  
este trabajo, ya que sin todo esto no me hubiera sido posible realizarlo.

Agradezco profundamente a: M. I. Ma del Rosio Ruiz Urbano, Ing José  
Arturo Reyna Galindo, Ing. José Luis Ezquivel Avila e Ing. Roberto Rojo  
Yañiz por aceptar formar parte de mi jurado.

## *Dedicatoria*

Dedico este trabajo a la persona más especial que he conocido en toda mi vida, ya que sin su paciencia, apoyo y amor me hubiera sido imposible realizar cualquier meta.

*Gracias mamá.*

I	Antecedentes	
1.1	Preliminares	1
1.2	Descripción de la obra	1
1.3	Parámetros de diseño	1
II	Estudios preliminares	
II.1	Estudio de mecánica de suelos	
II.1.1	Exploración en sitio	7
II.1.2	Estudios de laboratorio	8
II.1.3	Estratigrafía y propiedades del suelo	9
II.1.4	Límite de plasticidad	13
II.1.5	Resistencia al corte	15
II.1.6	Compresibilidad	19
II.1.7	Capacidad de carga y asentamientos	21
II.1.8	Conclusiones.	25
II.2	Estudio de tránsito.	26
III	Proyecto Geométrico.	
III.1	Pendiente de terraplenes.	27
III.2	Curvas verticales.	28
III.3	Perfil Longitudinal del puente	32
IV	Proyecto estructural.	
IV.1	Acciones sísmicas.	33
IV.2	Superestructura	
IV.2.1	Datos de proyecto.	35
IV.2.2	Diseño.	
IV.2.2.1	Losa.	37
IV.2.2.2	Trabes.	43
IV.2.2.3	Atiesadores.	57
IV.3	Subestructura.	
IV.3.1	Datos del proyecto.	81
IV.3.2	Diseño.	
IV.3.2.1	Pilas	83
IV.3.2.2	Zapatas y contratrabes.	103
IV.3.2.3	Columnas.	109
IV.3.2.4	Cabezales.	115
IV.3.2.5	Ménsulas.	118
IV.3.2.6	Apoyos de neopreno.	122

V	Tacón de Icaco	
V.1	Acáboro de concreto	134
VI	Programa de construcción	
VI.1	Elementos que incluye	115
VI.2	Programa de obra	116
VII	Procedimiento constructivo	
VII.1	Especificaciones.	147
VII.2	Materiales	156
VII.3	Subestructura.	157
VII.4	Superestructura	158
VIII	Conclusiones	160
	Bibliografía.	162
	Anexos.	
1	Sondeos de mecánica de suelos.	
2.	Levantamiento topográfico.	
3.	Datos estructurales	
4.	Planos.	

## I.1 Preliminares

El proyecto de ampliación y mejoramiento del paseo “Tollocan” a la entrada de la ciudad de Toluca, Estado de México contempla como parte de dicho proyecto la adecuación de algunos puentes existentes, así como la construcción de otros puentes vehiculares, uno de los cuales es el puente vehicular “Santa Elena” el cual consta de dos cuerpos, localizándose el cuerpo norte en la estación 8+825.64 y el cuerpo sur en la estación 9+086.27 con origen en la “Puerta – Tollotzin” dirección Toluca a la Ciudad de México.

## I.2 Descripción de la obra.

El cruce se encuentra localizado en tangente y con un esviaje de  $3^{\circ}33'$ , este (el cruce) se resolvió mediante un paso inferior vehicular (puente) de dos cuerpos independientes, cuerpo norte y cuerpo sur, cada uno de dos claros extremos de 11.87 m y uno central de 25.05 m, estas medidas son a ejes de pilas y estribos para una longitud total del puente de 49.71 m incluyendo las culatas extremas, estas dimensiones son considerando el esviaje indicado

La superestructura se formó por dos cuerpos de 12.00 m de ancho total cada uno y tres tramos de losa de concreto reforzado de 15.00 cm de espesor, trabajando en colaboración con nueve trabes metálicas, por tramo, de 1.20 m de peralte. La longitud total del puente es de 49.71 m y el ancho de calzada por cuerpo es de 10.50 m para tres carriles de circulación.

Se cuenta con dos pilas intermedias de concreto reforzado formadas por un cabezal de 0.70 m de peralte y de 1.20 m de ancho, apoyado sobre cinco columnas de 1.00 x 0.80 m de sección, desplantadas a 2.00 m de profundidad bajo el nivel del terreno natural mediante una zapata corrida de 4.00 m de ancho por 13.00 m de largo.

Se cuenta con dos estribos extremos de concreto reforzado apoyados en los terraplenes mecánicamente estabilizados y formados por una zapata de 2.00 m de ancho, 14.00 m de largo y 0.40 m de peralte, además de un respaldo de concreto reforzado para contener el material del terraplén.

Se cuenta con cuatro terraplenes de acceso, dos por cuerpo, resueltos mediante el sistema de terraplenes mecánicamente estabilizados y con una

Límite promedio de 220 N/mm<sup>2</sup> para terrenos en terrenos estables en una compactación mínima de 90% de la prueba PROCTOR modificada y de 95% en la capa subrasante.

El gálibo mínimo para el paso inferior vehicular es de 5.50 m.

El diseño del puente se realizó conforme a las especificaciones "AASHTO-SCTI" para puentes carreteros, así como en ciertos casos, cuando se consideró más seguro, se aplicó lo indicado por el "ACI-318"- 1983, El Manual de Diseño de Obras Civiles de la Comisión Federal de Electricidad edición 1993 y para el cálculo de los apoyos integrales de neopreno Las Normas Francesas del Servicio de Estudios Técnicos de caminos y Autopistas (SETRA) adoptados por la S.C.T.

Así también se consideran las conclusiones del estudio de mecánica de suelos (ver anexo 1) que recomienda usar un coeficiente sísmico  $c = 0.29$  indicando además que el terreno es similar al que corresponde a la zona de transición o zona II de la Ciudad de México.

Por lo tanto de acuerdo a lo anterior la clasificación de la estructura para análisis sísmico es:

TERRENO TIPO II  
ZONA SISMICA ZONA "B"

ESTRUCTURA	VALORES
Q longitudinal	2
Q transversal	3
C	0.29

La estructura (puente) se diseño tomando en cuenta tres carriles, dos considerando carga HS-20 y el tercero con carga T3-S2-R4, según indican las especificaciones “AASHTO- SCT” para carreteras tipo “A”

Las acciones que se consideraron para el diseño fueron: carga muerta (CM), Carga viva más impacto (CVI), Fuerza longitudinal por la carga viva (Frenaje F), Viento longitudinal sobre la estructura (VLE), Viento transversal sobre la estructura (VTE), Viento longitudinal sobre la carga viva (VLCV), Viento transversal sobre la carga viva(VTCV), sismo longitudinal.(SL) y Sismo transversal (ST). Para el diseño estas fuerzas se combinaron de acuerdo a los grupos de carga I, III y VII indicados por las “AASHTO”.

Para el diseño de la cimentación se considera que el suelo tiene una capacidad de carga de 110 ton/m<sup>2</sup> que es la que indica el estudio de mecánica de suelos (ver anexo 1)

Para realizar el análisis estructural de los diferentes sistemas acimutados mencionados anteriormente se utilizó el programa “STAMO [1]” (ver anexo3).

## ii) Estudios Preliminares

### II.1 Estudio de mecánica de suelos

#### II.1.1 Exploración en sitio

Se perforaron los sondeos S-1 y S-2 ubicados sobre el camellón central de 26.5 m respecto al eje del trazo bajo el puente para el cuerpo sur en dirección a la Ciudad de México y a 18.00 m para el cuerpo norte en dirección a Toluca. El S-1 se perforó y muestreó con técnica mixta, utilizándose el tubo partido para obtener muestras remoldeadas de 3.5 cm de diámetro al mismo tiempo que se realizaba la prueba de penetración normal, en suelos que permitieron el hincado del penetrómetro estándar. Donde eso no fue posible, se recuperaron muestras lavadas y con el cono dinámico especial se midió la capacidad de carga en catorce puntos a lo largo de ambos sondeos, avanzando cada sondeo mediante trépano y chiflón de agua hasta la profundidad de 30.00 m.

Con la información obtenida del S-1 se previó el S-2 y de él se trajeron además del tipo de muestras descritas, varias inalteradas en tubos Shelby de 4" de diámetro.

## 1.2. Estudios de laboratorio

Todas las muestras recibidas de ambos sondeos se clasificaron en húmedo y en seco según el criterio SUCS y en el proceso se midieron los contenidos de humedad, tanto naturales como alterados cuando se obtuvieron muestras lavadas. Se midieron densidades de sólidos, granulometrías por mallas por la vía húmeda y límites de consistencia de muestras a lo largo de ambos sondeos; y con las muestras inalteradas del S-2 se llevaron a cabo cinco consolidaciones unidimensionales y doce ensayos de corte directo agrupados en cuatro series.

### 1-1-3. Estratigrafía y propiedades de suelo

Se investigó la columna estratigráfica hasta la profundidad de 30 m en ambos sondeos, encontrándose materiales similares. Se trata de una estratigrafía laminada (varved) donde alternan materiales de alta humedad natural con capas de suelos de baja humedad.

El resumen estratigráfico demuestra que los materiales hallados sólo en parte son de origen lacustre. Más al norte del sitio existen suelos predominantemente lacustres pertenecientes a la laguna de Lerma, de calidad similar a los suelos del valle de México. El terreno estudiado debe hallarse a una cota más alta que el nivel alcanzado por la laguna la mayor parte del tiempo, pues los depósitos hallados son principalmente de origen fluvial o volcánico.

El sondeo S-1 se dividió en ocho capas cuyas propiedades principales se muestran en la siguiente tabla, donde puede apreciarse fácilmente la alternancia de los materiales. El nivel freático apareció a la profundidad de 2.50 m en ambos sondeos y al estimarse el peso volumétrico para cada capa,

se obtuvo un "volumenico medio de "ición m" con el que se determinaron los esfuerzos efectivos de la última columna

Tabla 1  
Estratigrafía y propiedades principales

Estrato	Prof Max	Humedad nat.	Rel. de vacíos	Esf Efectivos
Nº	m	%	--	Ton/m <sup>2</sup>
1	7.50	30.28	0.78	6.35
2	10.50	84.77	2.34	8.32
3	13.50	45.10	1.19	9.96
4	15.50	65.83	1.35	11.56
5	17.00	32.00	0.76	12.99
6	21.00	81.52	1.57	15.67
7	27.00	116.71	2.33	18.34
8	30.00	34.85	--	--

Se llevaron a cabo quince determinaciones granulométricas a base de la técnica húmeda para medir los porcentajes relativos de arena y finos, e igual

verano de 1990 se presentó la consistencia de suelos con los siguientes resultados

Tabla II

Propiedades índices

Sondeo S-1

Sondeo S-2

Prof	Ss	Arena	Finos	Prof.	Ss	Arena	Finos
m	--	%	%	m	--	%	%
0.42		56.03	41.88	0.25		61.45	38.56
3.40		64.88	37.75	2.65		72.77	25.92
5.15	2.61			4.60	2.59		
7.65		62.97	35.86	5.74		36.22	65.87
9.78		61.76	38.85	9.95	2.38		
12.88	2.57			11.43		86.22	13.86
15.75		58.21	42.98	12.55	2.48		
17.94	2.31			15.35	2.59		
19.74		0.91	99.19	17.55		38.93	61.05
21.04	2.28			18.12	2.25		
24.85		1.66	98.32	20.94		12.45	87.77
25.54	2.12			21.66	2.42		

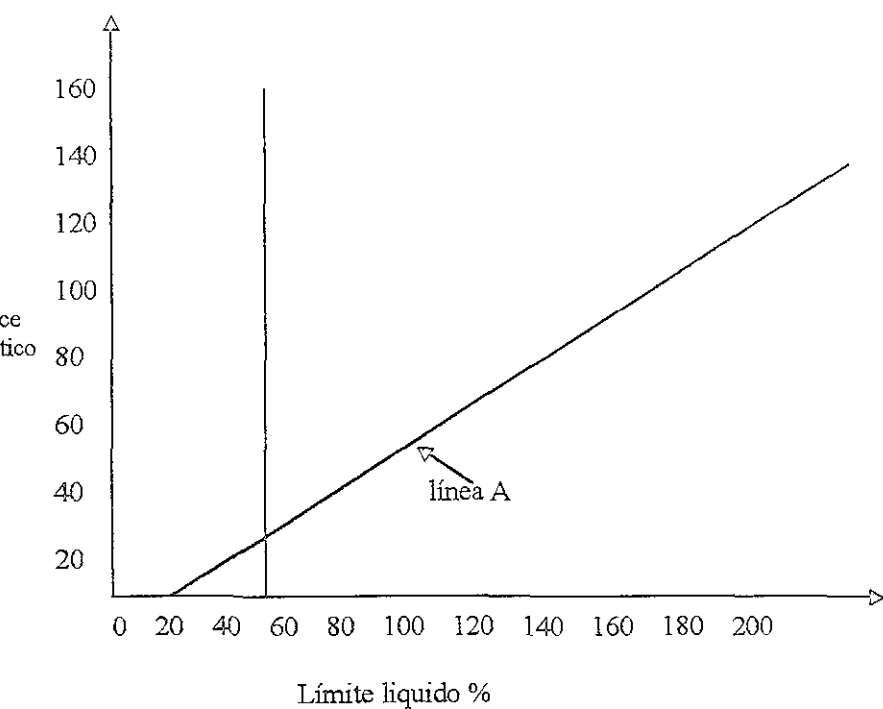
$\Sigma^+ \Lambda$	$\Sigma^- \bar{\Lambda}$	$\Sigma^0 \bar{\Lambda}^0$	$\Sigma^+ \Lambda^0$	$\Sigma^- \bar{\Lambda}^0$	$\Sigma^0 \bar{\Lambda}$
29.34	2.33	-	24.55	2.19	-
29.80	-	46.33	53.27	20.80	-
-	-	-	-	-	40.12
-	-	-	-	-	59.35

Se midieron diez límites de plasticidad utilizando el cono suelco, con los resultados que se muestran en la fig. N° 1, los materiales entre la superficie y a la profundidad de 16.5 m son predominantemente limos orgánicos de baja a mediana plasticidad y a mayores profundidades, hasta los 26.00 m, limos orgánicos de alta plasticidad. Como se aprecia en la figura, el rango de valores del límite líquido es muy amplio, abarcando desde 42 % hasta más de 200 % pero todos los materiales quedan bajo la línea A, lo que justifica de dentro de los materiales ensayados no hay arcillas francas, aunque la clasificación SUCS sí descubrió la existencia de capas delgadas a diversas profundidades e incluso de turba en el S-2 a la profundidad de 11 m, en una lámina de menos de 0.5 m de espesor.

Figura N° 1

Resultados de los límites de plasticidad

CARTA DE PLASTICIDAD



### • 1.2. Resistencia al corte

Se midió de dos maneras, una en el laboratorio mediante pruebas de corte directo con probetas labradas de los tubos Shelby extraídos del S-2 llevándose a cabo 12 pruebas agrupadas en cuatro series para medir los valores de  $c$  y  $\phi$ . La otra fue directamente en el campo, el cono dinámico en los materiales duros o compactos de difícil muestreo, en las siguientes tablas se resumen los resultados de laboratorio y en la figura 2 se han graficado los resultados de 13 mediciones con el cono dinámico en ambos sondeos.

Tabla III

Cortes directos, Pozos P-1 y P-2

Prof. 2.45 m

Prof. 11.15 m

Peso vol. Seco k/m <sup>3</sup>	1372	1518	1323	1256	1288	1334
Peso vol. Húmedo k/m <sup>3</sup>	1795	1774	1815	1742	1728	1756
Humedad natural, %	30.90	19.14	30.40	37.90	34.70	33.30
Densidad de sólidos	2.66	2.59	2.58	2.44	2.62	2.58
Relación de vacíos	0.91	0.65	0.91	0.84	0.89	0.90
Grado de saturación, %	86.00	70.00	83.00	99.00	99.00	93.00
Ángulo de fricción, °		36.90			33.30	
Cohesión, t/m <sup>2</sup>		3.31			4.12	

11.5.1.3

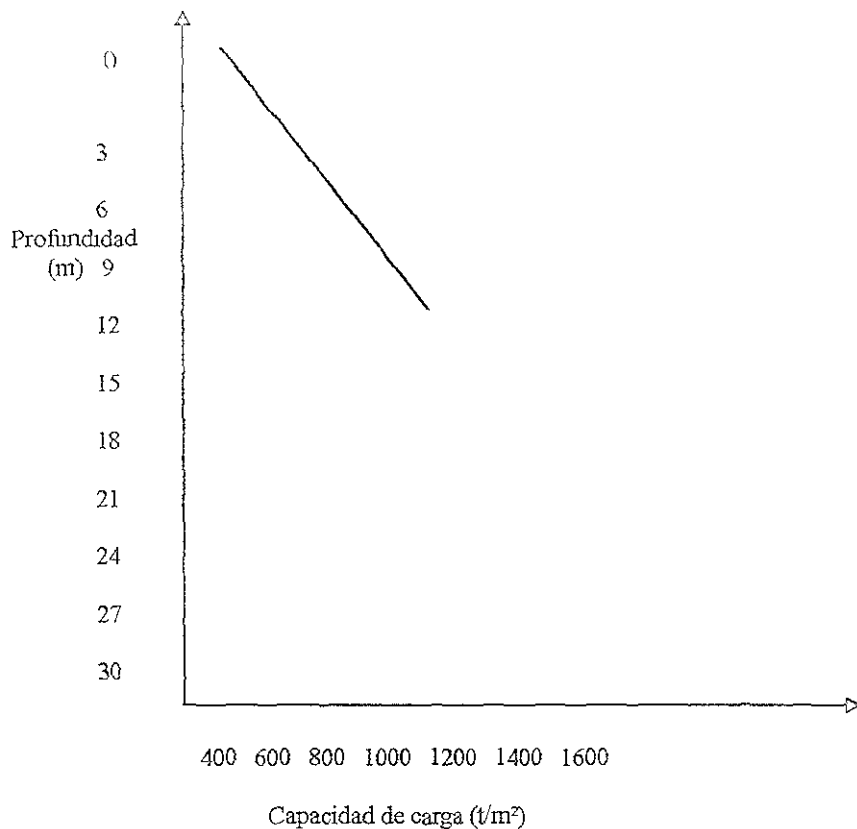
Cortes directos, Pozos P-3 y P-4

Prof. 15.65 m

Prof. 18.60 m

Peso vol. Seco, k/m <sup>3</sup>	865	936	945	676	715	739
Peso vol. Húmedo, k/m <sup>3</sup>	1426	1459	1446	1339	1319	1336
Humedad natural, %	64.70	60.10	58.20	99.10	92.30	77.10
Densidad de sólidos	2.41	2.64	2.38	2.48	2.33	2.71
Relación de vacíos	1.83	1.21	1.74	2.76	2.39	2.96
Grado de saturación, %	88.00	83.00	77.00	89.00	88.00	70.00
Ángulo de fricción, °		33.30			17.90	
Cohesión, t/m <sup>2</sup>		1.11			2.76	

FIGURA N. 2 Resoldados de los cálculos con el modelo ABAQUS



entre 12.00 m y 15.00 m se obtienen series más gruesas, tanto con las pruebas de laboratorio el perfil de resistencias cubre la mayor parte de la profundidad explorada

En la figura anterior se aprovechan las mediciones realizadas desde la superficie hasta la profundidad de 12.00 m, trazándose la línea que representa la tendencia al aumento a la capacidad de carga. De esa línea se deducen los valores de  $c$  y  $\phi$ , obtenidos al aplicar el programa propio CALCONO

$$C = 8.86 \text{ t/m}^2 \quad \text{y} \quad \phi = 30.55^\circ$$

## IV. ESTIMACIÓN DE $m_d$

Las pruebas de consolidación que se reportan en el anexo 1 dan una medida de la compresibilidad en el campo, mediante el índice de recompresión,  $m_d$ , que se determinó a partir de ellas, mostrado en forma resumida en la siguiente tabla.

Tabla V  
Resumen de pruebas de consolidación

Profundidad m	Humedad nat %	Relación de vacíos	$m_d$
2.30	24.36	0.592	0.012
10.80	30.01	0.719	0.011
16.00	53.15	1.456	0.018
18.50	102.49	2.406	0.028
21.50	112.38	2.729	0.029

Si se dibujan estos resultados en el espacio semilogarítmico con la humedad natural como variable independiente, obtiene una tendencia

aproximadamente lineal, lo que permite el uso de interpolación para  
humedades intermedias.

De acuerdo con esto y suponiendo que los materiales bajo la profundidad  
de 26 m son incompresibles, se cuenta con los parámetros necesarios para el  
cálculo de asentamientos al aplicar la siguiente fórmula

$$e = AP^{-md}$$

Donde:  $e$  = relación de vacíos

$A$  = factor que depende de los esfuerzos efectivos.

$P$  = presión que incluye los incrementos de esfuerzos por causa  
de las sobrecargas superficiales

### 11.7 Capacidad de carga y aspectos prácticos

En el laboratorio se determinaron los parámetros de resistencia al corte mostrados en las tablas III y IV. Para la muestra recuperada de  $2.30 \text{ ton/m}^2$  y  $\phi = 36.8^\circ$ , por que siendo del mismo orden que las mediciones de campo resulte más conservador

Se aplico la fórmula simplificada de Terzaghi para el cálculo de la capacidad de carga de cimientos superficiales.

$$q_u = cN_c + \gamma D_f N_q$$

donde.

$N_c$  y  $N_q$  son factores que dependen de  $\phi$  y valen para este caso 54.57 y 41.82 respectivamente. En promedio  $\gamma = 1.614 \text{ ton/m}^3$  y  $D_f$  se toma igual a 2 m; sustituyendo:

$$q_u = 3.30 \times 54.57 + 1.614 \times 2 \times 41.82$$

$$q_u = 315.00 \text{ ton/m}^2$$

Aplicando un factor de resistencia de 0.35, según el criterio del RCDF, se tiene la capacidad de carga admisible:

$$q_a = 110.00 \text{ ton/m}^2$$

Valor máximode el peso neto de los "presupuestos y demás componentes" con las mediciones de campo, aunque comprando con escasos, conservador. Por tanto los elementos de cimentación pueden diseñarse con criterios independientes de la capacidad de carga, por ejemplo para el control de los asentamientos.

Tabla VI  
Descargas a cimentación

Concepto	Descarga
--	ton
Carga muerta de superestructura	204.70
Carga viva	97.30
Cabezal	42.64
Columnas	82.56
Contrarabe	10.40
Zapata	74.00
Trabes laterales	1.00
Rigidizantes de la columna	78.20
$\Sigma = 591.00$	

Se determinaron los asentamientos por el procedimiento de los incrementos de cada cuerpo del puente, suponiéndole apoyada a 2 m de profundidad y de  $3 \times 13$  m en planta. De los estratos con que se cuenta, el primero se subdividió en dos, para aumentar la precisión y en la siguiente tabla aparece el resumen de los cálculos al aplicarse la siguiente fórmula

$$p = \frac{\Delta e}{1+e_0} H$$

Tabla VII  
Cálculo de asentamientos

Nº	$P_0$	$\Delta P^*$	$P$	$e_0$	$m_d$	$A$	$H$	Asents.	%
--	Ton/m <sup>2</sup>	Ton/m <sup>2</sup>	Ton/m <sup>2</sup>	--	--	--	cm	cm	--
1	3.85	13.92	17.76	0.80	0.014	0.789	200	1.924	26.9
2	5.65	6.41	12.06	0.80	0.014	0.794	400	1.795	25.1
3	7.31	3.30	10.61	2.37	0.024	2.352	250	1.583	22.1
4	9.07	2.18	11.25	1.13	0.016	1.128	250	0.484	60.8
5	10.45	1.63	120.8	1.45	0.020	1.451	150	0.274	308
6	11.53	1.34	12.87	0.86	0.014	0.862	150	0.084	1.2
7	12.68	1.02	13.70	1.77	0.024	1.780	300	0.368	5.2
8	14.91	1.62	15.53	2.50	0.030	2.530	700	0.638	8.9

$$\Sigma=7.15 \text{ cm}$$

\*Nota: Incrementos de esfuerzo calculados por Boussinesq

Y si los terremotos de los que hablamos provienen de los dos primeros estratos, y después las contribuciones son descendientes con la profundidad excepto hacia el fondo, donde se hallan materiales de mayor humedad natural, pero que contribuyen poco. Estos asentamientos ya incluyen los movimientos elásticos iniciales y se tienen en cuenta las influencias de los terraplenes, pueden llegar a 6.5 cm.

Para el terraplén, que incluye en su extremo más alto la zapata del claro menor, se repitió el cálculo de asentamientos según la tabla anterior, tomando en cuenta el peso del terraplén y la descarga de la zapata, llegándose a un asentamiento máximo de 13.6 cm, también ya incluyendo los asentamientos inmediatos.

## III.8 Conclusiones

En el sitio los sondeos tuvieron que llevarse hasta 30.00 m de profundidad, para detectar los materiales que afectarán el comportamiento del puente, determinándose estratigrafías similares en los dos sondeos perforados

El nivel freático se halló a 2.5 m de profundidad en ambos sondeos y también en ambos aparece una corteza superficial de materiales desecados y duros de alta capacidad de carga y baja compresibilidad, que permite resolver la cimentación del puente por superficie, a base de zapatas.

Los asentamientos de las pilas centrales podrán ser de hasta 6.5 cm, mientras que los apoyos laterales de los claros cortos tendrán asentamientos del orden de 14.00 cm. Conviene construir primero los terraplenes para permitir que sus asentamientos avancen y diseñar la estructura del puente para absorber los movimientos diferenciales.

El coeficiente sísmico es similar al que aplica el RCDF a la zona de transición de la Ciudad de México, considerándose adecuado dada la estratigrafía.

## III. Estudio de trazo

Los datos topográficos de lugar, se encuentran localizados en el anexo II, ahí se tienen los siguientes levantamientos

Alineamiento vertical

Geometría del seccionamiento de construcción.

Secciones transversales

## III. Proyecto geométrico

### III.1. Pendiente de terraplenes

La pendiente de los terraplenes de acceso será la máxima. Esta pendiente está dada en la tabla 8-A del “Manual de proyecto geométrico de carreteras”, que indica de acuerdo a una velocidad de proyecto de 60 km/hr una pendiente máxima de 5%.

A continuación se dan unos ejemplos de como fueron calculadas las curvas verticales.

Cuerpo Norte

Curva 2 (crestas):

$$\left. \begin{array}{l} P_{\text{entrada}} = 0.0 \\ P_{\text{salidad}} = -5.0 \end{array} \right\} \Delta P = -5 - 0 = -5$$

De la tabla 8 pág 363 del Manual de proyecto geométrico de carreteras

$$K = 13 \quad L_c = k * \Delta P \quad L_c = 13 * -5 = 65 \approx 70$$

Por lo tanto la longitud de curva será igual a 70

$$\text{PTV: Est: } 8+796.74 \quad \text{PCV Est: Est PTV - L} = (8+796.74) - 70$$

$$\text{Elev: } 2584.36 \quad \text{Est: } 8+726.74$$

$$\text{Elev: Elev PTV} + \Delta P * L_c / 2$$

$$\text{Elev: } 2584.36 + (-0.05 * 35) = 2582.61$$

$$\text{PIV: Est: Est PTV} - L_c / 2$$

$$\text{Est: } (8+796.74) - 35 = 8+761.74$$

$$\text{Elev: Elev PTV} + (\Delta P / 4) * (X^2 / L - 2X + L)$$

$$\text{Elev: } 2584.36 + ((-5 / 35) * 35) = 2583.92$$

Donde:

$\Delta P$ : Es la diferencia algebraica de pendientes.

X: Es la distancia horizontal del PIV a un punto que se desee

L: Es la mitad de la longitud de curva ( $L_c / 2$ )

el tiempo donde

Curva 3 (crestas)

$$\left. \begin{array}{l} P_{\text{entrada}} = 0 \ 0 \\ P_{\text{salida}} = -5 \ 0 \end{array} \right\} \Delta P = -5 \quad 0 \ 0 = -5$$

De la tabla 8 pag 363 del Manual de proyecto geométrico de carreteras

$$K = 13 \quad Lc = k * \Delta P \quad Lc = 13 * -5 = 65 \approx 70$$

Por lo tanto la longitud de curva será igual a 70

$$\text{PCV Est: } 8+846.528 \quad \text{PTV Est: } \text{Est PCV} + L = (8+846.528) + 70$$

$$\text{Elev. } 2584.36 \quad \text{Est: } 8+916.528$$

$$\text{Elev: Elev PCV} + \Delta P * Lc / 2$$

$$\text{Elev: } 2584.36 + (-0.05 * 35) = 2582.61$$

$$\text{PIV: Est: Est PTV-Lc/2}$$

$$\text{Est: } (8+846.528) + 35 = 8+881.528$$

$$\text{Elev. Elev PCV} + (\Delta P / 4) * (X^2 / L - 2X + L)$$

$$\text{Elev: } 2584.36 + ((-0.05 / 35) * 35) = 2583.92$$

Donde:

$\Delta P$ : Es la diferencia algebraica de pendientes.

X: Es la distancia horizontal del PIV a un punto que se desee.

L: Es la mitad de la longitud de curva ( $Lc/2$ )

### Curva 2 (crestas)

$$\left. \begin{array}{l} P_{\text{entrada}} = 0.0 \\ P_{\text{salida}} = -5.0 \end{array} \right\} \Delta P = -5.0 - 0.0 = -5$$

De la tabla 8 pag 363 del Manual de proyecto geométrico de carreteras

$$K = 13 \quad L_c = k * \Delta P \quad L_c = 13 * 5 = 65 \approx 70$$

Por lo tanto la longitud de curva será igual a 70

$$\text{PTV: Est: } 9+057.37 \quad \text{PCV: Est: } \text{Est PTV} - L = (9+057.37) - 70$$

$$\text{Elev: } 2584.23 \quad \text{Est: } 8+987.37$$

$$\text{Elev: } \text{Elev PTV} + \Delta P * L_c / 2$$

$$\text{Elev: } 2584.23 + (-0.05 * 35) = 2582.48$$

$$\text{PIV: Est: } \text{Est PCV} - L_c / 2$$

$$\text{Est: } (8+987.37) + 35 = 9+022.37$$

$$\text{Elev: } \text{Elev PTV} + (\Delta P / 4) * (X^2 / L - 2X + L)$$

$$\text{Elev: } 2584.23 + (-0.05 / 35) * 35 = 2583.79$$

Donde:

$\Delta P$ : Es la diferencia algebraica de pendientes.

$X$ : Es la distancia horizontal del PIV a un punto que se desee.

$L$ : Es la mitad de la longitud de curva ( $L_c / 2$ )

Curva 3 (recta)

$$\begin{array}{rcccl} P_{\text{entrada}} & 0 & 0 & \left. \begin{array}{c} \Delta P = -5 \\ L_c = 13 \end{array} \right\} & 0 & 0 & -5 \\ P_{\text{salidad}} & -5 & 0 & \left. \begin{array}{c} \\ \end{array} \right\} & & & \end{array}$$

De la tabla 8 pag 363 del Manual de proyecto geométrico de carreteras

$$K = 13 \quad L_c = k * \Delta P \quad L_c = 13 * -5 = -65 \approx 70$$

Por lo tanto la longitud de curva será igual a 70

$$\text{PCV: Est: } 9+107.158 \quad \text{PTV: Est: } \text{Est PCV} + L \approx (9+107.158) + 70$$

$$\text{Elev: } 2584.23$$

$$\text{Est: } 9+177.158$$

$$\text{Elev: } \text{Elev PCV} + \Delta P * L_c / 2$$

$$\text{Elev: } 2584.23 + (-0.05 * 35) = 2582.48$$

$$\text{PIV: Est: } \text{Est PTV} - L_c / 2$$

$$\text{Est: } (9+107.158) + 35 = 9+142.158$$

$$\text{Elev: } \text{Elev PTV} + (\Delta P / 4) * (X^2 / L - 2X + L)$$

$$\text{Elev: } 2584.23 + ((-0.05 / 35) * 35) = 2583.79$$

Donde:

$\Delta P$ : Es la diferencia algebraica de pendientes.

$X$ : Es la distancia horizontal del PIV a un punto que se desee

$L$ : Es la mitad de la longitud de curva ( $L_c / 2$ )

### III.3 Perfil longitudinal del puente

Estas medidas, figuras y especificaciones están dadas en el plano general que se encuentra localizado en el anexo 4

## IV.1. Acciones sísmicas

El sitio del puente Santa Elena se halla en un zona que no puede asemejarse a la zona lacustre de la Ciudad de México, aunque tampoco tiene estratigrafía como la zona de transición. Para estimar el período dominante del suelo se recurre a una expresión empírica de la velocidad de ondas de cortante

$$V_s = 40^*(n^{1/2})$$

Donde N es el numero de golpes medio en la prueba de penetración normal. Para el presente caso, la columna estratigráfica se dividió en dos partes; desde la superficie hasta 8 m de profundidad, con N = 25 y entre 8 y 24 m, con N = 5. Las velocidades de ondas de cortantes respectivas son 200.00 y 89.00 m/s.

El período dominante es :

$$T_s = \sum 4H/V_s$$

De donde,

$$T_s = 0.89 \text{ s}$$

Considerando que el correspondiente al RDIIC es de la Ciudad de México. Suponiendo que los criterios del RDIIC son válidos para el punto estudiado, se obtiene un coeficiente sísmico a partir de  $1.8 \times 0.29$

## IV.2. Superestructura

### IV.2.1. Datos de proyecto

- Claros del puente	Un claro central de 25.05 m y dos extremos de 11.87 m a ejes de pilas y estribos; y 11.52 m a ejes de apoyos respectivamente.
- Ancho total del puente	12.00 m.
- Ancho de calzada.	10.50 m
- Banquetas.	Dos, una a cada extremo
-Carga móvil.	Un cartil con T3-S2-R4 y lo demás con HS-20
-No. de tráves	Nueve en total, por claro y cuerpo.
-Separación entre tráves	1.3125 m.

-Concreto en losa

$$f_c = 250 \text{ kg/cm}^2$$

-Acero en tráves

$$\text{A-36 con límite elástico } > 4000 \text{ kg/cm}^2$$

-Acero de refuerzo

$$f_y \geq 4200 \text{ kg/cm}^2$$

-Especificaciones

“AASHTO-SCT”.

-Esviaje.

$$3^\circ 33'$$

卷之三

IV-221 (cont)

Cálculo de la losa. Se analizará 1 m de ancho en el sentido longitudinal

Losa entre trabes: Se revisará losa de 15 00 cm

$$W_{c,m} = 1,050 + \text{Carpeta} \quad \rightarrow \quad W_{c,m} = 0,15 * (2400) + 0,10 * (2200)$$

Momento por carga muerta  $Wc.m. = 99\ 91\ kg \cdot m/m$

Momento por carga viva: Para refuerzo perpendicular al transito y en claros

simplemente apoyados "AASHTO" permite calcular

el momento con la siguiente fórmula:

$$\text{Mc.v.i.} = (0.1025 * S + 0.0625) * P * I$$

Donde:

S = longitud efectiva del claro en metros.

$P = \frac{1}{2}$  de un eje pesado.

I = impacto

$$S_{\text{v.i.}} = 38.5 \quad > \quad S_{\text{c.v.}} = 3 = 38$$

$$T = 0.39 \quad S = 0.30$$

Por lo tanto

$$T = 1.30; \quad S = 1.30$$

"P" el mayor de  $P_{HS-20} = 14515/2 = 7257 \text{ kg}$

$$P_{T3-S2-R4} = (18000/2)/1.2 = 7500 \text{ kg} \longrightarrow \text{ por lo tanto rige}$$

En la ecuación anterior 1.2 es la distancia entre un tandem de ruedas de un eje pesado T3

$$M_{\text{c v.i.}} = (0.1025 \times 1.30 + 0.0625)(7500)(1.30)(0.8) = 1527 \text{ kg}^* \text{m/m}$$

Donde 0.8 es un coeficiente para losas continuas (3 o más apoyos)

$$M_{\text{D}} = 1527 + 99.91 \longrightarrow M_{\text{D}} = 1627 \text{ kg}^* \text{m/m}$$

Momento requerido por flexión.

$$(M_{\text{D}}/(K_b))^{1/2}$$

Constantes del concreto para sección balanceada.

$$f'c = 250 \text{ kg/cm}^2, \quad K = 0.30 \text{ kg/cm}^2, \quad J = 0.90$$

$$f_{sy} = 4200 \text{ kg/cm}^2, \quad K = 13.90 \text{ kg/cm}^2$$

$$A_{req} = \frac{M_{req}}{(f_{sp} * J * d_{real})} = \frac{87000}{(1687 * 12 * 10)} = 3.5 \text{ cm}^2$$

$$H_{req} = A_{req} / t = 3.5 / 0.15 = 23.33 \Rightarrow H_{req} = 14.02 \text{ cm}$$

Por lo tanto se usará  $H = 15.00 \text{ cm}$

Refuerzo por flexión (en ambos lechos)

$$A_s = M_d / (f_{sp} * J * d_{real})$$

$$f_{sp} = 1687 \text{ kg/cm}^2$$

$$A_s = 162700 / (1687 * 0.9 * 12 * 10) = 8.93 \text{ cm}^2$$

$$A_s = 8.93 \text{ cm}^2/\text{m}$$

Por lo tanto se usarán 5 varillas de número 5 a cada 20 cm de distancia

$$A_s = 5(1.98) = 9.9 \text{ cm}^2 > A_{s req}$$

Refuerzo longitudinal para distribuir las cargas (en el sentido longitudinal de la estructura en el lecho inferior).

Para refuerzo principal perpendicular a la dirección del tránsito

$$\% = 220 / ((3.28 * S)^{1/2})$$

$$220 \times 3.28^{1.1} \times 0.75^2 \rightarrow 1338 \text{ cm}^2 \text{ de refuerzo}$$

Δ  
del 'refuerzo principal'

$$\Delta_{sd} = 0.67 * 8.93 = 5.98 \text{ cm}^2/\text{m}$$

$$S(\emptyset 4c) = 1.27 * 100 / 5.98 = 21.24 \text{ cm}$$

Por lo tanto se usarán varillas del número 4 a cada 20 cm de distancia.

Refuerzo por temperatura (en el sentido del transito en el lecho superior)

"AASHTO" indica  $2.4 \text{ cm}^2/\text{m}$  mínimo

Por lo tanto se usaran varillas del número 4 a cada 20 cm de distancia.

Losa en voladizos:

$$W_{c.m.} = 0.15 * 2400 + 2400 * 0.30 + 0.10 * 2400$$

$$W_{c.m.} = 1320.00 \text{ kg/m}$$

$$W_{c.v. \text{ peatonal}} \approx 500 \text{ kg/m}^2 (0.75)$$

$$W_{c.v. \text{ peatonal}} \approx 375 \text{ kg/m}$$

$$W_{cv} = 1700 \text{ kg/cm}$$

$$W_{cv} = 1700 \text{ kg/cm}$$

$$W_{cv} = 47812.5 \text{ kg*cm}$$

$$D_{req} = (47812.6 / (13.9 * 100))^{1/2}$$

$$D_{req} = 5.86 \text{ cm}$$

Por lo tanto.

$$H = 15 \text{ cm}$$

Acero por flexión

$$As = M_d / (f_s * J * d)$$

Para determinar  $f_s$  usaremos la fórmula de D. las H

$$f_{sp} = 1343(1 + (M_{c.m.} / M_{c.v.i.})) \leq 2000 \text{ kg/cm}^2 \text{ (trabes y losas)} \text{ y } 1800 \text{ kg/cm}^2$$

(voladizo)

$$As = 1313 \text{ cm}^2 / 120 \cdot 375 =$$

$$f_{sp} = 6070 \text{ kg/cm}^2$$

Por lo tanto se usará un  $f_{sp} = 1800 \text{ kg/cm}^2$

$$As = 47812.5 / (1800 * 0.9 * 12)$$

$$As = 246 \text{ cm}^2$$

\*Se usará el mismo acero por flexión que en la losa entre tráves.

Trabe T-1 Claro total 25.05 m

Claro a ejes de apoyos 24.35 m

Para revisión como sección compuesta:

$$L/4 = 2435/4$$

$$L/4 = 608.75 \text{ cm}$$

$$C_c \ C_s = 131.25 \text{ cm} \longrightarrow \text{rigid}$$

$$12*t = 12*15 = 180 \text{ cm}$$

$$E_s = 2039000 \text{ kg/cm}^2$$

$$E_c = (2.4)^{1.5} = 4270 * \sqrt{250}$$

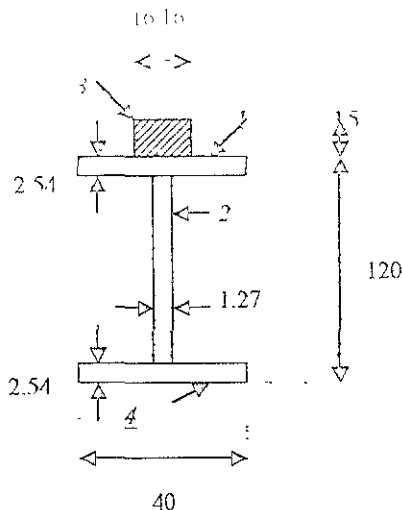
$$E_c = 251024 \text{ kg/cm}^2$$

$$E_c/E_s \longrightarrow 2039000/251024 = 0.1231$$

Por lo tanto:

$$b' = 131.25 * 0.1231$$

$$b' = 16.16 \text{ cm}$$



Sección simple

$$I_{ss} = [(40/12)(2.53)^3 + 2.54 \cdot 40 \cdot (50 - 1.27)^2]^2 + (1.27/12)(114.92)^3$$

$$I_{ss} = 861612.9 \text{ cm}^4$$

$$S = I/y; \quad S_i = S_s = 861612/60$$

$$S = 14360.20 \text{ cm}^3$$

SECTION COMPUTATION

	A	V	AV
1	101.60	118.73	12062.968
2	145.95	60.00	8757.00
3	242.40	127.50	30906.00
4	101.60	1.27	129.032
	$\Sigma$ 591.55		$\Sigma$ 51855.00

$$Y_i = \Sigma A_y / \Sigma A$$

$$Y_s = 32.34 \text{ cm}$$

$$Y_s' = 47.34 \text{ cm}$$

$$I_{sc} = 861612.9 + 349.15 * 17.66^2 + (16.16/12) * 15^3 + 242.4 * 39.84^2$$

$$I_{sc} = 1359792.8 \text{ cm}^4$$

$$S_i = 1359792.8 / 87.66$$

$$S_i = 15512.12 \text{ cm}^3$$

$$S_{ss'} = I_{sc} / 47.34$$

$$S_{ss'} = 28723.97 \text{ cm}^3$$

### Efectos de las cargas en la tubería

f1 M/S1

is - M/Ss

$$fs' = M/Ss'$$

$$1. \text{ Peso propio} = W_{pp} = 0.03492 * 7850 = 2.74 \text{ kg/cm}$$

$$V_{pp} = W_{pp} * (25 \cdot 05/2) 100$$

$$V_{p.p.} = 3433.4 \text{ kg}$$

$$M_{p,p} = W_{p,p} * 2435^2 / 8$$

$$M_{p.p.} = 2030760 \text{ kg*cm}$$

$$f_1 = 2030760/14360 \approx 14.2$$

$$f_1 = 1414.42 \text{ kg/cm}^2$$

$$f_s = 141.42 \text{ kg/cm}^2$$

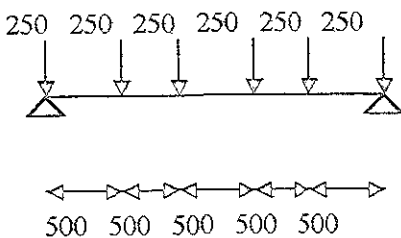
## 2. Diafragmas

$$f_1 = 375000/14360.2$$

$$f_i = -26.11 \text{ kg/cm}^2$$

$$V_D = 750 \text{ kg}$$

$$M_D = 375000 \text{ kg} \cdot \text{cm}$$



$$s = 25 \text{ cm}^2/\text{kg}$$

$$WD_{\text{equiv}} = 375000 \cdot 8 \cdot (250)^2$$

$$WD_{\text{equiv}} = 0.48 \div 0.50 \text{ kg/cm}$$

### 3. Losa

$$WL = 1.3125 \cdot 0.15 \cdot 2400 = 472.5 \text{ kg/cm}$$

$$WL = 472.5 \text{ kg} \approx 473 \text{ kg}$$

$$VL = (4.73/8)2435^2$$

$$VL = 5924.3 \text{ kg}$$

$$ML = (4.73/8)2435^2$$

$$ML = 3505654.3 \text{ kg} \cdot \text{cm}$$

$$f_i = 3505654.3 / 14360.2$$

$$f_i = -244.12 \text{ kg}/\text{cm}^2$$

$$f_s = 244.12 \text{ kg}/\text{cm}^2$$

### 4. Carpeta

$$W_c = 1.3125 \cdot 0.10 \cdot 2200$$

$$W_c = 288.75 \text{ kg}/\text{cm} \approx 289 \text{ kg}/\text{cm}$$

$$V_c = 2.89 \cdot 2505 / 2 \quad V_c = 3620 \text{ kg}$$

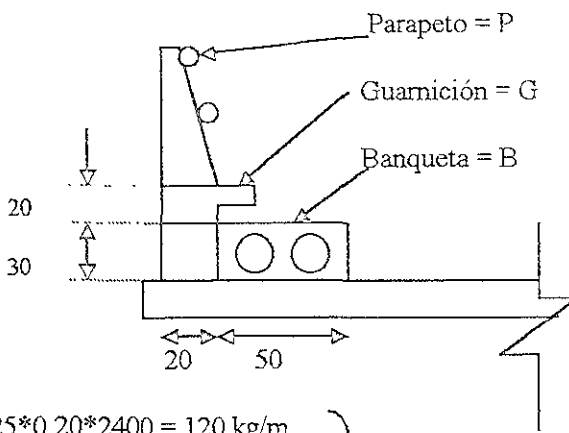
$$W_G = 0.25 \cdot 0.8 \cdot 2435^2 / 8 = 1.031 \text{ kg/cm}^2$$

$$f_i = 2141933.15512 \cdot 12 = -138.08 \text{ kg/cm}^2$$

$$f_s = Mc/42046.78 = 5094 \text{ kg/cm}^2$$

$$f_s' = Mc/28723.97 = 7457 \text{ kg/cm}^2$$

5. Guarnición, Parapeto y Carga viva (se considera que se distribuye por igual entre las nueve trabeas)



$$W_G = 0.25 \cdot 0.20 \cdot 2400 = 120 \text{ kg/m}$$

$$W_B = 0.30 \cdot 0.75 \cdot 2400 = 540 \text{ kg/m}$$

$$W_{CV} = 500 \text{ kg/m}^2 \cdot (0.50) = 250 \text{ kg/m}$$

$$W_P = 59.10 \text{ kg/m}$$

$$W_{G,P,CVP} = (9.69 \cdot 2 \cdot 1/9) = 2.15 \text{ kg/cm} \text{ (por trabe)}$$

$$V_{G,P,CVP} = 2.15 \cdot 2505/2 = 2693 \text{ kg}$$

$$M_{G,P,CVP} = 2.15 \cdot 2435^2 / 8 = 1593479 \text{ kg/cm}$$

$$f_i = M_{G,P,CVP} / 15512.12 \quad f_i = -102.72 \text{ kg*cm}$$

$$f'_c = \text{MGP.CVP} = 24.18 \text{ MPa} = 3.49 \text{ kg/cm}^2$$

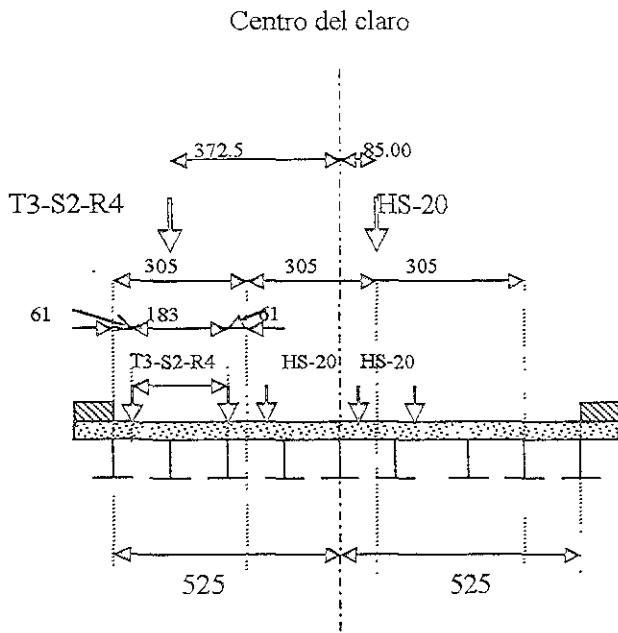
$$f'_c = \text{MGP.CVP} = 28723 \text{ N/mm}^2 = 55.48 \text{ kg/cm}^2$$

## 6 Carga Viva

$$I = 15.24/(L+38.10) \longrightarrow 15.24/(25.00+38.10)$$

$$I = 1.242 \text{ cm}^4$$

Se revisara para 2 carriles con HS-20 y uno con T3-S2-R4, el factor de concentración se calculara con el método de AASHTO y se colocaran las cargas T3-S2-R4 y HS-20, con el criterio de Courbon.



## FACTORES DE CORTE EN LOS VASCOS

$$F_{DA} = \frac{2NLNv}{KS} L$$

Donde:

NL = Número total de líneas

Nv = Número de vigas

L = Longitud del centro del claro

S = Separación de trabes

$$K = 0.23W - NL(0.1^*NL - 0.26) - 0.20Nv - 0.12$$

W = ancho de la calzada

$$K = 0.23 * 10.15 - 3(0.1^*3 - 0.26) - 0.20 * 9 - 0.12$$

$$K = 0.375$$

$$F_{DA} = 2 * 3 / 9 + 0.375 * 1.3125 / 25$$

$$F_{DA} = 0.6864$$

Factor de distribución de Courbon

$$F_{DC} = NL/Nv \pm eLn/I_p$$

Donde:

e = Excentricidad de las resultantes de las cargas; (+) si esta del lado de la mayor carga y (-) si esta del otro lado.

Ln: Distancia del centro del claro a la trabe extrema.

I<sub>p</sub>: Sumatoria del cuadrado de la distancia del centro del claro a la primera

$\Delta$ : Distancia entre tubos paralelos

$N_L$ : Número de cañones

$N_V$ : Número de tráves

T3-S2-R4:

$$FDC = 1/9 + 3 \cdot 725 \cdot 5 \cdot 25 / (2 \cdot 1.3125^2 \cdot 4)$$

$$FDC = 1.53 \rightarrow 3.06$$

HS-20:

$$FD_{HS} = 2/9 - 0.85 \cdot 5 \cdot 25 / (2 \cdot 4 \cdot 1.312^2)$$

$$FD_{HS} = -0.102 \rightarrow -0.203$$

$$FDC = 3.06 - 0.203$$

$$FDC = 2.86$$

Factor de distribución final:

$$F_{DA}/FDC$$

T3-S2-R4:

$$(0.6864/2.86) * 3.06 = 0.7344$$

HS-20:

$$(0.6864/2.86) * (-0.203) = -0.049$$

De las especies leñeras, el *Acacia* es la más importante en el valle de Tula.

ג'ז

TB-S2-R4      Vc = 49.34 ton

Mcv 279.62 ton<sup>2</sup>m

HS-20, Vcv = 28.94 ton

$$M_{cv} = 166.08 \text{ ton*m}$$

Por lo tanto.

$$V_{CVI+FC} = (49.34**0.7344/2 + 28.94*(-0.049)*2/2)^{*}1.242$$

$$V_{CVI+FC} = 20.74 \text{ ton}$$

$$M_{CVH+FC} = (2.79.62 * 0.7344 / 2 + 166.08 * (-0.049) * 2 / 2) * 1.242$$

$$M_{CVI+FC} = 117.42 \text{ ton*m}$$

$$f_1 = 11742000/15512.12$$

$$f_1 = -753.96 \text{ kg/cm}^2$$

$$f_S = 11742000/42046.78$$

$$f_s = 279.26 \text{ kg/cm}^2$$

$f_{S'} = 11742000/28723.57$

$$f_{g'} = 408.79 \text{ kg/cm}^2$$

Resumen de los datos para el apoyo 10

(+) Tension

	f1	f2	f3			
Carga	P	A	P	A	P	A
1 P P	-141.42	-141.42	141.42	141.42	---	---
2. Diafragmas	-26.11	-167.53	26.11	167.53	---	---
3 Losa	-244.12	-411.65	244.12	411.65	---	---
4 Carpeta	-138.08	-549.73	50.94	462.59	74.57	74.57
5 G. P y CVp	-102.72	-652.45	37.90	500.49	55.48	130.05
6. CVI + FC	-756.96	-1409.41	279.26	779.75	408.79	538.84

Esfuerzo de tensión máximo = 1409.91 kg/cm<sup>2</sup>

Esfuerzo de compresión máximo = 779.75 kg/cm<sup>2</sup>

Esfuerzo cortante máximo:

$$V_{max} = 20740 + 2693 + 3620 + 5925 + 750 + 3433$$

$$V_{max} = 37161 \text{ kg}$$

$$\text{Área del alma} = 114.92 * 1.27$$

$$\text{Área del alma} = 145.95 \text{ kg/cm}^2$$

$$f_{vmax} = 37.161 / 145.95$$

$$A_{max} = 254 \text{ cm}^2$$

Esfuerzos permisibles

Acero A36

$$f_y = 2530 \text{ kg/cm}^2$$

Tensión en miembros sin agujeros

$$f_t = 0.55 * f_y$$

$$f_t = 0.55 * 2530 = 1391.5$$

$$f_t \approx 1400 \text{ kg/cm}^2$$

Compresión cuando el patín a compresión se encuentra soportado lateralmente en toda su longitud, ahogado en concreto.

Los conectores de cortante del patín estarán ahogados en la losa de concreto, por lo tanto el patín se considera soportado lateralmente.

$$F_b = 0.55 * f_y$$

$$F_b = 0.55 * 2530 = 1391.5$$

$$F_b \approx 1400 \text{ kg/cm}^2$$

Cortante:

$$F_v = 0.33 * f_y$$

$$F_v = 0.33 * 2530$$

$$F_V = 835 \text{ kg/cm}^2$$

$$F_V = 840 \text{ kg/cm}^2$$

Comparación de esfuerzos

El esfuerzo crítico es a tensión

$$F_t = 1409.41 \text{ kg/cm}^2$$

$$F_t \approx 1400 \text{ kg/cm}^2$$

Por lo tanto se acepta la trabe propuesta en la página 46

Revisión por deflexión

$$\text{Flecha por C. V.} + I = L/800 \rightarrow 2435/800$$

$$\text{Flecha por C. V.} + I = 3.043$$

$$\text{Flecha por C. V.} + I \approx 3.00 \quad \leftarrow \quad \text{Flecha máxima permitida por}$$

AASHTO

Por simplicidad:

$$W_{CVI+FC\ EQUIV} = M_{CVI+FC} * 8/L^2$$

$$W_{CVI+FC} = 11742000 * 8/2435^2$$

$$W_{CVI+FC} = 15.84 \text{ kg/cm} \quad \leftarrow \quad \text{Este resultado es conservador}$$

$$\Delta_{act} = (5/384) (15.84 * 2435^4) / (2039000 * 1359792.8)$$

$$\Delta \sigma' = \sum \sigma_i^2 / n = \Delta \sigma_{\text{est}}^{(2)}$$

Revisión por limitantes

Patín a compresión

$$b/t = 40/2.54$$

$$b/t = 15.75$$

$$b/t < 861/((fb)^{1/2}) \leq 24$$

$$fb = 779.75 \text{ kg/cm}^2$$

$$861/(779.75^{1/2}) = 30.83$$

Por lo tanto:

$$bt = 15.75 < 24$$

Placa del alma

Espesor mínimo:

$$t = D^* (fb^{1/2})/6095 \geq D/170$$

$$D = 114.92 \text{ cm}$$

$$t = 114.92 * (779.75^{1/2})/6095$$

$$t = 0.53 < 114.92/170 = 0.676$$

Por lo tanto:

$$t_{\min} = 0.68 \text{ cm} \rightarrow t = 1.27 \text{ cm} > t_{\min}$$

Por lo tanto: Es correcto el espesor del alma.

Atiesadores intermedios

Separación máxima entre atiesadores

$$d = 2915 / ((fv)^{1/2}) \leq D$$

$$d = 2915 / (254^{1/2})$$

$$d = 182.68 \leq 114.92 \approx 115$$

$$d = 115 \text{ cm}$$

Si el espesor del alma es mayor que.  $t = D * (fv)^{1/2} / 1988 \leq D / 150$  se podrán suprimir los atiesadores intermedios.

$$t = 114.92 * (254.62^{1/2}) / 1988 = 0.92 \geq 114.92 / 150 = 0.77$$

Por lo tanto:

$$t = 1.27 \text{ cm} > 0.92 \text{ cm} \rightarrow \text{No se requieren atiesadores intermedios}$$

\*Usar atiesadores intermedios sencillos en los  $\frac{1}{4}$  extremos a una separación de 115 cm

Momento de inercia mínimo con un atiesador intermedio

$$I_{\min} = d \cdot t^3 / 10^9$$

$$J = 25 \cdot D^2/d^2 - 20 \approx 5$$

Donde

do = Separación real del atiesador

t = Espesor de la placa del alma

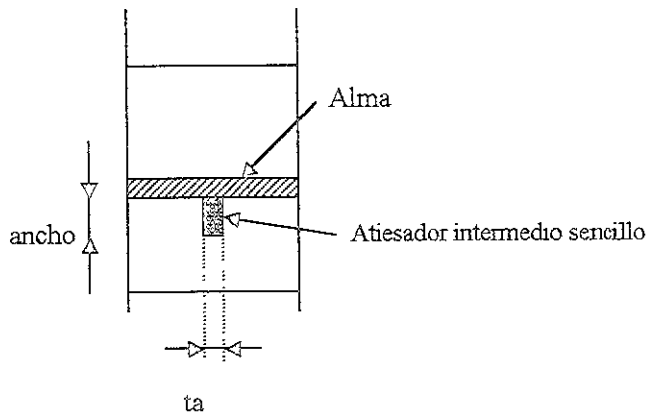
d = Distancia libre requerida entre atiesadores

D = Peralte del alma

$$J = 25 \cdot 114.92^2 / 114.92^2 - 20 = 5$$

$$I_{\min} = 115 \cdot 1.27^3 \cdot 5 / 10.92 - 20$$

$$I_{\min} = 108 \text{ cm}^4$$



Ancho mínimo = 51 mm > Anchura de 48 mm

Ancho mínimo = 51 - 1200/30

Ancho mínimo = 91 mm

B/4 = 40/4 = 10 cm

Por lo tanto:

$$\text{Ancho mínimo} = 10.00 \text{ cm}$$

$$t_{\min} = \text{ancho}/16$$

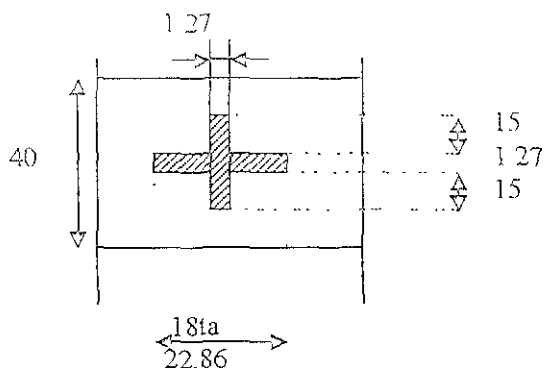
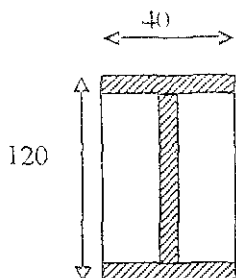
$$t_{\min} = 10/16 = 0.625 \text{ cm}$$

Por lo tanto se tendrán que revisar atiezadores de 10 cm de ancho y  $\frac{1}{4}$  " de espesor

$$I = 0.63 * 10^3 / 3 = 213.3 \text{ cm}^4 \quad > \quad I_{\min}$$

Por lo tanto son correctos los atiesadores de 10x0.64

## Mesas de concreto apoyadas



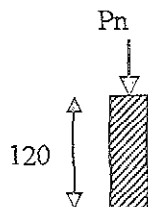
$$t_{\min} = (b'/12) * (f_y/2320)^{1/2}$$

$b'$  = ancho del atiesador

$$t_{\min} = 15/12 * (2530/2320)^{1/2}$$

$$t_{\min} = 1.30 \text{ cm} \rightarrow \text{Usar } t = 1.27 \text{ cm} \approx t_{\min}$$

Revisando atiesadores de 1.27 cm de espesor y 15 cm de ancho como columna.



$$A = 1.27 * 15 * 2 + 1.27 * 22.86$$

$$A = 67.13 \text{ cm}^2$$

$$I = \frac{\pi r^4}{4} = \frac{\pi (15)^4}{4} = 1770 \text{ cm}^4$$

$$I = 3240 \text{ cm}^4$$

$$r = (I/A)^{1/2} \rightarrow r = (3240/67.13)^{1/2} = 6.95 \text{ cm}$$

$$KL/r = 120/6.95 = 17.27$$

$$P_u = V_{max} = 37161 \text{ kg}, \quad f_a = 37161/67.13 = 553.6 \text{ kg/cm}^2$$

$$F_a = (0.55 * f_y / 1.25) * ((1 - (0.75 L'/r) f_y / (4\pi^2 t)) = 1120 - 0.02(L'/r)^2$$

↑  
Para acero A-36

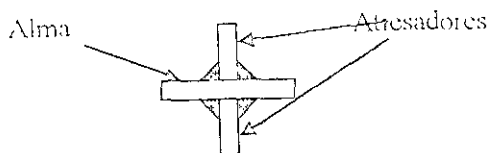
$$F_a = 1120 - 0.02 * 17.27^2 = 1114 \text{ kg/cm}^2$$

$$f_a = 553.6 \text{ kg/cm}^2 < F_a$$

Por lo tanto los atiesadores de apoyo dobles de 15x1.27 cm son los correctos

\*Por seguridad, se colocaran 3 atiesadores dobles en los apoyos.

Soldadura en arcesado es de tipo v



$P_u = 37161 \text{ kg} \leftarrow \text{Resistida por 4 cordones de soldadura E-70}$

$$(f_y = 4900 \text{ kg/cm}^2)$$

Esfuerzo permisible a cortante de la soldadura

$$f_v = 0.3 * f_u \rightarrow f_v = 0.3 * 4900 = 1470 \text{ kg/cm}^2$$

Revisar soldadura de filete de 6 mm

$$R_s = 4 * 0.707 * 0.6 * 1470 * 114.92$$

$$R_s = 286644 \text{ kg}$$

$$R_s > P_u$$

Por lo tanto es correcta la soldadura de 6 mm

Conectores para cortante

Los conectores serán a base de canales CE102x8.04 kg/cm

La separación máxima de conectores según AASHTO es 61.00 cm

La fuerza cortante horizontal  $S_t = V_r * Q/I$  (flujo de cortante)

• Sección compuesta de concreto y acero

Verificación momento cortante:

$Q$  Momento estático del área transformada de concreto

$I$  Momento de inercia de la sección compuesta

Conservadoramente para  $V_r$  se considera también lo generado por la carpeta y

G.P. y CVP.

Por lo tanto:

$$V_{r\max} = 20740 + 3620 + 2693 = 27053 \text{ kg}$$

Revisando para  $V_{r\max}$

$$Q = 15 * 16.16 * (47.34 - 7.5)$$

$$Q = 9657.22 \text{ cm}^3$$

$$S_r = 27053 * 9657.22 / 1359792.8$$

$$S_r = 192.2 \text{ kg/cm}$$

Fuerza cortante horizontal permisible “ $Z_r$ ” en kg para cada conector.

Para canales:

$$Z_r = B_w$$

$$B = 429 \text{ para } 2000000 \text{ de ciclos (en kg)}$$

$W$  = longitud del conector para esfuerzo cortante (en cm)

$$\text{Si } W = 30$$

$$Z_r = 429 * 30 \rightarrow Z_r = 12870 \text{ kg}$$

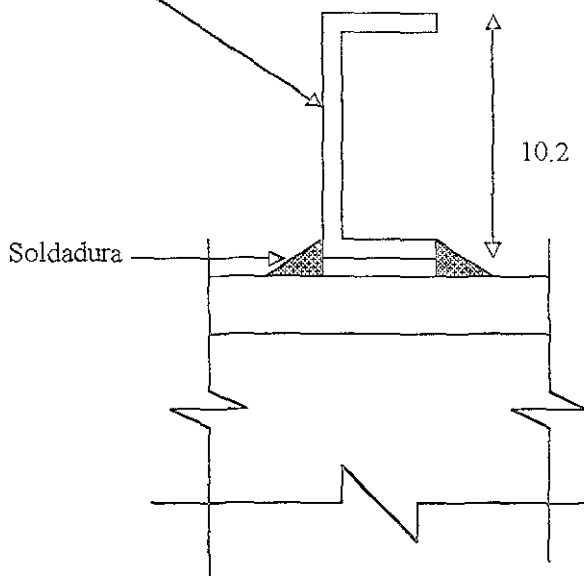
## Espaciamiento de conectores

12870 192.2 → 66.96 cm → Una zona critica (extremos) de la torre

Conservadoramente deben usarse conectores  $\varnothing 25$  en extremos,  $\varnothing 40$

posteriormente y  $\varnothing 60$  al centro de la trabe

Conectores CE 102x8.04 kg/m de 30 cm de longitud



Comparación por la configuración:

$$W_{\text{total}1} = W_{\text{pp}} + W_D + W_I \rightarrow W_{\text{total}1} = 2.74 + 0.50 + 4.73 = 7.97 \text{ kg/cm}$$

$$W_{\text{total}2} = W_C + W_{GyP} \rightarrow W_{\text{total}2} = 2.89 + 2.15 = 5.04 \text{ kg/cm}$$

$$\Delta_1 = (5/384) * (7.94 * 2435^4) / (2039000 * 861612.9)$$

$$\Delta_1 = 2.1 \text{ cm}$$

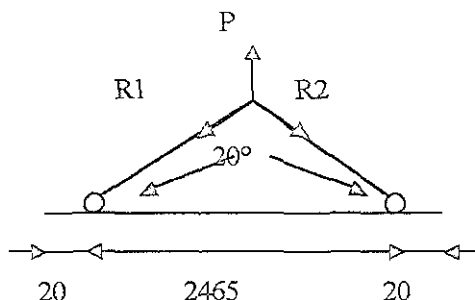
$$\Delta_2 = (5/384) * (7.94 * 2435^4) / (2039000 * 1359792.8)$$

$$\Delta_2 = 0.8 \text{ cm}$$

$$\left. \begin{array}{l} \\ \\ \end{array} \right\} \Sigma \Delta \approx 2.9 \text{ cm}$$

Para considerar una pequeña carga viva  $\Delta_{\text{total}} = 3.1 \text{ cm}$

Orejas de izaje



$$P = (P_p + \text{Diag}) * 1.4$$

1.4 Se considera para una sobre carga

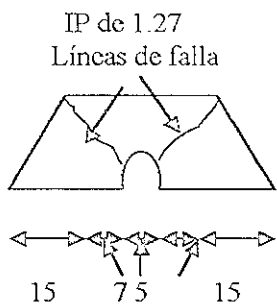
$$P = (3433.4 + 750) * 2 * 1.4 \approx 11700 \text{ kg}$$

$$N = 17104 \text{ kg} \cdot 9.81 \text{ m/s}^2 = 167320 \text{ N}$$

$$R_t = 17104 \text{ kg}$$

$$R_{tx} = 17104 \cdot \cos 20^\circ = 16073 \text{ kg}$$

$$R_{ty} = 17104 \cdot \sin 20^\circ = 5850 \text{ kg}$$



$$f_v = 16073 / (7.5 * 1.2 * 2 * 1.27)$$

$$f_v = 703.09 \text{ kg/cm}^2$$

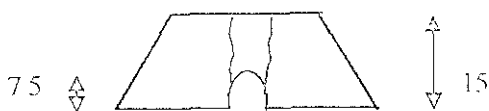
$$f_t = 5850 / (1.27 * 7.5 * 2 * 1.2)$$

$$f_t = 256 \text{ kg/cm}^2$$

} 1.2 es por considerar  
 a la diagonal

$$f_v/F_v + f_t/F_t = 703/840 + 256/1400 = 1.02 \approx 1.00$$

Área por cortante en la parte de la oreja



$$\text{Área por cortante } 7.5 \times 1.27 \times 2 = 19.05 \text{ cm}^2$$

$$f_v = 5850 / 19.05 = 307 \text{ kg/cm}^2$$

$$F_v = 0.33 \times 2530 = 840 \text{ kg/cm}^2$$

$$f_v < F_v \quad \text{Por lo tanto esta correcto}$$

Por seguridad usar dos orejas de izaje en cada extremo

Soldadura alma-patín

$$\text{Cortante horizontal} \rightarrow q = VQ/I$$

$$Q = 16.16 \times 15 \times (47.34 - 7.5) + 40 \times 2.54 \times (32.34 - 1.27)$$

$$Q = 12814 \text{ cm}^3$$

$$V = 37161 \text{ kg}$$

$$I_{sc} = 1359792.8 \text{ kg/cm}$$

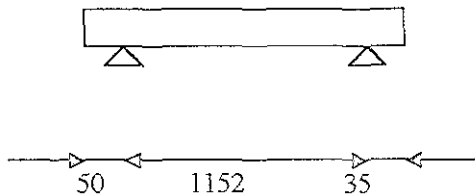
Revisando la validación de la resistencia de la soldadura

$$R_s = 0.707 \cdot 0.072 \cdot 0.382000$$

$$R_s = 1247 \text{ kg/cm}^2 = 350.2 \text{ kg/cm}$$

Por lo tanto es correcta la soldadura.

Trabe T-2



$$L/4 = 1152/4 = 288$$

$$\text{C. a C.} = 131.25 \rightarrow \text{Rige}$$

$$12t = 12 \cdot 15 = 180$$

Por lo tanto

$$b' = 16.16 \text{ cm}$$

1. 300 cm<sup>3</sup>

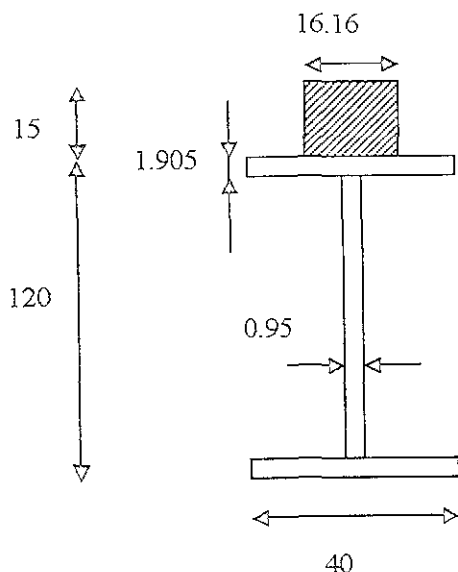
$$\Delta = 1.905 \cdot 40^2 + 116.19 \cdot 0.95 = 62.78 \text{ cm}^3$$

$$Y_1 - Y_8 = 60 \text{ cm}$$

$$I_{rs} = (40 \cdot 1.905^2 / 12 + 40 \cdot 1.905 \cdot 59.05^2) \cdot 2 + 0.95 \cdot 116.19 \cdot 12$$

$$I_{rs} = 655629 \text{ cm}^4$$

$$S_i = S_s = 655629 / 60 = 10927.15 \text{ cm}^3$$



VISTAS DE COMPUTACION

Sección	A	Y	AY
1	262.78	60	15760.8
2	242.40	127.5	30906
	$\Sigma 505.18$		$\Sigma 46672.8$

$$Y_1 = 46672.8 / 505.18$$

$$Y_1 = 92.39 \text{ cm}$$

$$Y_s = 27.61 \text{ cm}$$

$$Y_s' = 42.61 \text{ cm}$$

$$I_{sc} = 655629 + 16.16 * 15^3 / 12 + 16.16 * 15 * 35.11^2 + 262.78 * 32.39^2$$

$$I_{sc} = 1234669 \text{ cm}^4$$

$$S_i = 1234669 / 9239$$

$$S_i = 13363 \text{ cm}^3$$

$$S_s = 1234669 / 27.61$$

$$S_s = 44718 \text{ cm}^3$$

$$S_s' = 1234669 / 42.61$$

$$S_s' = 28976 \text{ cm}^3$$

rectangular slab (M200 T-12S)

$$t = P P / W_{pp} = 0.0263 \times 7850 = 200.5 \text{ kg/m} \cdot 2.07 \text{ kg/cm}$$

$$V_{pp} = 2.07 \times 1237/2 = 1280 \text{ kg}$$

$$M_{pp} = 2.07 \times 1152^2/8 = 343388 \text{ kg*cm}$$

$$f_i = 343388/10927.15 = -31.43 \text{ kg/cm}^2$$

$$f_s = 34.43 \text{ kg/cm}^2$$

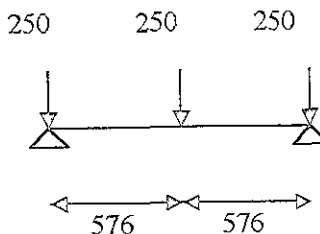
2. Diafragmas  $V_d = 375 \text{ kg}$

$$M_d = 72000 \text{ kg}$$

$$W_{Dequiv} = 72000 \times 8/1152^2 = 0.43 \approx 0.5 \text{ kg/cm}$$

$$f_i = 72000/10927.15 = -6.59 \text{ kg/cm}^2$$

$$f_s = 6.59 \text{ kg/cm}^2$$



$$W_L = 473 \text{ kg/cm}$$

$$V_L = 473 * 1237 / 2 = 2926 \text{ kg}$$

$$M_L = 473 * 1152^2 / 8 = 784650 \text{ kg*cm}$$

$$f_1 = 784650 / 10927.15 = -71.81 \text{ kg/cm}^2$$

$$f_s = 71.81 \text{ kg/cm}$$

#### 4 Carpeta

$$W_L = 2.89 \text{ kg/cm}$$

$$V_c = 2.89 * 1237 / 2 = 1788 \text{ kg}$$

$$M_c = 2.89 * 1152^2 / 8 = 479416 \text{ kg*cm}$$

$$f_1 = 479416 / 13363 = -35.88 \text{ kg/cm}^2$$

$$f_s = 479416 / 44718 = 10.72 \text{ kg/cm}^2$$

$$f_s' = 479416 / 28976 = 16.55 \text{ kg/cm}^2$$

#### 5 G., P. y CVp

$$W_{G,P,CVp} = 2.15 \text{ kg/cm}$$

$$V_{G,P,CVp} = 1330 \text{ kg}$$

$\Sigma f_{viv} = 886689 \text{ kg/cm}^2$

$$f_v = M_{G,P,CVp}/13305 = 886689/13305 = 20.09 \text{ kg/cm}^2$$

$$f_s = M_{G,P,CVp}/44718 = 886689/44718 = 7.98 \text{ kg/cm}^2$$

$$f_s' = M_{G,P,CVp}/28976 = 886689/28976 = 12.31 \text{ kg/cm}^2$$

## 6. CVI + I

$$I = 15.24/(11.52+380.31 \cdot 10) = 0.31 \rightarrow I = 130 \text{ cm}^4$$

De las páginas 44 y 45

$$FDA = 2*3/9 + 0.375*1.3125/11.52 = 0.709$$

$$\left. \begin{array}{l} FDC = 3.06 \text{ (T3-S2-R4)} \\ FDC = -0.203 \text{ (HS-20)} \end{array} \right\} FDC = 2.86$$

Factor de distribución final

$$\text{T3-S2-R4: } 0.709*3.06/2.86 = 0.759$$

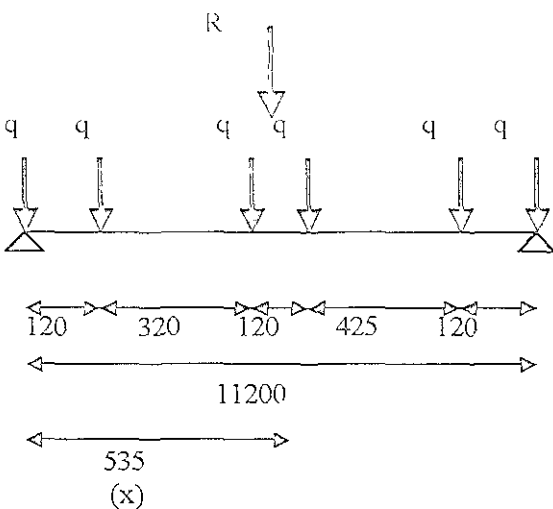
$$\text{HS-20: } 0.709(-0.203)/2.86 = -0.050$$

Para el cálculo de los elementos mecánicos producidos por las cargas vivas se considera un claro de 12.00 m

$$MS \Delta D = M = 80 \cdot \sqrt{3} \cdot q^* \cdot l^{**}$$

$$V = 2492 \text{ ton}$$

Carga T3-S2-R4



$$RA = 9 * (1 + 1080/1200 + 760/1200 + 640/1200 + 215/1200 + 95/1200)$$

$$RA = 29.925 \text{ ton} \rightarrow V_{\max}$$

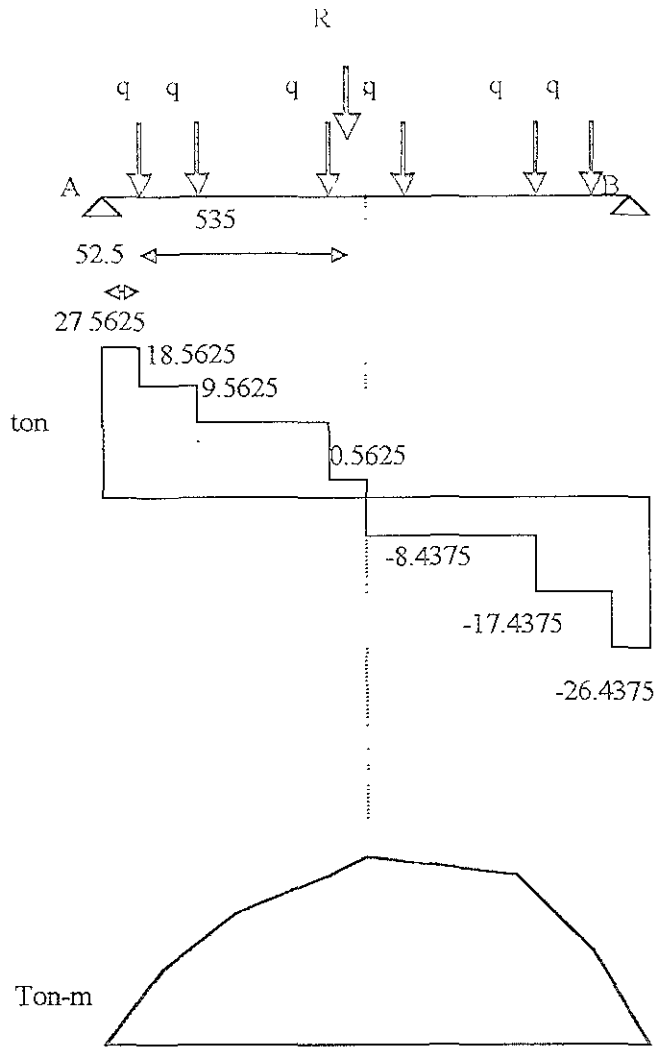
$$RB = 9 * 6 - 29.925 = 24.075 \text{ ton}$$

$$R = 54 \text{ ton}$$

$$\Sigma MA = 0$$

$$24.075 * 1200 - 54 * (x) = 0$$

$$X = 28890 / 54 = 535 \text{ cm}$$



$$V_{CVI+FC} = 68 \times 2 + 76 \times 2 = 233.68 \text{ m}^3 \text{ de agua}$$

$$M_{CVI+FC} = 22.82 \text{ ton/m}$$

$$V_{CVI+FC} = (27.56 \times 0.76/2 + 24.92 \times 2 \times (-0.05)/2) \times 1.30$$

$$V_{CVI+FC} = 9.23 \text{ ton}$$

$$f_i = 2282000/13363 = -170.77 \text{ kg/cm}^2$$

$$f_s = 2282000/44718 = 51.03 \text{ kg/cm}^2$$

$$f_s' = 2282000/28976 = 78.75 \text{ kg/cm}^2$$

### Resumen de esfuerzos

	$f_i$		$f_s$		$f_s'$	
Carga	P	A	P	A	P	A
P.P	-31.43	-31.43	31.43	31.43	---	---
Diafragma	-6.59	-38.02	6.59	38.02	---	---
Losa	-71.81	-109.83	71.81	109.83	---	---
Carpeta	-35.88	-145.71	10.72	120.83	16.55	16.55
C P. y CVP	-26.69	-172.40	7.98	128.53	12.31	28.86
CVI+FC	-170.77	-343.17	51.03	179.56	78.75	107.61

$$\text{Tensión máxima} = 313.17 \text{ kg/cm}^2$$

$$\text{Compresión máxima} = 179.56 \text{ kg/cm}^2$$

Cortante máximo

$$V_{\max} = 1280 + 375 + 2923 + 1788 + 1330 + 9230$$

$$V_{\max} = 16929 \text{ kg}$$

$$\text{Área del alma} = (120 - 1.905 - 1.905) * (0.95)$$

$$\text{Área del alma} = 110 \text{ cm}^2$$

$$f_v = 16929 / 110 = 153.9 \text{ kg/cm}^2 < F_v = 840 \text{ kg/cm}^2$$

Deflexión por CVI

$$\Delta_{\text{per}} = 1152 / 800 = 1.44 \text{ cm}$$

$$W_{\text{equiv por cvi+fc}} = 2282000 * 8 / 1152^2 = 13.8 \text{ kg/cm}$$

$$\Delta_{\text{act}} = (5/384) * (13.8 * (1152^4)) / (2039000 * 1234669) = 0.126 \text{ cm}$$

Por lo tanto:

$$\Delta_{\text{act}} < \Delta_{\text{per}}$$

Consigna: sección de compresión

Patín de compresión

$$b/t = 40/1.905 = 21.0 \quad b/t = 661/(180^{1/2}) = 24$$

$$661/(180^{1/2}) = 64.2 \rightarrow b/t = 24$$

Por lo tanto para el patín de compresión

$$t = 1.905 \text{ cm}$$

$$b = 40 \text{ cm}$$

Placa del alma

$$\text{Espesor mínimo} = t_m = D * (fb^{1/2}) / 6095 \geq D / 170$$

$$D = 120 - 1.905 - 1.905 = 116.19$$

$$t_{\min} = 116.19 * (180^{1/2}) / 6095 = 0.26 < 116.19 / 170 = 0.68 \text{ cm}$$

Por lo tanto es correcto:

$$t = 0.95 \text{ cm}$$

## Ventilación

### Atiesadores intermedios

$d_{max} = D - 116.9 \text{ cm} - 115 \text{ cm} \rightarrow \text{Separación máxima entre atiesadores}$

Si  $t$  es mayor a  $D^{1/2} (f_v^{1/2})/1988 \sim D/150$  se podrán suprimir atiesadores intermedios

$$116.92 * (152.9^{1/2}) / 1988 = 0.73 \leq 116.92 / 150 = 0.78$$

$$t = 0.95 \text{ cm} > 0.78 \text{ cm}$$

Por lo que no se requieren atiesadores intermedios

### Atiesadores en los apoyos

Conservadoramente se usarán los mismos atiesadores de apoyo que en la trabe

T-1

Por lo que los atiesadores serán de 15 x 1.27 cm

### Soldadura en atiesadores de apoyo

$$V_r \text{ max} = 9230 + 1330 + 1788 = 12348 \text{ kg}$$

$$I_{sc} = 1234669 \text{ cm}^4$$

$$Q = 15 * 16.16 * (42.61 - 7.5) = 8510.7 \text{ cm}^3$$

Por lo que

$$S = 12348 \text{ mm}^3, I = 123400 \text{ mm}^4, S_{f, \text{tr}} = 1152 \text{ cm}, S_{f, \text{ap}} = 1152 \text{ cm}$$

Por lo que conservadoramente se usarán conectores cada  $10 \times 8$  cm de 30 cm, a cada cm 25 cm en los apoyos y a cada 45 cm en el resto de la trabe.

Contraflecha por la carga muerta

$$W_{\text{total1}} = W_{\text{pp}} + W_D + W_L = 2.07 + 0.5 + 4.73 = 6.85 \text{ kg/cm}$$

$$W_{\text{total2}} = W_c W_{G,P} y_{\text{CVI}} = 2.89 + 2.15 = 5.04 \text{ kg/cm}$$

$$\Delta_1 = (5/384) * 6.85 * (1152^4) / (2039000 * 655629) = 0.118 \text{ cm}$$

$$\Delta_2 = (5/384) * 5.04 * (1152^4) / (2039000 * 1234669) = 0.046 \text{ cm}$$

$$\Delta_{\text{total}} = \Delta_1 + \Delta_2 = 0.118 + 0.046 = 0.164 \text{ cm}$$

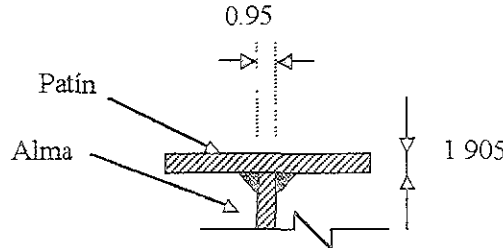
El valor de  $\Delta_{\text{total}}$  es muy pequeño, por lo tanto no requiere contraflecha.

Orejas de izaje

Conservadoramente, usar las mismas orejas que las indicadas para la trabe T-1

Soldadura alma-patín

Usar soldadura E-70 de filete de 6 mm (propuestos en las páginas 68 y 69)



## AV 3 - Sección vista

## AV 3 | Datos de la proyección

* Carga viva	2 HS-20 y 1 T3-S2-R4
* Ancho del puente	12.00 m
* Ancho de calzada	10.50 m
* Número de tráves y separación	9 tráves @ 1.3125 m por cuerpo
* Claros	1 central de 25.05 m y dos extremos de 11.87 m a ejes de pilas y estribos y 24.35. y 11.52m a ejes de apoyos respectivamente.
* Concreto	$f_c = 250 \text{ kg/cm}^2$
* Acero de refuerzo	Límite elástico $\geq 4000 \text{ kg/cm}^2$
* Cimentación	Superficial mediante zapata
* Esviaje	3° 33'
* Tipo de suelo	Tipo II con $q = 110 \text{ ton/m}^2$
* Especificaciones	"AASHTO-SCT"
* Combinación de cargas	Grupo I, III y VII de "AASHTO-SCT"

### Componentes de la carga ASCE 7-16

Grupo I	CM + CV + I + ET + S + PC	(f = 100 %)
Grupo III	Grupo I + FL + F + 30 % VE + Vcv + FC	(f = 125 %)
Grupo IV	CM + ET + S + PC + TT	(f = 133 %)

Donde:

CM:	Carga muerta
CV	Carga viva
I	Impacto
ET	Empuje de tierras
S	Subpresión
PC	Presión de la corriente
FL	Fuerza longitudinal por carga viva (frenaje)
F	Fuerza longitudinal por fricción o resistencia a la fuerza cortante
VE	Viento sobre la estructura
Vcv	Viento sobre la carga viva (149 kg/m)
FC	Fuerza centrífuga
TT	Sismo

V(3.2) = 10000 N

[V(3.2)] = Pmas

Cargas verticales

Carga muerta superestructura

Reacción en tráves de 25.05 m

$$V_{pp} \approx 3433.4 \text{ kg}$$

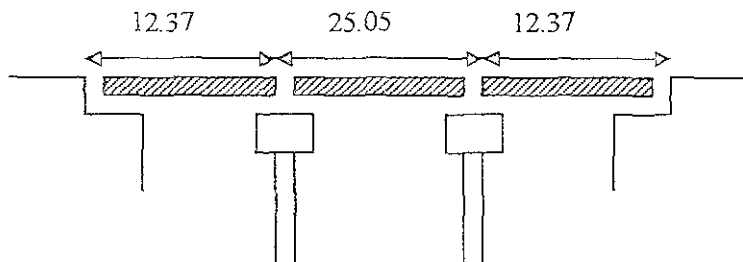
$$V_{diaf} = 750 \text{ kg}$$

$$V_{losa} = 5924.3 \text{ kg}$$

$$V_{carpeta} = 3620 \text{ kg}$$

$$V_{C y P} = 2693 \text{ kg}$$

$$RCM = 16420 \text{ kg}$$



Reacción tráves de 12.37 m

$$V_{pp} = 1280 \text{ kg}$$

$$V_{diaf} = 375 \text{ kg}$$

$$V_{losa} = 2926 \text{ kg}$$

$$V_{carpeta} = 1788 \text{ k}$$

$$V_{C y P} = 1330 \text{ kg}$$

$$RCM = 7699 \text{ kg}$$

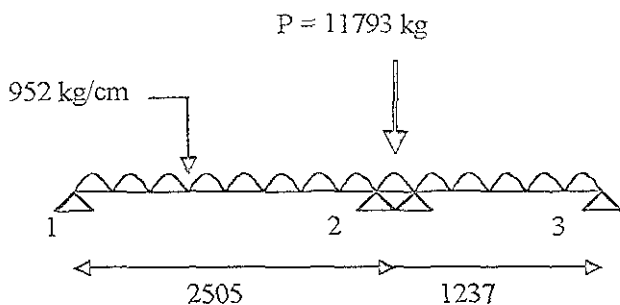
Carga muerta superficial en los muros verticales 133

PCM (16420 + 7599)\*9 = 217071 kg

## Carga viva

Se considera

- 1 Que para las pilas en conjunto no se considera I
  - 2 Usar 2 HS-20 y T3-S2-R4
  - 3. Rige análisis de carga equivalente



### Carga equivalente HS-20

$$R_2 = 952 * (25.05 + 12.37) / 2 + 11793$$

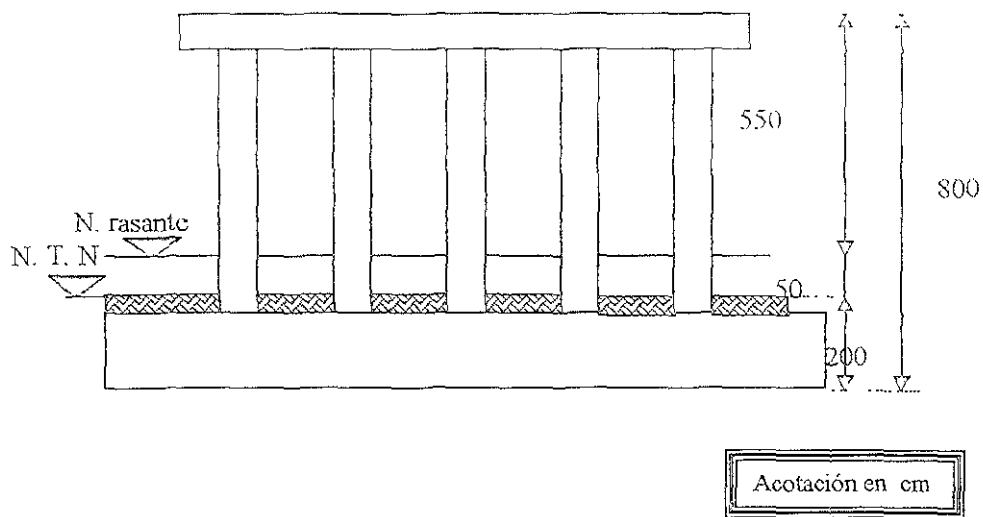
$$R_2 = 29605 \text{ kg}$$

Se tomara la T3-S2-R4 = (77500/32659)(HS-20) = 2.373(HS-20)

$$P_{cv} = 29605 * (2.373 + 2) * 0.9 = 116516 \text{ kg}$$

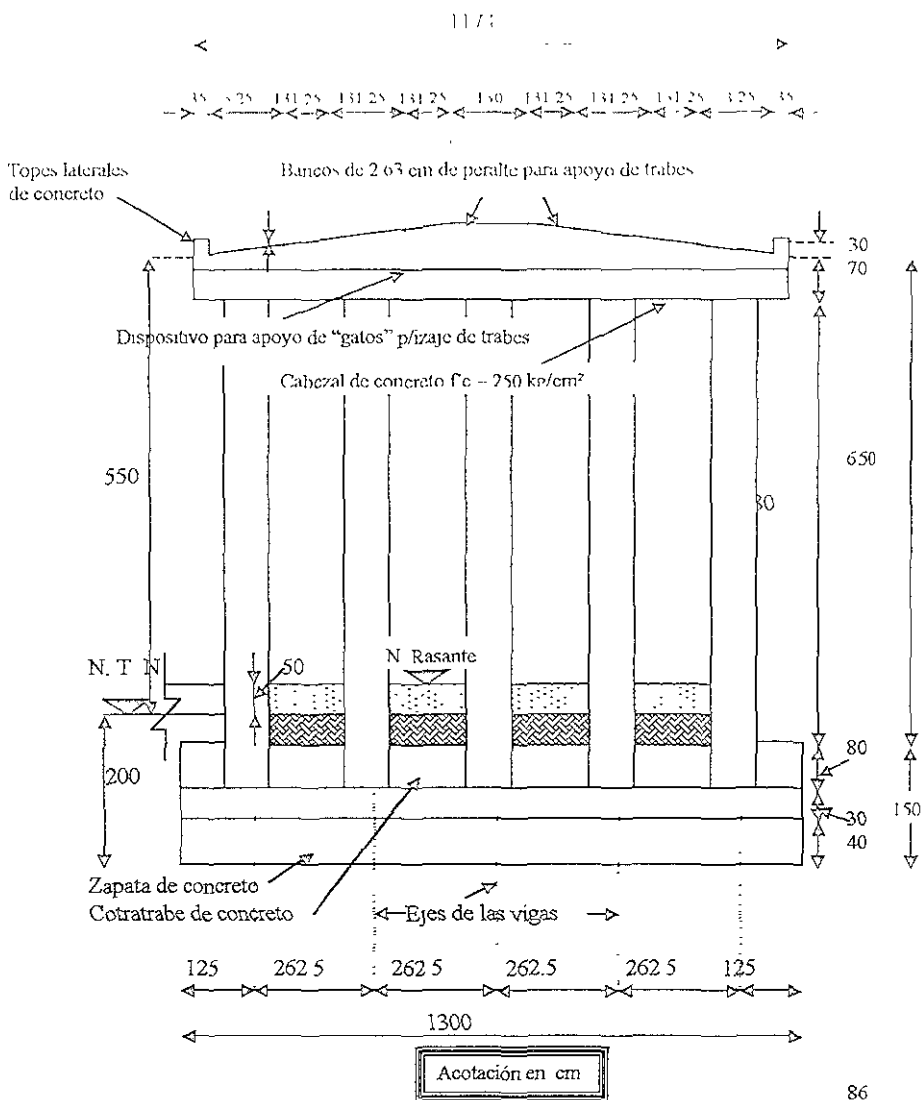
0.9 es un factor de reducción para 3 carriles según “AASHTO”

Altura aproximada de pilas.

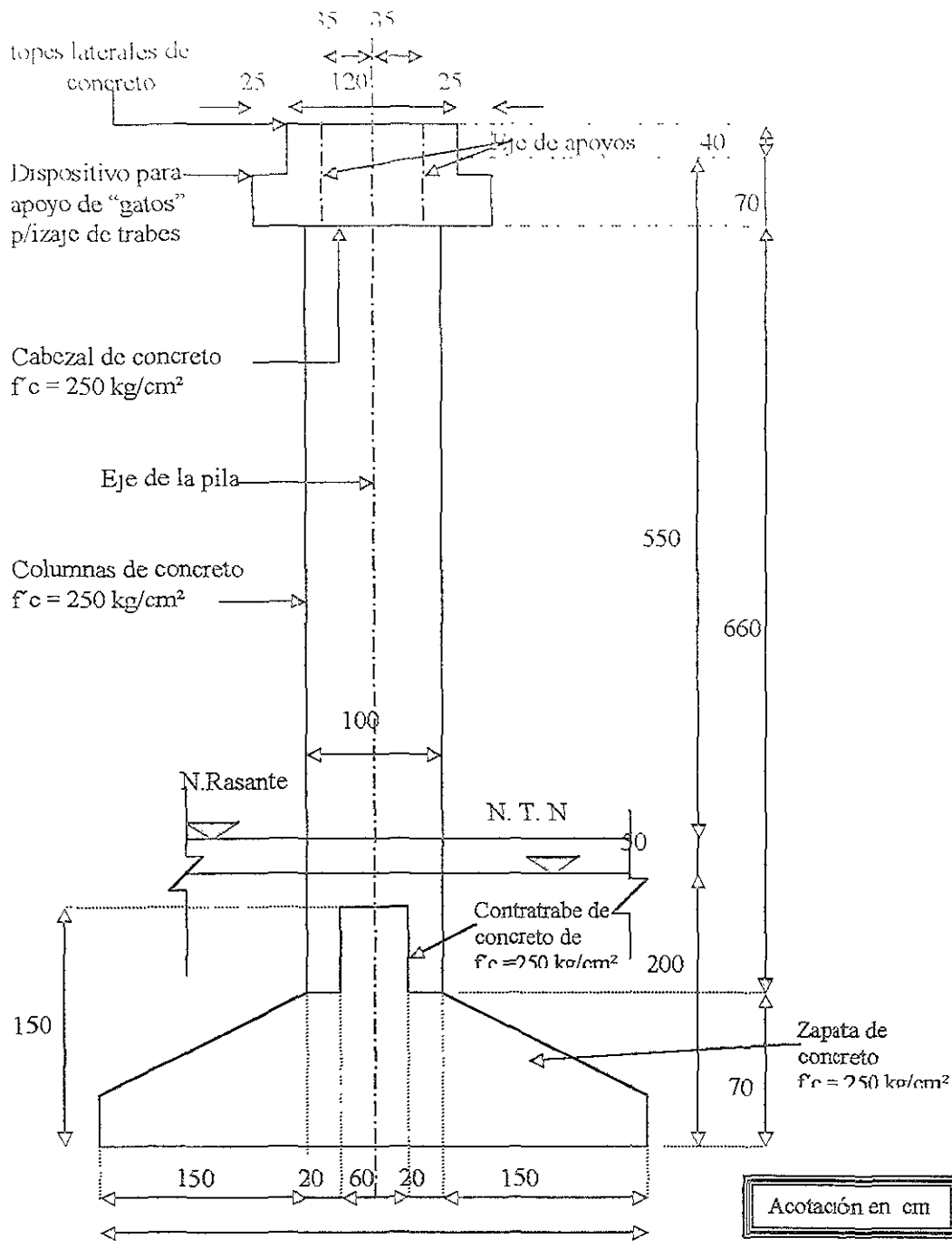


En las siguientes hojas se muestra la geometría de las pilas propuestas.

## Vista lateral



**Visita lateral**



### Vista de planta

1993-1994

$\lambda^2 = \Omega(\lambda^2) = \Omega(\lambda^{-1})$

22582258115

What is J?

Dispositivo  
para apoyo  
de "gatos"  
plizaje de  
trabes

131 25 Proyección  
de columnas

Bancos de  
2 63 cm de  
peralte para  
apoyo de  
trabes

131 25 Cabezal de  
concreto  
 $F_c = 250 \text{ kg/cm}^2$

Zapata de  
concreto  
 $f_c=250$   
 $\text{kg/cm}^2$

## Topos laterales de concreto

13125

13125 neopreno  
de 30x30x41

13125

13125

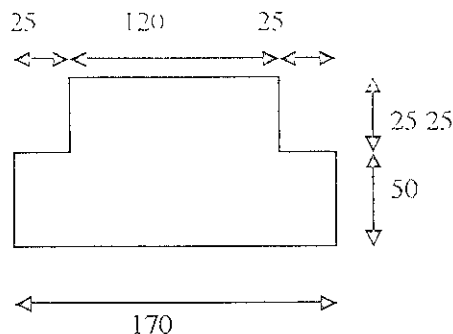
—  
—  
—

— 1 —

47

Acotación en cm

Cabezal



$$\text{Área} = 170 \times 0.50 + 120 \times 0.2525$$

$$A = 1.153 \text{ m}^2$$

$$P_{CAB} = 1.153 \times 11.74 \times 2400$$

$$P_{CAB} = 32487 \text{ kg}$$

Columnas

$$5 \text{ columnas por pila de } 80 \times 100; \quad A = 0.80 \text{ m}^2$$

$$P_{columnas} = 5 \times 0.80 \times 6.60 \times 2400$$

$$P_{columnas} = 63360 \text{ kg}$$

Contrarrabe

$$A = 4 \times 0.040 + ((4+1)/2) \times 0.30$$

$$\lambda = 0.48 \text{ m}$$

$$\text{Longitud} = 13 \times 0.80 = 9.0 \text{ m}$$

$$P_{\text{CONTRARABE}} = 0.48 \times 9 \times 2400 = 10368 \text{ kg}$$

Zapata

$$A = 4 \times 0.4 + ((4+1)/2) \times 0.3$$

$$A = 2.35 \text{ m}^2$$

$$P_{\text{ZAPATA}} = 2.35 \times 13 \times 2400$$

$$P_{\text{ZAPATA}} = 73320 \text{ kg}$$

Topes laterales

$$P_{T,L} = 0.35 \times 1.2 \times 2 \times 0.40 \times 2400$$

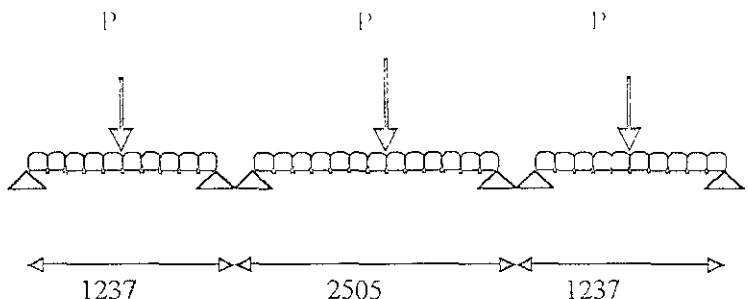
$$P_{T,L} = 807 \text{ kg}$$

$$\text{Peso total de la pila} = 180342 \text{ kg}$$

Fuerzas horizontales

Frenaje . 5% de la carga viva en todos los carriles empleando carga equivalente con la carga concentrada por momento

Un camión 3-S2-R4 - 2373 HS-20



Para HS-20

$$W = 952 \text{ kg/cm}$$

$$P = 8165 \text{ kg}$$

Por lo tanto

$$W_u = 952 * 4.373 * 0.9 = 3747 \text{ kg/m}$$

$$P_u = 8165 * 4.373 * 0.9 = 32135 \text{ kg}$$

$$F_L = (3747 * (25.05 + 12.37) / 2 + 32135) * 0.05 = 5112 \text{ kg} \leftarrow 568 \text{ kg/trabe}$$

Aplicada 1.83 m arriba de la losa del piso:

$$b_{FL} = 1.83 + 0.15 + 0.105 + 1.20 + 0.075 = 3.36 \text{ m arriba del cabezal}$$

$$M_{FL} = 568 * 336 = 190848 \text{ kg*cm/trabe}$$

Viento a 60°

Presión Longitudinal 93 kg/cm<sup>2</sup>

Presión transversal = 83 kg/cm<sup>2</sup>

Fuerza del viento sobre carga viva:

Longitudinal = 57 kg/cm

Transversal = 51 kg/cm

Área expuesta:

$$(0.50 + 0.15 + 1.20) * (25.05 + 12.37) * 0.5 = 34.61 \text{ m}^2$$

VLSE:

$$93 * 34.61 = 3219.06 \text{ kg} \rightarrow 358 \text{ kg/apoyo}$$

a 0.93 m arriba del cabezal

$$M_{ULSE} = 358 * 93 = 33294 \text{ kg*cm/apoyo}$$

VLCU.

$$(25.05 + 12.37) * 0.5 * 57 = 1067 \text{ kg} \rightarrow 119 \text{ kg/apoyo}$$

a 3.20 arriba del cabezal

$$M_{VLCV} = 19 * 320 = 38080 \text{ kg*cm/apoyo}$$

VTSE

$$83 * 34.61 = 2873 \text{ kg} \rightarrow 319 \text{ kg/apoyo}$$

• VIENTO = 100% de viento

$$M_{VSE} = 310 \cdot 93 = 28684 \text{ kg*cm/apoyo}$$

VTCV

$$1067 \cdot 51 / 57 = 955 \text{ kg} \rightarrow 106.1 \text{ kg/apoyo}$$

$$M_{VTCV} = 106.1 \cdot 320 = 33944 \text{ kg*cm/apoyo}$$

Viento a 0°

Presión :

$$\text{longitudinal} = 0$$

$$\text{Transversal} = 244 \text{ kg/cm}^2$$

Fuerza del viento sobre la carga viva:

$$\text{Longitudinal} = 0$$

$$\text{Transversal} = 149 \text{ kg/cm}$$

VTSE

$$244 \cdot (25.05 + 12.37) \cdot 0.5 = 2788 \text{ kg} \rightarrow 310 \text{ kg/apoyo}$$

$$M_{VTCV} = 310 \cdot 320 = 99122 \text{ kg*cm/apoyo}$$

Viento sobre estructura

$$P_{US} = 195 \text{ kg/cm}^2$$

Áreas expuestas al viento

$$A_{FRONTAL PILA} = 4.8 * 0.8 * 5 + 0.7 * 11.74 = 27.42 \text{ m}^2$$

$$A_{LATERAL PILA} = 5 * 5.20 * 1 = 26 \text{ m}^2$$

Punto de aplicación de las cargas

$b_f = 2.27 \text{ m}$  debajo de la cara sur del cabezal

$b_l = 2.60 \text{ m}$  debajo de la cara sur del cabezal

Esviaje de  $60^\circ$

$$VLSS = 195 * 27.42 * \sin 60^\circ = 4631 \text{ kg} \rightarrow 926.2 \text{ kg/col}$$

$$VTSS = 195 * 26 * \cos 60^\circ = 2535 \text{ kg} \rightarrow 507 \text{ kg/col}$$

Esviaje de  $0^\circ$

$$VLSS = 0$$

$$VTSS = 195 * 26 = 5070 \text{ kg} \rightarrow 1014 \text{ kg/col}$$

Sismo longitudinal (SL)

De acuerdo al estudio de mecánica de suelos y al manual de diseño de obras civiles de la CFE de sismo de 1993.

-Estructura - Grupo "A" tipo "T"

-Zona sísmica "D"

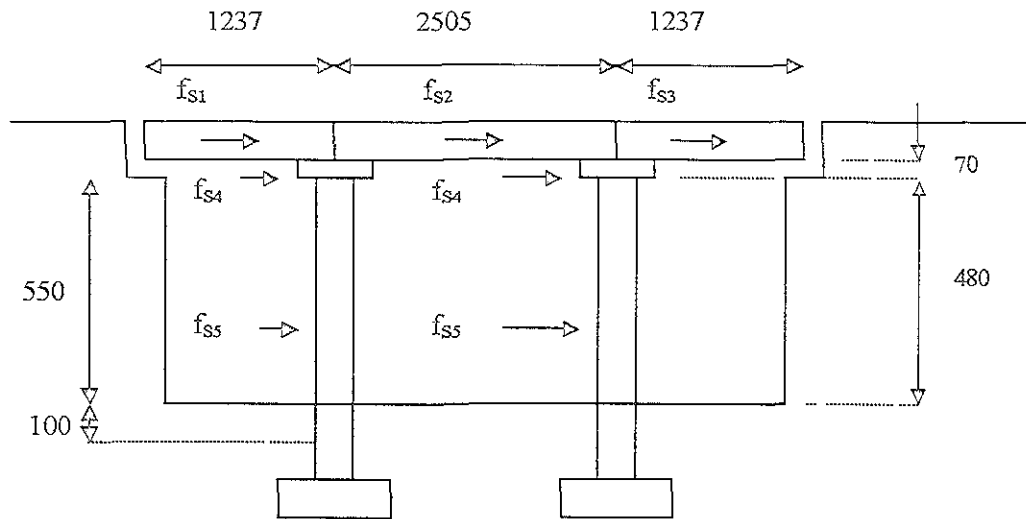
-Suelo Tipo II

-C 0.29

-Factores de comportamiento sísmico  $Q_{LONG} = 2$

$$Q_{TRANSV} = 3$$

### Fuerzas sísmicas longitudinales



$$f_{s1} = c/Q_L W_{super.1}$$

$$W_{super.1} = (7690 \text{ Kg/apoyo trabe}) * (2 \text{ apoyos}) * (9 \text{ trábeas})$$

$$W_{super.1} = 138582 \text{ kg}$$

$$f_{s1} = 0.29 * 138582 / 2 = 20094.4 \text{ kg}$$

Considerando que esta fuerza se distribuye por igual entre estribos y pila (conservadoramente)

$$f_{s1 \text{ PILA}} = 10047 \text{ Kg} \rightarrow 1116 \text{ kg/apoyo trabe}$$

$$f_{s2} = c/Q_L W_{super.2}$$

$$W_{super.2} = (16420 \text{ kg/apoyo trabe}) * (2 \text{ apoyos}) * (9 \text{ trábeas})$$

$$W_{super.2} = 295560 \text{ kg}$$

$$f_{s2} = 0.29 * 295560 / 2 = 042856 \text{ kg}$$

$$f_{s2 \text{ PILA}} = 42856 * 0.5 = 21428 \text{ kg} \rightarrow 2381 \text{ kg/apoyo trabe}$$

$$f_{s3} = f_{s2} =$$

$$f_{s4} = c/Q_L W_{cabezal} = 0.29 * (32487 + 807) / 2 = 4828 \text{ KG}$$

$$4828 / 9 = 536 \text{ Kg/apoyo}$$

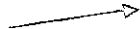
$$f_{ss} = c/Q_L W_{columna} = 0.29 * (0.8 * 1 * 5.8 * 2400) / 2 = 1615 \text{ kg/columna}$$

Se considera aplicada a 3.10 m bajo la cara superior del cabezal.

verificar si se cumplen los criterios de la superficie de corte y el criterio de fuerza

$$f_{SPILA} + f_{S2\ PLIA}$$

$$f_{SPILA} = 1116 + 2381 = 3497 \text{ kg/apoyo trabe}$$



En la cara superior del cabezal

Sismo transversal

$$f_{SPILA\ T} = 3497 * 2 / 2 = 2331 \text{ kg/apoyo}$$

$$f_{ST4} = 4828 * 2 / 3 = 3219 \text{ kg} \rightarrow 358 \text{ kg/apoyo}$$

$$f_{ST5} = 1615 * 2 / 3 = 1077 \text{ kg/columna}$$

Los mismos puntos de aplicación de las cargas longitudinales

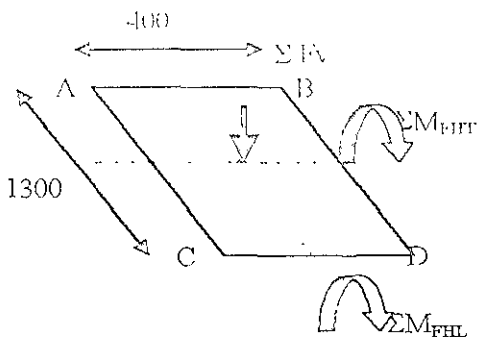
Revisión por capacidad de carga

Se revisara solo grupo I y VII de cargas:

Grupo I: CM + CV + I + ET + S + PC      ( $f = 100\%$ )

$$CM + CV = 217071 + 116516 + 180342 = 514 \text{ ton} = \Sigma f_y$$

No hay fuerzas horizontales



$$A = 4 * 13 = 52 \text{ m}^2$$

$$S_T = (4 * 13^3 / 12) * 1 / 6.5 = 112.67 \text{ m}^3$$

$$S_L = (13 * 4^3 / 12) * 1 / 2 = 34.67 \text{ m}^3$$

$$F = \Sigma F_v / A \pm \Sigma M_{FHT} / S_T \pm \Sigma M_{FHL} / S_L$$

(+) Compresión

(-) Tensión

$$f = 514 / 52 \approx 10.00 \text{ ton/m}^2 < q_a = 110 \text{ ton/m}^2$$

Por lo tanto esta bien el grupo I.

## Grupo VI

$$CM + ET + S + PC = 111 \quad (\Gamma = 133\%)$$

Revisando en el sentido longitudinal que es el crítico

Fuerzas verticales

$$CM = 514 - 116.52 = 397.5 \text{ ton}$$

Carga	Valor (ton)	Brazo (m)	$M_{FV} (\text{ton} \cdot \text{m})$
CM	397.5	0.10 *	39.7
$\Sigma$	397.5	---	39.7

\* Excentricidad accidental

Fuerzas longitudinales

Carga	Valor (ton)	Brazo (m)	$M_{FL} (\text{ton} \cdot \text{m})$
$F_{SLP}$	31.47	8.50**	267.50
$F_{SL4}$	4.83	8.50	41.10
$F_{SLS}$	8.07	5.40	43.60
$\Sigma$	44.37		352.20

\*\* Altura total de las pilas

**FUERZAS TRANSVERSALES**

Se considera 30 % del sismo en la otra dirección

Carga	Valor (ton)	Brazo (m)	$M_{ff}$ (ton*m)
$F_{STR}$	$20.98 * 0.30$	8.50	53.50
$F_{ST4}$	$3.20 * 0.30$	8.50	8.20
$F_{STS}$	$5.40 * 0.30$	5.40	8.70
$\Sigma$	8.87		70.40

Por lo tanto:

$$f_A = (397.5/52 - 391.9/34.67 + 70.4/112.67) * (1/1.33)$$

$$f_A = -2.29 \text{ ton/m}^2$$

$$f_C = (7.64 - 11.30 - 0.62) * 1/1.33$$

$$f_C = -3.22 \text{ ton/m}^2$$

$$f_B = (7.64 + 11.30 + 0.62) / 1.33$$

$$f_B = 14.71 \text{ ton/m}^2$$

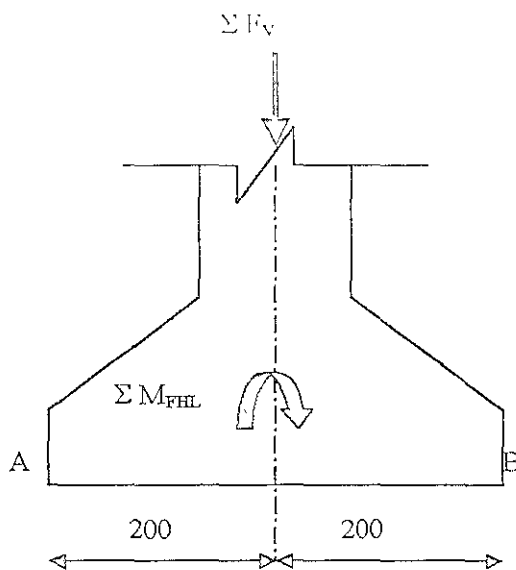
$$f_D = (7.64 + 11.30 - 0.62) / 1.33$$

$$f_D = 13.77 \text{ ton/m}^2$$

$$q_a = 110 \text{ ton/m}^2 > 14.71 \text{ ton/m}^2; \quad \text{la tensión que se genera es muy pequeña}$$

Por lo tanto esta bien el Grupo VII.

Revisión por volteo



$$F.S. \text{ min.} = 2.00$$

$$\Sigma M_{ACT} \leq \Sigma M_{RESIST.}$$

$$\Sigma M_{RESIST.} = \Sigma F_V * (200)$$

$$\Sigma M_{RESIST.} = 397.5 * 2 = 795 \text{ ton*m}$$

$$\Sigma M_{ACT} = 352.2 + 39.7 = 391.9 \text{ ton*m}$$

$$\text{Por lo tanto } F.S. \text{ REAL} = 795/391.9 = 2.03 > F.S. \text{ min}$$

Por lo tanto no voltea; es correcto.

Revisión del diseño

Grupo crítico VII

$$\sum F_{SL}^*(F.S) \sim \mu^* \sum F_v, \quad \text{para concreto con arcilla } \mu = 0.3$$

$$\sum F_{SL} \sim 44.37 \text{ ton}$$

$$\sum F_v \sim 397.5 \text{ ton}$$

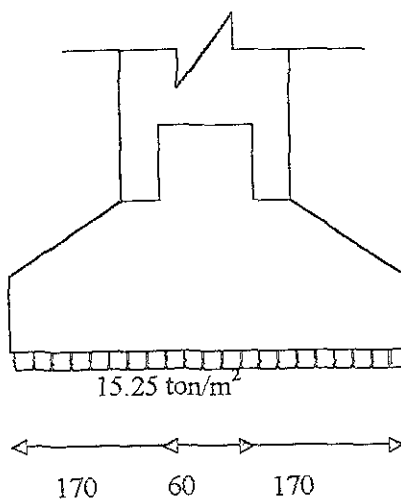
$$\text{Por lo tanto } F.S_{\text{REAL}} = 0.3 * 397.5 / 44.37 = 2.69 > F.S \text{ min.}$$

Por lo tanto no desliza; es correcto.

### Zapatas

Sentido longitudinal Se revisara para Grupo VII

Conservadoramente se diseña para carga uniforme de 13.87 x 1.10 + 15.25  
ton/m<sup>2</sup>



Considerando 1 m de ancho

$$M_u = 152.5 * 170^2 / 2 = 2203625 \text{ kg} * \text{cm}$$

Peralte requerido por flexión

$$d = (M_d / (K * b))^{1/2} \rightarrow (2203625 / (13.9 * 100))^{1/2} = 39.8$$

$$d_{real} = 70-10 = 60 \text{ cm}$$

Por lo tanto esta bien el peralte por flexion

Peralte por cortante

Vigas sin refuerzo en el alma y varillas longitudinales anclada.

$$V_{perm} = 0.3 * f_c \leq 6.3 \text{ kg/cm}^2 \rightarrow V_{perm} = 6.3 \text{ kg/cm}^2$$

$$V_{REAL} = (V_T / A_T)^{1.5}; \quad V_T = 15.25 * 1.7 = 25.9 \text{ TON}$$

$$(25900 / (60 * 100))^{1.5} = 6.48 \text{ kg/cm}^2 \approx 6.3 \text{ kg/cm}^2$$

Se acepta el peralte de 60 cm de la zapata (peralte total dc 70 cm)

Refuerzo por flexión

$$A_s = M_{DL} / (f_{sp} * 0.9 * d_{real})$$

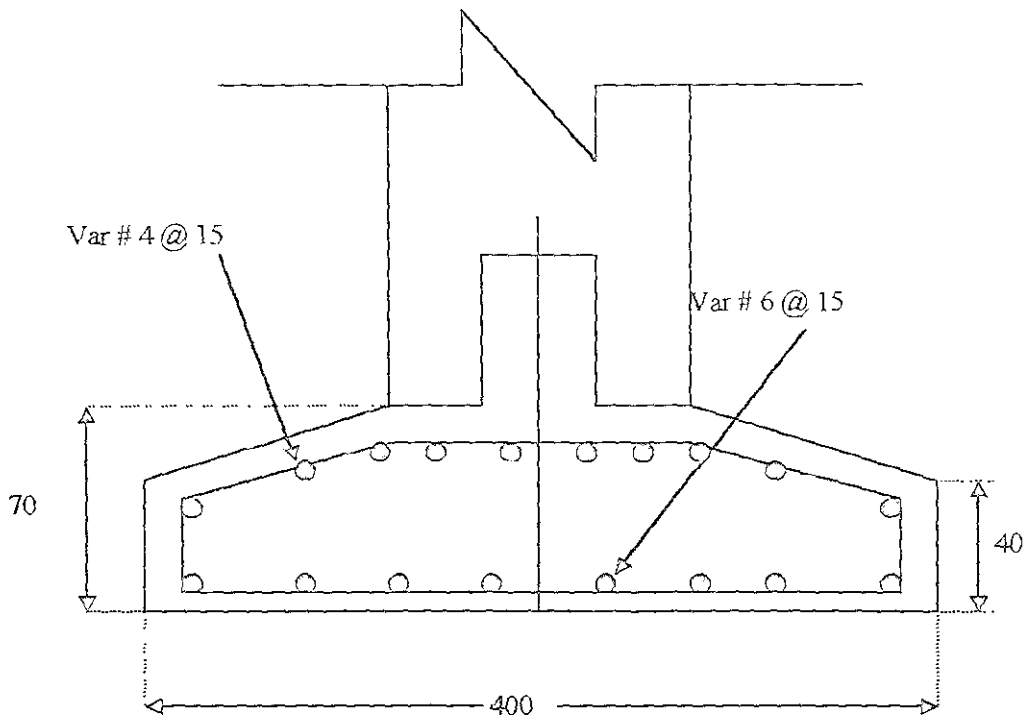
$$A_s = 2203625 / (2000 * 0.9 * 60) = 20.4 \text{ cm}^2 / \text{m}$$

Varillas del # 6 :

$$2.85 * 100 / s \rightarrow s = 13.97 \text{ cm}$$

Por lo tanto se usaran varillas de  $\varnothing 4 @ 15$  cm

\*Podrán usarse varillas del  $\varnothing 6 @ 15$  cm



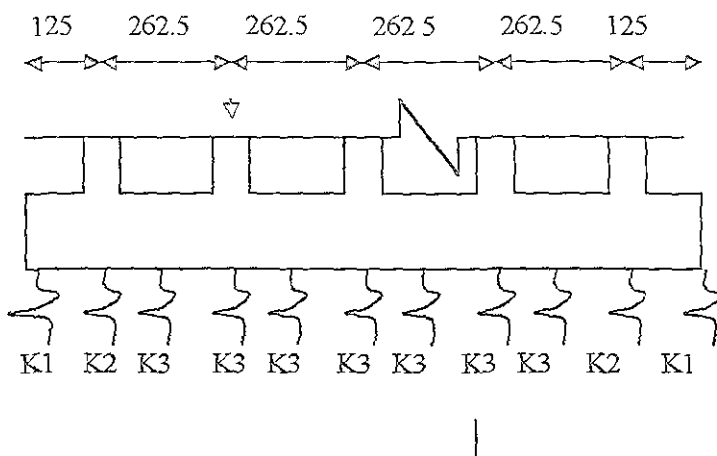
Sentido transversal

El análisis del marco de la pila se realizará en conjunto mediante el programa de análisis STAAD III (ver anexo 3) y para las propiedades del suelo se modelará este mediante resortes

El suelo es predominantemente de tipo lmoso de mediana plasticidad.

Por lo tanto se utiliza un coeficiente de balastro de  $c = 2000 \text{ ton/m}^2$

(rellenos de limo, arena y grava  $c \approx 1000 \text{ a } 2000 \text{ ton/m}^2$ )



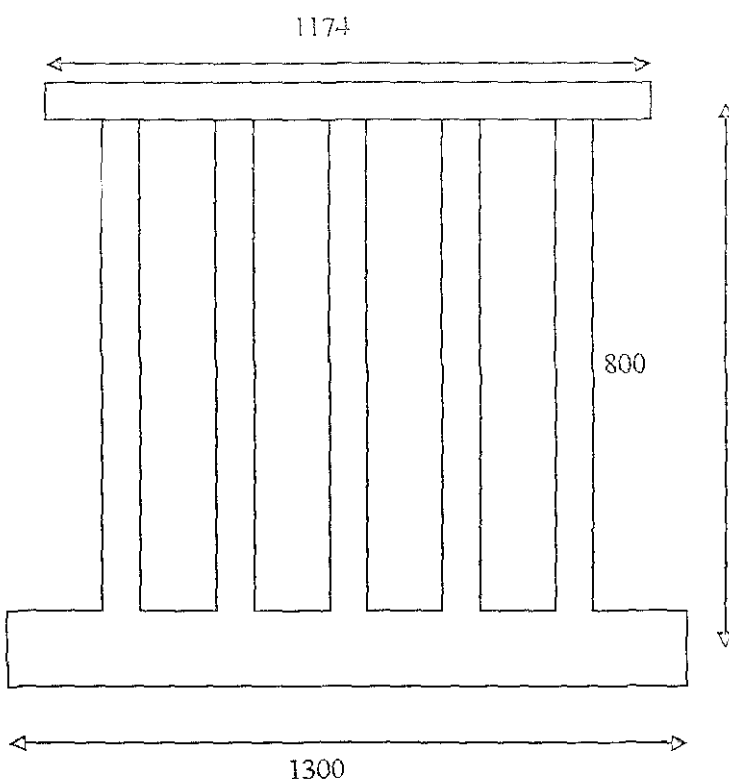
Ancho = 4 m

$$A_{T1} = 2.5 * 2000 = 5000 \text{ ton/m}$$

$$A_{T2} = 5.125 * 2000 = 10250 \text{ ton/m}$$

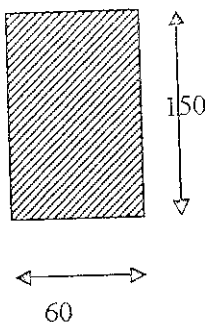
$$A_{T3} = 5.25 * 2000 = 10500 \text{ ton/m}$$

Para el análisis se consideró el siguiente modelo conservador:



Se usarán las cargas ya calculadas aplicadas en los puntos indicados por cada carga y se combinaran de acuerdo a los grupos de carga indicados por AASHTO.

## CONTINUACIÓN



Del anexo 3

$$M_u (+) = 28.59 \text{ ton*m}$$

$$M_u (-) = 10.91 \text{ ton*m}$$

Por flexión :

$$d_{\text{req}} = (2859000 / (13.9 * 60))^{1/2} = 58.5 \text{ cm}$$

Por lo tanto se usara  $d = 140 \text{ cm}$  y  $H = 150 \text{ cm}$

$$f_s = M_p / (f_s p * 0.9 * d_{\text{real}}) \rightarrow 2859000 / (1800 * 0.9 * 140) = 12.61 \text{ cm}^2$$

$$A_s \text{ min. (ACI)} = (14/f_y) * b * d = (14/4200) * 60 * 140 = 28 \text{ cm}^2$$

Por lo tanto se usaran 5 varillas del # 8 y 2 varillas del # 6

$$A_s = 31.05 \text{ cm}^2 > A_s \text{ min.}$$

Por lo tanto esta bien

Diseño por contenido

$$V_{\text{perm}} = 0.075 \times 250 \times 0.9 = 1688 \text{ kg/cm}^2$$

$$V_{\text{act}} = (Vu/\Delta_T) \times 1.5 = (31380/(60 \times 140)) \times 1.5 = 5.6 \text{ kg/cm}^2 < V_{\text{perm}}$$

Por lo tanto esta bien

Se propone usar estribos del # 4; 2 ramas

$$S = j * ((Av * fv * d) / (Vu - Vc))$$

Si conservadoramente  $V_c = 0$

$$S = (0.9 \times 1.27 \times 2 \times 1670 \times 140) / 31380 = 17.03 \text{ cm}$$

Por lo tanto usar estribos del # 4 de 2 ramas @ 15 cm en contratrabe.

### IV.3.2.3 Columnas

Se proponen las siguientes dimensiones 100 x 80 cm

Se revisara para Grupo VII (crítico).

$$\delta_x = 1/(1-(50.72*1000/(0.7*833521))) = 1.10, \text{ usar } \delta_x = 1.20 \quad \left. \begin{array}{l} \text{en todos} \\ \text{los casos} \end{array} \right\}$$
$$\delta_z = 1/(1-(50.95*1000/(0.7*1613470))) = 1.05; \text{ usar } \delta_z = 1.10$$

Elementos mecánicos de diseño.

Por diseñar columnas con criterio ACI se consideran los factores de carga 1.4 para carga muerta y carga viva; y 1.1 para sismo.

Grupo I:

$$P_u = 93.16 * 1.40 = 130.42 \text{ ton}$$

$$M_z = 11.93 * 1.4 * 1.10 = 18.37 \text{ ton*m}$$

$$V_y = 2.79 * 1.40 = 3.91 \text{ ton}$$

Grupo VII (sismo longitudinal):

$$P_u = 50.95 * 1.10 = 56.05 \text{ ton}$$

$$M_z = 10.16 * 1.10 * 1.10 = 12.29 \text{ ton*m}$$

$$M_y = 50.33 * 1.20 * 1.10 = 66.44 \text{ ton*m}$$

$$Vx = 0.81 \times 1.0 = 0.81 \text{ ton}$$

$$Vz = 2.59 + 1 = 2.59 \text{ ton}$$

Grupo VII (sismo transversal)

$$Pu = 50.72 \times 1.10 = 55.79 \text{ ton}$$

$$Mz = 21.80 \times 1.10 \times 1.10 = 26.38 \text{ ton*m}$$

$$My = 15.39 \times 1.20 \times 1.10 = 20.31 \text{ ton*m}$$

$$Vy = 2.08 \times 1.10 = 2.29 \text{ ton}$$

$$Vz = 5.46 \times 1.10 = 6.01 \text{ ton}$$

Las columnas se calcularon con los diagramas de interacción del Instituto de Ingeniería de la UNAM (los diagramas se encuentran localizados en el anexo 3) y se revisaron con la fórmula de Bresler.

Se propone un armado de 32 varillas del # 8

Grupo VII (sismo longitudinal):

$$Pu = 56.05 \text{ ton}$$

$$Mu = (12.29^2 + 66.44^2)^{1/2} = 67.57 \text{ ton*m}$$

$$Vu = (7.49^2 + 2.85^2)^{1/2} = 8.01 \text{ ton}$$

$$c = 100 \cdot 5 + 80 \cdot 108 = 12100$$

$$\left. \begin{array}{l} S_{11} = 15 \text{ cm} \\ d/h = 85/100 = 0.85 \end{array} \right\} \text{Usar gráfica de la figura C-7}$$

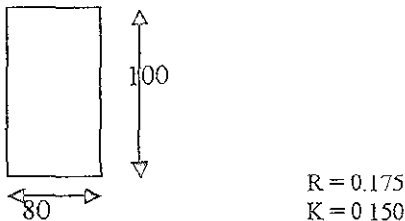
$$f'_c = 250 \text{ kg/cm}^2 \rightarrow f''_c = \beta_1 * f'_c \text{ (para aplicar ACI)}$$

$$\beta_1 = (1.05 - f'_c/1400) \rightarrow (1.05 - 250/1400) = 0.87$$

$$f''_c = 0.87 * 250 = 217.5 \text{ kg/cm}^2$$

$F_R = \phi = 0.70$  para columnas con estribos

$$A_s = 32 * 5.08 = 162 \text{ cm}^2$$



$$\rho = A_s/(b \cdot h) \rightarrow 162.56/(80 \cdot 100) = 0.02032$$

$$\left. \begin{array}{l} q = \rho * 4200 / 217.5 = 0.392 \\ e/h = 121/100 = 1.21 \end{array} \right\} \text{Con estos valores se encuentran los valores } R \text{ y de } K \text{ (usar la gráfica de la figura C-7, ver anexo 3)}$$

$$R = 0.175 \text{ y } K = 0.150$$

Por lo tanto:

$$P_R = 0.15 * 0.70 * 80 * 100 * 217.5 = 182700 \text{ kg} = 182.70 \text{ ton}$$

$$M_R = 0.175 \cdot 0.70 \cdot 80 \cdot 100^2 \cdot 217.5 = 213.15 \text{ ton*m}$$

$$P_R = 182.70 \text{ ton} > P_u = 55.05 \text{ ton}$$

$$M_R = 213.15 \text{ ton*m} \quad M_u = 67.57 \text{ ton*m}$$

Grupo VII (sismo transversal)

$$P_u = 55.79 \text{ ton}$$

$$M_u = (26.38^2 + 20.31^2)^{1/2} = 33.29 \text{ ton*m}$$

$$V_u = (2.29^2 + 6.01^2)^{1/2} = 6.43 \text{ ton}$$

$$e = 33.29 / 55.79 = 0.60 \text{ cm}$$

$$\begin{aligned} \text{Si } r = 15 \\ d/h = 65/80 = 0.81 \approx 80 \end{aligned} \quad \left. \begin{array}{l} \text{Usar la gráfica de la} \\ \text{figura C-8} \end{array} \right\}$$

$$\rho = 162.56 / (80 * 100) = 0.2032$$

$$\begin{aligned} q = 0.392 \\ e/h = 60/80 = 0.75 \end{aligned} \quad \left. \begin{array}{l} \text{Con estos valores, de la tabla C-8} \\ \text{se obtienen los valores de R y K} \end{array} \right\}$$

$$R = 0.18 \quad y \quad K = 0.25$$

Por lo tanto :

$$P_R = 0.25 * 0.70 * 80 * 100 * 217.5 = 304.50 \text{ ton} > P_u = 55.79 \text{ ton}$$

$$M_R = 0.18 * 0.70 * 100 * 80^2 * 217.5 = 175.39 \text{ ton*m} > M_u = 33.29 \text{ ton*m}$$

Ya que la resistencia de la sección de 100 x 80 armada con 32 varillas del # 8

esta sobrada no se requiere no se requiere revisar por la fórmula de Bresler.

## RESUMEN DE LOS CALCULOS

$$v_{\text{REAL}} = (8100 / (80 * 90))^2 * 1.5 = 1.69 \text{ kg/cm}^2$$

$$v_{\text{PERM}} = 16.88 \text{ kg/cm}^2$$

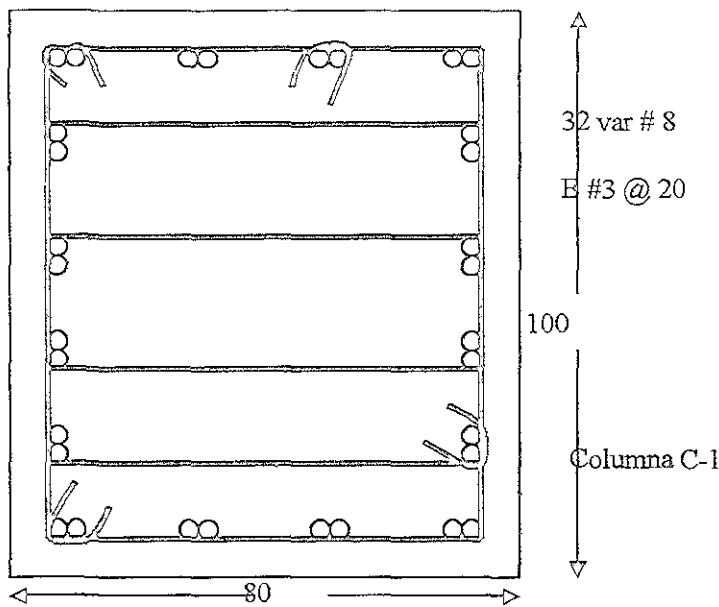
$v_{\text{REAL}} > v_{\text{PERM}}$  Por lo tanto esta bien

Si usamos estribos del # 4 con 4 ramas

$S = (0.9 * 0.71 * 4 * 1687 * 90) / 8100 = 47.91 \text{ cm}$  Se considera que los estribos

toman todo el cortante

Separación máxima de estribos según AASHTO = 30 cm; conservadoramente  
usar estribos del # 3 @ 320 cm



$$V = 3.2 \cdot f_{ck} \cdot A_c \cdot \gamma_{sf} \leq V_{sd}$$

### Elementos mecánicos actuantes

$$M(-) = 18.45 \text{ ton*m} \quad (\text{Grupo VII sismo transversal})$$

$$M(+) = 16.63 \text{ ton*m} \quad (\text{Grupo I})$$

$$V_{\max} = 24.04 \text{ ton} \quad (\text{Grupo I})$$

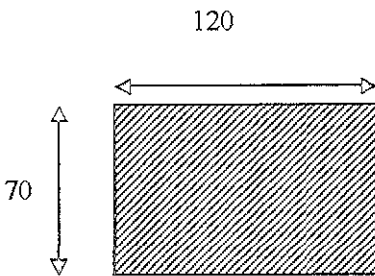
$$\text{Peralte requerido por flexión} \quad (Mu/(K*d))^{1/2}$$

$$d = (1663000/(13.9*120))^{1/2} = 31.57 \text{ cm}$$

$$d_{\text{real}} = 70 - 10 = 60 > d_{\text{req}}$$

Por lo tanto  $d = 60 \text{ cm}$  es correcto.

### Refuerzo por flexión



$$V_u = \sqrt{M} = j\sqrt{\rho * c^2 * I_{xx}}$$

$$V_u = 1643000 * (j800^2 * 120 * 60) = 10.93 \text{ cm}^2$$

$$A_s_{min} = (144200) / 120 * 60 = 24 \text{ cm}^2$$

Por lo tanto usar 6 varillas del # 8 en cada lecho

$$A_s = 6 * (5.07) = 30.42 \text{ cm}^2 > A_{s_{min}} > A_{s_{req}}$$

Refuerzo por cortante

$$v_{perm} = 16.88 \text{ kg/cm}^2$$

$$v_{act} = 24040 * 1.5 / (120 * 60) = 5.00 < v_{perm}$$

Por lo tanto esta bien

Usando estribos del # 3 con 6 ramas

$$S = (j * A_v * f_v * d) / V' ; \quad V' = V_u - V_{CR}$$

Si consideramos conservadoramente

$$V_{CR} = 0.02 * f_c * b * d = 0.02 * 250 * 120 * 60 = 36000 \text{ kg}$$

$$V_{CR} > V_u$$

Por lo tanto no se requiere refuerzo por cortante.

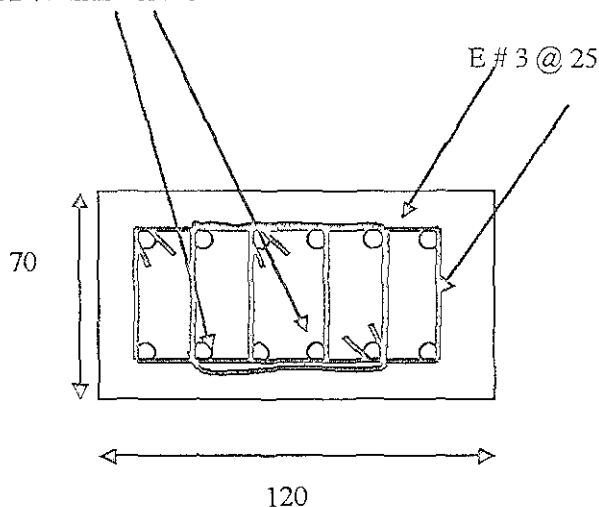
Se considera el factor de seguridad de 1.5 para los estribos

$$S = (0.956 \cdot 0.71 \cdot 1687 \cdot 60) / 15000 = 25.87 \text{ cm}$$

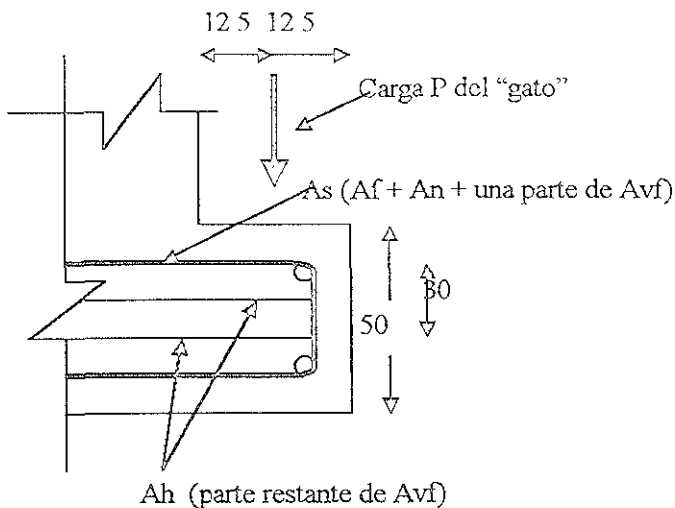
$$S_{\max} = d/2 = 60/2 = 30 \text{ cm}$$

Por lo tanto usar estribos del # 3 con 6 ramas (@) 25 cm

12 varillas del # 8



Ménsoles para "gatos" de izaje



$$P = CM + CVI$$

$$P_{CM} = 3433 + 750 + 5925 + 3620 + 2693 = 16421 \text{ KG}$$

$$P_{CVI} = 20740 \text{ KG}$$

$$\text{Separación de trabes} = 131 \text{ cm}$$

$$\text{Peso ménsoala} = 0.50 * 0.25 * 1.31 * 2400 = 393 \text{ kg}$$

$$P_{TOTAL} = 16421 + 20740 + 393 = 37554 \text{ kg}$$

## Elementos mecánicos de diseño

Para el diseño de la ménsula se seguirá el criterio del ACI por considerarlo más seguro.

$$V_u = 16421 * 1.4 + 20740 * 1.7 + 393 * 1.4 = 58797.6 \text{ kg}$$

$$M_u = (16421 + 393) * 12.5 * 1.4 + 20740 * 1.7 * 12.5 = 734970 \text{ kg} \cdot \text{cm}$$

$$A_{vf} = V_u / (\phi * f_y * \mu)$$

$\mu = 1.0$  para concreto colado contra concreto endurecido con superficie

rugosa

$$A_{vf} = 58797.6 / (0.85 * 4200 * 1) = 16.47 \text{ cm}^2 \text{ (acero para tomar el cortante)}$$

$$V_n = V_u / \phi \rightarrow 58797.6 / 0.85 = 69173.65 \text{ kg}$$

$$\begin{aligned} 0.2 * f_c * b_w * d &= 0.2 * 250 * 131 * 45 = 294750 \text{ kg} \\ 56 * b_w * d &= 56 * 131 * 45 = 330120 \text{ kg} \end{aligned} \quad \left. \begin{array}{l} \\ \end{array} \right\} \geq V_n = 69173.65 \text{ kg}$$

$$A_f = M_u / (\phi * f_y * z)$$

$$M_u = 734970 + N_u * (h - d)$$

$$N_u = \text{Mínima reglamento} = 0.2 * V_u = 0.2 * 58797.6 = 11759.52 \text{ kg}$$

$$V_{ed} = 130 \cdot 10 = 1300 \text{ kN}, S_c = 178 \text{ cm}^2, f_y = 355 \text{ N/mm}^2$$

$$z = 0.85 \cdot d = 0.85 \cdot 45 = 36$$

$$A_f = 793767.6 / (0.85 \cdot 4200 \cdot 36) = 6.18 \text{ cm}^2 \text{ Acero para resistir el momento}$$

$$A_n = N_{ed} / (\phi \cdot f_y) = 11759.52 / (0.85 \cdot 4200) = 3.29 \text{ cm}^2 \text{ Acero para resistir la fuerza horizontal}$$

Ahora :  $A_vf + A_f + A_n$  Deben distribuirse en  $A_s$  y  $A_h$  según se indica.

$$\left. \begin{array}{l} A_f + A_n = 6.18 + 3.29 = 9.47 \text{ cm}^2 \\ 2/3 A_vf + A_n = (2/3) \cdot 16.47 + 3.29 = 14.27 \text{ cm}^2 \text{ Este valor rige} \end{array} \right\}$$

$$A_h = 0.5 \cdot (A_s - A_n) = 0.5 \cdot (14.27 - 3.29) = 5.49 \text{ cm}^2$$

Por lo tanto el refuerzo principal será:

ancho tributario de la ménsula

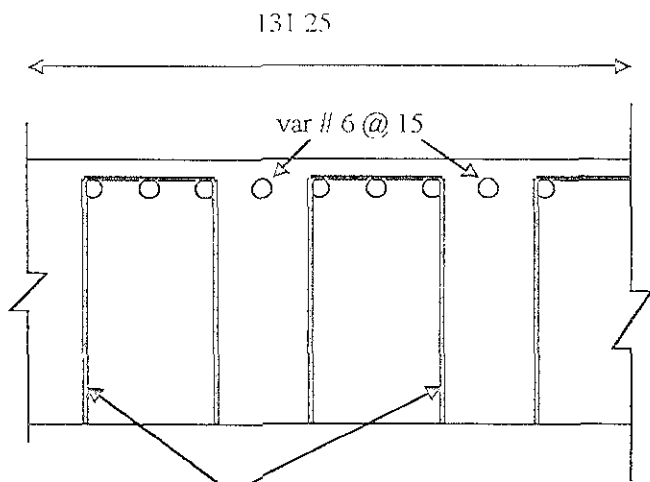
$$\text{Proponiendo 6 varillas del #6 @ 15} \rightarrow A_s = (130/15) \cdot 2.85 = 24.70 \text{ cm}^2$$

$$A_s = 24.70 \text{ cm}^2 > A_s = 14.27 \text{ cm}^2 \quad \text{Por lo tanto esta bien}$$

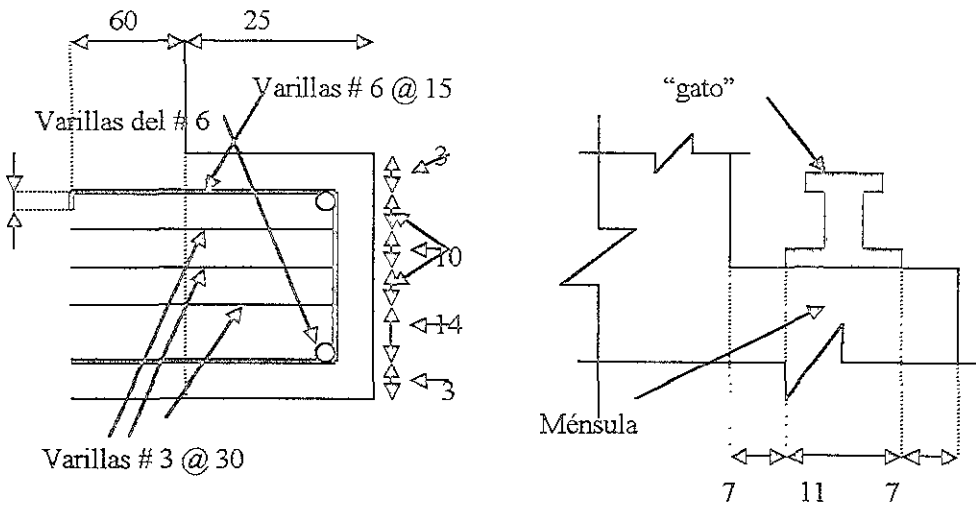
Refuerzo restante :

Proponiendo varillas del #3 @ 30 (3 estribos con 5 ramas)

$$A_s = 0.71 \cdot 5 \cdot 3 = 10.65 \text{ cm}^2 > A_h = 5.49 \text{ cm}^2 \quad \text{Por lo tanto esta bien.}$$



Detalle de mánsula para "gatos"



Apoyos para las trabes de 25.05 m

Se proponen apoyos con las siguientes dimensiones 30 x 30 x 4 1 cm

Se aplicaran las norma francesas del servicio de estudios técnicos de caminos y autopistas (SETRA), adoptadas por la SCT para el cálculo de los apoyos integrales de neopreno

$$\left. \begin{array}{l} V_{CM} = 16421 \text{ kg} \\ V_{CVI+FC} = 20740 \text{ kg} \end{array} \right\} V_{TOTAL} = 37161 \text{ kg}$$

Cargas horizontales:

$$\text{Frenaje: } F = 0.05 * (W_u * L + P) * 0.5 * F.R / (\# \text{ de apoyos})$$

$$W_u = 952 * 4.373 * 0.9 = 3747 \text{ kg/m}$$

$$P = 8165 * 4.373 * 0.9 = 32135 \text{ kg}$$

$$F = 0.05 * (3747 * (25.05 + 12.37) / 2 + 32135) / 9 = 568 \text{ kg/trabe}$$

Viento longitudinal sobre la estructura (esviaje de 60°):

$$\text{Área expuesta: } (0.5 + 0.15 + 1.2) * (25.05 + 12.37) * 0.5 = 34.61 \text{ m}^2$$

$$VLSE = 93 * 34.61 / 9 = 358 \text{ kg/apoyo}$$

$$\text{Sismo: } FSL = (W_{CM} * C / Q) * 1 / (\# \text{ de apoyos} * 9) ; \text{ donde}$$

Por ser los apoyos flexibles considerar  $Q = 2$

$$C = 0.29$$

$$\alpha_{\text{TOTAL}} = \alpha_{\text{CM}}(3) + \alpha_{\text{CVI}} + \alpha_o$$

Giros en el extremo del tramo

Debido a el peso propio v CVI

$$\alpha = W^* L^2 / (24 * I^*) \text{ ó } \alpha = M L / (3 * I^*)$$

$$M_{\text{CM}} = 9646826 \text{ kg*cm}$$

$$M_{\text{CVI}} = 1174200 \text{ kg*cm}$$

$$L = 25.05 \text{ m}$$

$$E = 2039000 \text{ kg/cm}^2$$

$$I = 1359792.8 \text{ cm}^4$$

$$\alpha_{\text{TOTAL}} = \alpha_{\text{CM}}(3) + \alpha_{\text{CVI}} + \alpha_o$$

Para tomar en cuenta deformaciones a largo plazo

Ángulo de giro por posibles defectos constructivos (de tablas)

$$\alpha_{\text{CM}}(3) = 9646826.3 * 25.05 * 3 / (3 * 2039000 * 1359792.8) = .0087 \text{ rad}$$

$$\alpha_{\text{CVI}} = 1174200 * 25.05 / (3 * 2039000 * 1359792.8) = 0.0035 \text{ rad}$$

$$\alpha_o = 0.003 \text{ rad (estructuras metálicas)}$$

Por lo tanto:

$$\alpha_{\text{TOTAL}} = 0.0152 \text{ rad}$$

Deformaciones horizontales:

Por giro debido a la carga muerta:

$$\Delta_{\text{CM}} = \alpha_{\text{CM}}(3) * Y_i = 0.0087 * 87.66 = 0.7626 \text{ cm}$$

Por acción de tracción en el eje de la viga:

$$\Delta_{\text{TR}} = 0.0035 \times 87.00 = 0.31 \text{ cm}$$

Por temperatura

$$\text{Acciones de corta duración } \Delta t_1 = 0.00045 \times (2505/2) = 0.501 \text{ cm}$$

$$\text{Acciones de larga duración } \Delta t_2 = 0.00025 \times 1252.5 = 0.313 \text{ cm}$$

Por contracción de fraguado:

Se adopta el coeficiente que fija AASHTO, dividido entre 3 ya que solo se contrae la losa

$$\Delta_{\text{CON}} = (0.002/3)(2505/2) = 0.835 \text{ cm}$$

Revisión de las dimensiones de los apoyos:

$$F_{\text{perm}} = 100 \text{ kg/cm}^2$$

$$F_{\text{neop}} = V_{\text{total}} / (30 \times 30) = 37161 / 900 = 41.29 \text{ kg/cm}^2 < F_{\text{perm}}$$

Por lo tanto es correcto.

Revisión de la altura de los apoyos:

$$h = H_r - 0.3 * (\# \text{ de placas})$$

$$h = 4.1 - 0.3 * 3 = 3.2 \text{ cm}$$

$$h \geq 2 * (u_1);$$

$u_1$  = Deformación horizontal lenta del conjunto del dispositivo, debida a acciones lentas.

v = el mayor de

$$\text{Contracción } \Delta_{CM} = M_2 - M_{con} = 0.7626 - 0.313 = 0.835 \text{ cm}$$

$$\text{Dilatación } \Delta_{CW} = \Delta_{CWI} + \Delta_{CI} = \Delta_{CON} = 0.7626 + 0.31 = 0.501 = 0.835 = 0.74 \text{ cm}$$

$$\text{Por lo tanto: } u_1 = 0.74 \text{ cm}$$

$$\text{Por lo que } 2^*u_1 = 2^*0.74 = 1.48 \text{ cm}$$

$$h = 3.2 > 2^*u_1$$

Por lo tanto está bien.

Verificación del cortante

$$1) T_{H1} \leq 0.5^*G$$

$$G = 8 \text{ kg/cm}^2; \text{ para neopreno dureza SHORE-60}$$

$$T_{H1} = G^*u_1/h = 8^*0.74/3.2 = 1.85 < 0.5^*8 = 4$$

Por lo tanto está bien

$$2) T_H \leq 0.7^*G; \quad T_H = T_{H1} + T_{H2}$$

$$T_{H2} = H_2/(2^*a^*b); H_2 \text{ la mayor de frenaje, viento o sismo } H_2 = 2381 \text{ kg}$$

$$T_{H2} = 2381/(2^*30^*30) = 1.31$$

$$T_H = 1.85 + 1.32 = 3.17 \text{ kg/cm}^2$$

$$3) T_H \leq 3^*G$$

$$T_H = 1.5 \cdot f_m/F_f; f_m(\max) = N/(a^*b) = 37161/(30^*30) = 41.29 \text{ kg/cm}^2$$

$$F_f = a^*b/(2^*t^*(a+b)) = 30^*30/(2^*1.3^*(30+30)) = 5.77$$

$$T_H = 15 \cdot 41.29 / 5.77 = 10.73 \text{ kg/cm}^2 < 3^*G = 24 \text{ kg/cm}^2$$

Por lo tanto esta bien.

$$4) F_H + T_N = F_a \cdot (1 - 5\%)$$

$$T_g = ((G/2)^2 * (a/l)^2 * \alpha_t), \quad \alpha_t = \alpha_t/n$$

$$n = \# \text{ de placas de neopreno } = h/1.3 = 3.2/1.3 = 2.46$$

$$\alpha_t = 0.0152/2.46 = 0.006$$

$$T_g = 4 * (30/1.3)^2 * 0.006$$

$$T_g = 12.78 \text{ kg/cm}^2$$

$$T = 3.17 + 10.73 \cdot 12.78 = 26.68 \text{ kg/cm}^2 < 40 \text{ kg/cm}^2$$

Por lo tanto esta bien.

Verificación que el apoyo no levanta.

$$3/F_t^2 * (t/a)^2 * (f_m/G) \geq \alpha_T$$

$$\text{Se toma el valor mínimo de } f_m = 16421/(30*30) = 18.25 \text{ kg/cm}^2$$

$$(3/5.77)^2 * (1.3/30)^2 * (18.25/8) = 0.0022 \text{ rad} < \alpha_T = 0.006 \text{ rad}$$

Por lo tanto el apoyo levanta.

Se requiere: Disminuir el área del apoyo, hacer esto implica disminuir el

apoyo a aproximadamente 25 x 25 lo cual seria un apoyo pequeño para la trabe.

Aumentar la altura; para que pasara tendría que aumentarse hasta 7.3 cm aproximadamente lo cual daría apoyos muy altos y

Considerando los aspectos de estabilidad

Se opta por dejar los apoyos de  $30 \times 30 \times 4$  l y permitir que levanten en alguno de sus extremos con lo que aumentaría el esfuerzo sobre el apoyo al disminuir el área de contacto, pero al estar muy sobrados el incremento estaría dentro de lo permisible

Por lo tanto se acepta

Verificación de que no desliza.

$$1) f_m (\text{mín.}) \geq 20 \text{ kg/cm}^2$$

$$18.25 \text{ kg/cm}^2 \geq 20 \text{ kg/cm}^2$$

Por lo tanto esta bien.

$$2) f_r^*(N) \geq H,$$

$$H = 2381.05 \text{ kg (sismo)}$$

$$f_r = 0.10 + (0.60/f_r(\text{mín.})) = 0.10 + (0.60/18.25) = 0.1329$$

$$N = 16421 \text{ kg}$$

Por lo tanto

$$0.1329 * 16421 = 2182.4 \text{ kg} < 2381.05 \text{ kg}$$

Se acepta considerando las hipótesis conservadoras para el cálculo del sismo, aun así se dispondrá de un aditamento para evitar el deslizamiento de los apoyos

### Verificación por ruedas

$$a = 10 \quad h = a/5, \quad h = 3.2 \text{ cm} \quad a = \text{lado corto} = 30 \text{ cm}$$

$$30/10 = 3 < 3.2 = 30/5 = 6$$

Por lo tanto esta bien

### Verificación por deformación de compresión.

$$c_T \leq 0.07 * h$$

$$c_T = \Delta e_T + 0.10$$

$$\Delta e_T = k_{ln} * t^3 * (f_m - 30) / (a^2 * G);$$

$$\text{Para } b/a = 30/30 = 1$$

$$K_I = 2.37 \rightarrow \text{De tablas}$$

$$\Delta e_T = 2.3 * 2.46 * 1.3^3 (41.29 - 30) / (30^2 * 8) = 0.019 \text{ cm}$$

$$e_T = 0.019 + 0.10 = 0.119 \text{ cm} < 0.007 * 3.2 = 0.224 \text{ cm}$$

Por lo tanto esta bien

Por lo que se aceptan apoyos de 30 x 30 x 4.1 cm, apoyos integrales de

neopreno dureza SHORE-60, ASTM D-2240, para apoyar las trabes de 25.05

m de claro.

Aplicación de los criterios de RPT

Se proponen secciones de  $22.5 \times 22.5 \times 4.1$

$$\left. \begin{array}{l} V_{CM} = 7699 \text{ kg} \\ V_{CVI+PC} = 24920 \text{ kg} \end{array} \right\} V_{TOTAL} = 32619 \text{ kg/apoyo}$$

Frenaje

$$F = 0.05 * (4163 * 13.27 + 32135) * .5 * .9 / 9 = 209.078 \text{ kg/apoyo}$$

Sismo:

$$FSL = (7699 * 9 * 0.29 / 2) / 9 = 0.1116.35 \text{ kg/apoyo}$$

Giros en el extremo del claro:

$$\alpha = ML / (3 * E * I)$$

$$I = 1234669 \text{ cm}^4$$

$$E = 2039000 \text{ kg/cm}^2$$

$$L = 12.37 \text{ m}$$

$$M_{CM} = 1557176.4 \text{ kg*cm}$$

$$M_{CVI} = 6065000 \text{ kg*cm}$$

$$\alpha_{CM}(3) = 1557176.4 * 1237 * 3 / (3 * 2039000 * 1234669) = 0.0008 \text{ rad}$$

$$\alpha_{CVI} = 6065000 * 1237 / (3 * 2039000 * 1234669) = 0.0009 \text{ rad}$$

$$\alpha_{\text{CM}} = 0.001^2 \text{ rad}^{-1} \rightarrow 0.001 \text{ rad/s}$$

$$\alpha_{\text{TOTAL}} = 0.004 \text{ rad}$$

## Deformaciones horizontales

$$\Delta_{\text{CM}} = \alpha_{\text{CM}} (3) * 92.39 + 0.0008 * 92.39 = 0.074 \text{ cm}$$

$$\Delta_{\text{CVI}} = 0.0009 * 92.39 = 0.083 \text{ cm}$$

$$\Delta t_1 = 0.0004 * (1237/2) = 0.2474 \text{ cm}$$

$$\Delta t_2 = 0.00025 * (618.5) = 0.1546 \text{ cm}$$

$$\Delta_c = (0.002/3) * (1237/2) = 0.41 \text{ cm}$$

## Revisión de dimensiones:

$$f_{\text{NEOP}} = 32619 / (22.5 * 22.5) = 64.43 \text{ kg/cm}^2$$

$$f_{\text{PERM}} = 100 \text{ kg/cm}^2 > f_{\text{perm}}$$

Por lo tanto esta bien

## Revisión de altura de apoyos:

$$h = H_r = 0.3 * (\# \text{ de placas})$$

$$h = 4.1 - 0.3 * 3 = 3.2 \text{ cm}$$

$$h \geq 2 * u_1$$

$$\text{Volumen} = A_{\text{v}} \cdot V = A_{\text{v}} \cdot h = 0.18 \cdot 3.2 = 0.576 \text{ m}^3$$

$$\text{Dilatacion } (\Delta_{\text{CM}} + \Delta_{\text{CV}} + \Delta_{\text{H}} + \Delta_{\text{CO})} = 0.074 + 0.083 + 0.247 = 0.304 \text{ cm}$$

$$u_1 = 0.49 \quad 3.2 \approx 2 * 0.49 = 0.98 \text{ cm}$$

Por lo tanto esta bien

Verificación del cortante:

$$1) T_{\text{H1}} \leq 0.5 * G$$

$$T_{\text{H1}} = G * u_1 / h = 8 * 0.49 / 3.2 = 1.225 < 0.5 * 8 = 4 \quad \text{Por lo tanto es correcto}$$

$$2) T_{\text{H}} \leq 0.7 * G$$

$$T_{\text{H1}} = T_{\text{H1}} + T_{\text{H2}}$$

$$T_{\text{H2}} = H_2 / (2 * a * b); H_2 \text{ es la mayor de viento frenaje o sismo} = 1116.35 \text{ kg}$$

$$T_{\text{H}} = 1.225 + 1.103 = 2.328 \text{ kg/cm}^2 < 0.7 * 8 = 5.6 \text{ kg/cm}^2$$

Por lo tanto es correcto

$$3) T_{\text{N}} \leq 3 * G;$$

$$T_{\text{N}} = 1.5 * f_{\text{m(max)}} / F_f; f_{\text{m(max)}} = 32619 / (22.5 * 22.5) = 64.43 \text{ kg/cm}^2$$

$$F_f = a * b / (2t * (a + b)) = 22.5 * 22.5 / (2 * 1.3 * (22.5 + 22.5)) = 4.33 \text{ kg/cm}^2$$

$$T_{\text{N}} = 1.5 * 64.43 / 4.33 = 22.32 \text{ kg/cm}^2 \leq 3 * 8 = 24 \text{ kg/cm}^2$$

Por lo tanto esta bien

$$4) T_{\text{H}} + T_{\text{N}} + T_g = T \leq 5G$$

$$T_g = (G/2) * (a/t)^2 * \alpha_t; \alpha_t = \alpha_T / n; n = h/1.3 = 3.2/1.3 = 2.46$$

$$\alpha_T = 0.005 \geq 4.1 = 0.0025 \text{ da}$$

$$f_g = F(22.5 + 3)^2 \cdot 0.00203 = 2.13 \text{ kg/cm}^2$$

$$T = 2.328 + 22.32 + 2.43 = 27.078 \text{ kg/cm}^2 = 40 \text{ kg/cm}^2$$

Por lo tanto es correcto

Verificación de que el apoyo no levanta:

$$(3/FI) * (t/a)^2 * (f_m)_{\min}/G \geq \alpha_T$$

$$f_m_{\min} = 7699/(22.5 * 22.5) = 15.21 \text{ kg/cm}^2$$

$$(3/4.33) * (1.3/22.5)^2 * (15.21/8) = 0.0044 < \alpha_T = 0.005$$

Por lo tanto el apoyo levanta

Se opta por dejar los apoyos de  $22.5 \times 22.5 \times 4.1$  y permitir que levanten en unos de sus extremos, con lo que aumentara el esfuerzo sobre el apoyo al disminuir el área de contacto, pero al estar muy sobrados el incremento estará dentro de lo permisible.

Por lo tanto se acepta.

Verificación de que el apoyo no desliza.

$$1) f_m_{\min} \geq 20 \text{ kg/cm}^2$$

$$f_m_{\min} = 15.21 < 20 \text{ kg/cm}^2$$

Por lo tanto no cumple

$$f_m = \frac{F}{A} = \frac{P}{A} = \frac{W}{A} = \frac{mg}{A}$$

$$f_m = 0.7(1 - 0.001 fm_{\text{max}}) = 0.10 - 0.0015 fm^2 = 0.1394 \text{ N} = 70.6 \text{ kg}$$

$$fm \approx 0.1394/70.6 = 1.9324 \text{ kg} < 1.1635 \text{ kg}$$

Por lo tanto no cumple.

Se proveerá de dispositivos para evitar el deslizamiento de los apoyos de neopreno

Verificación por pandeo:

$$22.5/10 = 2.25 < 3.2 < 22.5/5 = 4.5$$

Por lo tanto es correcto.

Verificación por deformación de compresión.

$$e_T \leq 0.07 h \quad e_T = \Delta et + 0.10$$

$$\Delta et = k_1 * n * t^3 (fm_{\text{max}} - 30) / (a^2 * G)$$

$$\text{Para } b/a = 22.5/22.5 = 1 \rightarrow K_1 = 2.27$$

$$\Delta et = 2.37 * 2.46 * 1.3^3 (64.43 - 30) / (22.5^2 * 8) = 0.1089 \text{ cm}$$

$$e_T = 0.1089 + 0.10 = 0.2089 \text{ cm}$$

$$\Delta et = 0.2089 < 0.07 * 3.2 = 0.224 \text{ cm} \quad \text{Por lo tanto es correcto.}$$

Por lo tanto usar apoyos integrales de neopreno, dureza SHORE-60 ASTM D-2240 de 22.5 x 22.5 x 4.1 cm para apoyos de tráves de 12.37 m.

## V Cumplimiento

### V.1 Catálogo de conceptos

El análisis que se describe es únicamente de un cuerpo como ejemplo, el otro se calcula de manera similar

Limpieza, trazo y nivelación

$$(9+106.875) - (8+567.302) = 539.573$$

$$\text{área} = 539.573 * 12 = 6474.876 \text{ m}^2$$

Excavación

$$\begin{aligned} 539.573 - 49.71 &= 489.86 \\ 489.86 * 12 * 1.5 &= 8997.48 \\ 5 * 14 * 2 * 2 &= 280 \end{aligned} \quad \left. \right\} \quad \text{Vol}_{\text{TOTAL}} = 280 + 8997.48 = 9097.48 \text{ m}^3$$

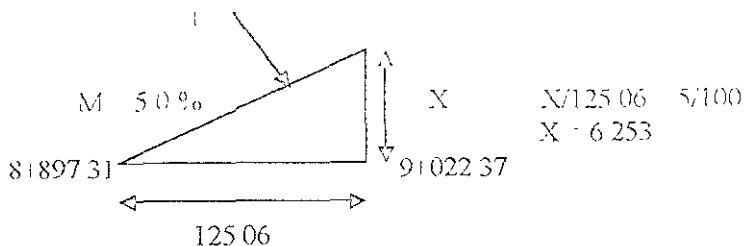
Relleno

$$(12 * 489.86) * 0.5 = 2939.16 \text{ m}^3$$

Acarreo

$$280 + 8997.48 = 9097.48 \text{ m}^3$$

Entrepisos

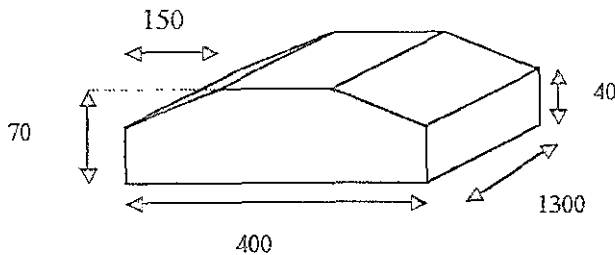


Los paramentos que se utilizaran son 3:

$$\text{Vol} = 6.253 * 35 * 14 + ((125.06 * 6.253) / 2) * 14 = 8538 \text{ m}^3$$

$$\text{Vol}_{\text{TOTAL}} = 8538 * 2 = 17076 \text{ m}^3$$

Zapata



$$1.5 * 0.3 / 2 = 0.225 * 2 = 0.45 \text{ m}^2$$

$$4.0 * 0.7 = 2.8 \text{ m}^2$$

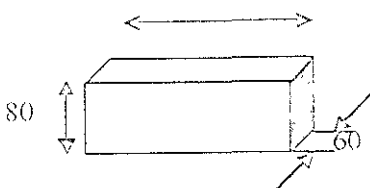
$$\text{área} = 2.8 - 0.45 = 2.35 \text{ m}^2$$

$$\text{Vol.} = 2.35 * 13 = 30.55 \text{ m}^3$$

$$\text{Vol}_{\text{TOTAL}} = 30.55 * 2 = 61.10 \text{ m}^3$$

Cortadobce

130



$$\text{Vol.} = 0.80 \times 0.60 \times 13 \times 2 = 13.44 \text{ m}^3$$

Cimbrado

$$A_1 = 235 \times 2 + 0.4 \times 13 \times 2 + 13 \times 2 \times (1.5^2 + 0.3^2)^{1/2}$$

$$A_1 = 54.87$$

$$A_2 = 0.8 \times 0.6 \times 2 + 0.8 \times 13 \times 2$$

$$A_2 = 21.76 \text{ m}^2$$

$$A_T = 54.87 + 21.76 = 76.63 \times 2 = 153.26 \approx 154 \text{ m}^2$$

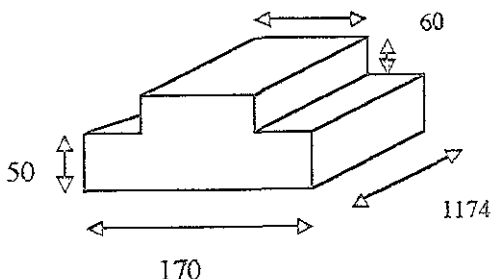
Columnas

$$\text{Vol} = 1.0 \times 0.8 \times 6.6 = 5.28$$

$$\text{Vol}_{\text{TOTAL}} = 5.28 \times 10 = 52.8 \text{ m}^3$$

Cabezal

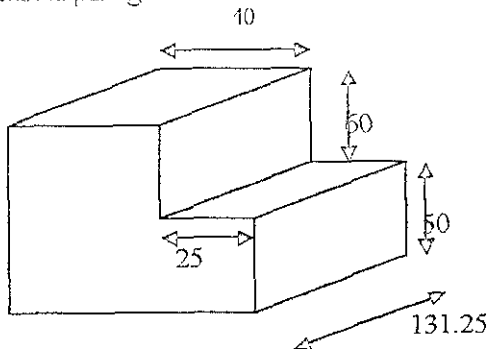
120



$$\text{Vol} = 1.7 \times 0.5 \times 11.74 + 11.74 \times 0.6 \times 1.2 = 18.43 \text{ m}^3$$

$$V_{\text{cubos}} = 18 \times 3 \times 2 = 108 \text{ m}^3$$

Mánsula para gatos



$$Vol = (0.4 \times 0.6 + 0.5 \times 0.65) \times 1.3125 = 0.7416$$

$$Vol_{\text{TOTAL}} = 0.7416 \times 18 = 13.3488 \text{ m}^3$$

Losa

$$\text{área} = (2 \times 11.87 + 25.05) \times 12 = 585.48 \text{ m}^2$$

$$Vol = 585.48 \times 0.15 = 87.82 \text{ m}^3$$

Guarniciones

$$Vol = 0.2 \times 0.25 \times (11.87 \times 2 + 25.05) \times 2 = 4.879 \text{ m}^3$$

Banquetas

$$Vol = 0.3 \times 0.75 \times (11.87 \times 2 + 25.05) \times 2 = 21.96 \text{ m}^3$$

Estríbos

$$Vol = (2.00 \times 14.00 \times 0.40) \times 2 = 22.40 \text{ m}^3$$

Trabes T-1

18 piezas

Trabes T-2

18 piezas

Orejas de izaje para trabes T-1

18 piezas

Orejas de izaje para trabes T-2

36 piezas

Conectores de cortante de trabes T-1

1296 piezas

Conectores de cortante de trabes T-2

666 piezas

Barandal

$$(11.87*2+25.05)*2+(35+40+125.22)*4 = 898.46 \text{ m}$$

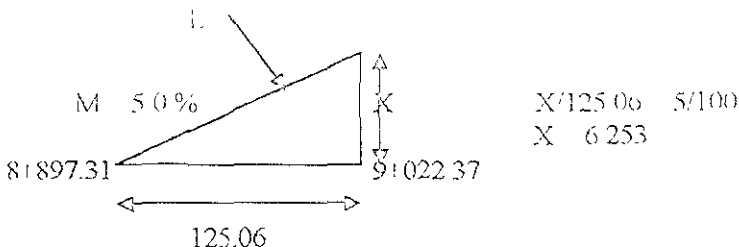
Apoyos de neopreno de 30\*30\*4.1 cm

18 piezas

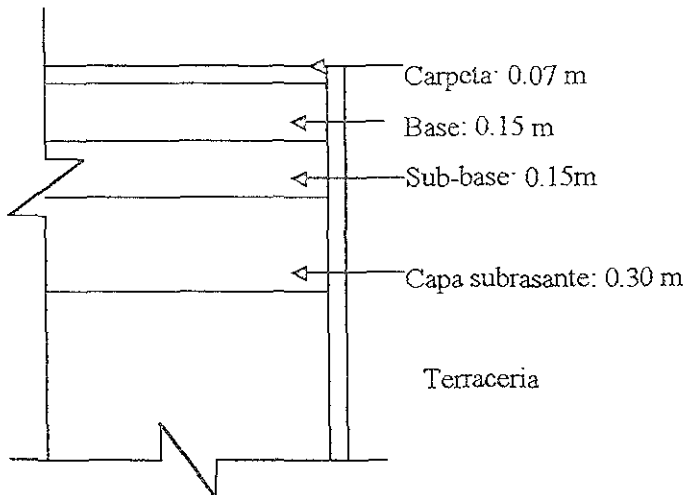
Apoyos de neopreno de 22.5\*22.5\*4.1

36 piezas

## Lavaventaderos



$$L = (125.06^2 + 6.253^2)^{1/2} = 125.22 + 40.35 \approx 200.22 \text{ m}$$



$$\text{Carpeta} = 0.07 * 200.22 * 12 + (11.87 * 2 + 25.05) * 12 * 0.07 = 209.17 \text{ m}^3$$

$$\text{Base} = 0.15 * 200.22 * 12 = 360.39 \text{ m}^3$$

$$\text{Sub-base} = 0.15 * 200.22 * 12 = 360.39 \text{ m}^3$$

$$\text{Capa subrasante} = 0.30 * 200.22 * 12 = 720.79 \text{ m}^3$$

Clave	Descripción	Unidad	Cantidad
0100	Trabajos preliminares		
0101	Limpieza, trazo y nivelación del terreno	m <sup>2</sup>	6475
0102	Excavación a mano o máquina, medido en banco.	m <sup>3</sup>	9097
0103	Relleno y compactación con pisón manual o compactador mecánico, incluye suministro de material y acarreo de una estación.	m <sup>3</sup>	2939
0104	Acarreo de tierra a una estación, incluye la carga del material, el volumen será medido en banco.	m <sup>3</sup>	9097
0105	Construcción de terraplenes mecánicamente estabilizados.	m <sup>3</sup>	10948
0200	Cimentación		
0201	Zapas de concreto hidráulico, clase I y $f'c = 250 \text{ kg/cm}^2$ , incluye curado, vibrado y acarreo.	m <sup>3</sup>	61

0202	Cimentación de concreto o dímero en clase y $f'c = 250 \text{ kg/cm}^2$ , incluye curado, vibrado y acarreo	$\text{m}^3$	14
0203	Cimbra acabado aparente en elementos de cimentación habilitación y descimbrado.	$\text{m}^2$	154
0300	Estructura de concreto		
0301	Columnas de concreto hidráulico, clase I  y $f'c = 250 \text{ kg/cm}^2$ , incluye curado, vibrado, acarreo, cimbrado, descimbrado y armado  según planos.	$\text{m}^3$	53
0302	Cabezal de concreto hidráulico, clase I  y $f'c = 250 \text{ kg/cm}^2$ , incluye curado, vibrado, acarreo, cimbrado, descimbrado y armado  según planos.	$\text{m}^3$	37
0303	Ménsula para “gatos” de concreto hidráulico, clase I y $f'c = 250 \text{ kg/cm}^2$ , incluye curado, vibrado, acarreo, cimbrado, decimbrado y armado según planos.	$\text{m}^3$	14

0305	Taza de concreto hidráulico de 15 cm de espesor, y armado según planos y especificaciones, incluye curado, vibrado acarreo, cimbrado y descimbrado	$m^3$	88
0306	Banquetas de concreto hidráulico, clase I y $f'c = 150 \text{ kg/cm}^2$ , incluye curado, vibrado y acarreo; y armado según planos.	$m^2$	22
0307	Estríbos de concreto hidráulico, clase I y $f'c = 250 \text{ kg/cm}^2$ , incluye armado según planos, curado, vibrado, acarreo, cimbrado y descimbrado.	$m^3$	23
0400	Estructura metálica		
0401	Trabes T-1, incluye materiales, soldadura de uniones, transporte, pintura, montaje y nivelación según planos.	pieza	9
0402	Trabes T-2, incluye materiales, soldadura de uniones, transporte, pintura, montaje y nivelación según planos.	pieza	18

0403	Orejas de izaje para trábes T-1, incluye materiales, soldadura de uniones, transporte, pintura, montaje y nivelación según planos.	pieza	18
0404	Orejas de izaje para trábes T-2, incluye materiales, soldadura de uniones, transporte, pintura, montaje y nivelación según planos.	pieza	36
0405	Conectores de cortante para trábes T-1, incluye materiales, soldadura de uniones, transporte, montaje, pintura y nivelación según planos.	pieza	1296
0406	Conectores de cortante para trábes T-2, incluye materiales, soldadura de uniones, transporte, montaje, pintura y nivelación según planos.	pieza	666
0407	Fabricación de Barandal según planos, incluye materiales transporte colocación y pintura.	m	899

0501	Apoyos de Neopreno de Neopreno.			
0501	Apoyos de Neopreno de 30 x 30 x 4.7 cm			
	Incluye, suministro, colocación y			
	Transporte.	pieza	18	
0502	Apoyos de Neopreno de 22.5 x 22.5 x 4.1			
	cm. Incluye, suministro, colocación y			
	Transporte.	pieza	36	
0600	Pavimentación.			
0601	Carpeta, incluye material, transporte,			
	colocación y pintura.	m <sup>3</sup>	209	
0602	Base, incluye material, transporte,			
	colocación y compactado.	m <sup>3</sup>	360	
0603	Sub-base, incluye material, transporte,			
	colocación y compactado	m <sup>3</sup>	360	
0604	Capa subrasante, incluye material,			
	transporte, colocación y compactado.	m <sup>3</sup>	721	

### V.1.3 Elementos que incluye

- Levantamiento topográfico
- Trazo del puente.
- Fabricación de tráves y barandales
- Excavaciones: Para cimentación y para terraplenes
- Construcción de terraplenes.
- Construcción de zapatas
- Construcción de contratráves.
- Construcción de columnas.
- Construcción de cabezales.
- Construcción de estribos.
- Colocación de apoyos de neopreno.
- Colocación de tráves
- Colado de losa
- Pavimentación.
- Colocación de barandales.
- Pintura general.

V. 2. Programación

Meses

Descripción	1	2	3	4	5	6
Trazo y nivelación						
Fabricación de trábes						
Fabricación de apoyos de neopreno						
Excavación de cimentación						
Excavación de terraplenes						
Construcción de terraplenes						
Construcción de estribos						
Construcción de zapatas y contratrábe						
Construcción de columnas						
Construcción de cabezales.						
Colocación de trábes						
Colado de losa						
Pavimentación						
Fabricación de barandal						
Colocación de barandal						
Pintura general						

### VII.1 Especificaciones

El diseño del puente se realizo conforme a las especificaciones "ASHTO-SCT" para puentes carreteros, así como en ciertos casos, cuando se consideró más seguro, se aplico lo indicado por el "ACI-318"- 1983, El Manual de Diseño de Obras Civiles de la Comisión Federal de Electricidad edición 1993 y para el cálculo de los apoyos integrales de neopreno Las Normas Francesas del Servicio de Estudios Técnicos de caminos y Autopistas (SETRA) adoptados por la S.C.T.

Así también se consideran las conclusiones del estudio de mecánica de suelos (ver anexo 1) que recomienda usar un coeficiente sísmico  $c = 0.29$  indicando además que el terreno es similar al que corresponde a la zona de transición o zona II de la Ciudad de México.

Por lo tanto de acuerdo a lo anterior la clasificación de la estructura para análisis sísmico es:

TERRENO

TIPO II

ZONA SISMICA	NIVEL
ESTRUCTURA	GRUPO X (DPOZ)
Q longitudinal	2
Q transversal	3
C	0.29

La estructura (puente) se diseño tomando en cuenta tres carriles, dos considerando carga HS-20 y el tercero con carga T3-S2-R4, según indican las especificaciones “AASHTO- SCT” para carreteras tipo “A”.

Las acciones que se consideraron para el diseño fueron: carga muerta (CM), Carga viva más impacto (CVI), Fuerza longitudinal por la carga viva (Frenaje F), Viento longitudinal sobre la estructura (VLE), Viento transversal sobre la estructura (VTE), Viento longitudinal sobre la carga viva (VLCV), Viento transversal sobre la carga viva(VTCV), sismo longitudinal.(SL) y Sismo transversal (ST) Para el diseño estas fuerzas se combinaron de acuerdo a los grupos de carga I, III y VII indicados por las “AASHTO”.

Este diseño de pilas se considera adecuado porque cumple con la capacidad de carga de 170 ton/m<sup>2</sup> que es la que indica el estudio de mecanica de suelos (ver anexo 1)

Para realizar el análisis estructural de las pilas bajo las acciones indicadas anteriormente se utilizó el programa “STAAD III” (ver anexo3)

## Descripción

Serán de concreto armado, con un área mínima de acero de refuerzo de 0.002 del área de concreto ( $f'_c = 250 \text{ kg/cm}^2$ ,  $f_y = 4200 \text{ kg/cm}^2$ ), con una tolerancia en cualquier dimensión y en su posición (Vertical y horizontal) de  $\pm 0.5 \text{ cm}$  y 1% con respecto a la vertical. Con objeto de uniformar los accesos a todos los puentes los paneles tendrán la cara visible lisa y las siguientes dimensiones aproximada altura = 0.60 m; longitud = 0.90 m, y un espesor que resista los requerimientos mecánicos, lo cual deberá demostrar el concursante en su proposición. Cualquier elemento metálico de anclaje para fijar los paneles al terraplén será protegido contra la corrosión con una capa de galvanizado en zinc por inmersión en caliente con un espesor mínimo de 86  $\mu\text{m}$  o con pintura epóxica de 450 de 450  $\mu\text{m}$  mínimo de espesor, los recubrimientos de P.V.C. no se aceptarán. Cualquier panel que no cumpla con estas tolerancias o sea dañado será rechazado antes de colocar y reemplazado si se mueve fuera de estas tolerancias después de construido el terraplén.

Los materiales para la construcción de estos muros y la construcción de ellos deberán cumplir con las especificaciones vigentes de la “Secretaría de Comunicaciones y Transportes” relacionadas con este concepto. Todos los

los normas de "The American Association of Highway and Transportation Officials", (A.A.S.H.T.O.), edición 1996, sección 5 Retaining Walls (Muros de retención) en el apartado 5.8, "Mechanical Stabilized Earth Walls (Muros mecánicamente estabilizados). Igualmente deberán cumplir con las normas del "U S Department of Transportation" (D. O. T.) establecidas en el reporte técnico FHWA-SA-96-072. Cualquier panel que no cumpla estas especificaciones será rechazado antes de colocar o se reemplazará si ya está colocado.

#### Alcance:

Este concepto incluye el suministro de los paneles; el uso de los equipos de montaje; todos los almacenajes, maniobras y transportes, tanto locales como a distancia ; plantillas y/o zapatas de cimentación; la colocación de los paneles a cualquier altura; obras falsas y andamiajes; cualquier clase de desperdicios, las reposiciones o reemplazos de los paneles defectuosos o mal colocados; todos los gastos necesarios hasta la correcta colocación de los paneles y las limpiezas parciales y final de la obra. Incluirá también el cargadero (losa y muro) para apoyar las trabes de la superestructura. Los concursantes entregarán, junto con su propuesta, las memorias de cálculo y los proyectos correspondientes para el sistema de paneles del sistema de muros que

preferirán utilizar el tablón de ciego o el muro frontal que tienen las veces de estribo

#### Forma de medición

La medición de los paneles de recubrimiento de los terraplenes se hará por unidad de obra terminada por metro cuadrado colocado, aproximando al décimo de metro cuadrado

Terraplenes mecánicamente estabilizados.

#### Descripción:

Los terraplenes se compactarán, en capas sensiblemente horizontales, al 90% de la prueba Proctor Modificada en el cuerpo del terraplén y la capa subrasante (los 30 cm superiores del terraplén) al 95% de la misma prueba. Para el refuerzo del terraplén, dentro de la masa del suelo del macizo, solamente se admitirán mallas electrosoldadas de acero, geomallas y polímeros en refuerzos extendibles. Los refuerzos metálicos (mallas electrosoldadas, barras o soleras) se protegerán contra la corrosión con una capa de galvanizado de zinc por inmersión en caliente con un espesor mínimo de 86  $\mu\text{m}$  o con pintura epóxica de 450  $\mu\text{m}$  mínimo de espesor, los recubrimientos de P. V. C. no se aceptarán. Cualquier refuerzo que sea dañado

carácter de los servicios de acuerdo con las necesidades en el momento de su ejecución, sin perjuicio de la ejecución totalidad

Los materiales para la construcción de los terraplenes y la construcción de ellos deberán cumplir con las especificaciones vigentes de la "Secretaría de Comunicaciones y Transportes" relacionadas con este concepto. Todos los terraplenes también deberán cumplir con las normas de la "American Association of Highway and Transportation Officials", (A.A.S.H.T.O), edición 1996, sección 5: Retaining Walls (Muros de retención) en el apartado 5.8, "Mechanical Stabilized Earth Walls (Muros mecánicamente estabilizados). Igualmente deberán cumplir con las normas del "U.S Department of Transportation" (D.O.T.) establecidas en los reportes técnicos FHW-SA-96-071 Y FHWA-SA-96-072. En caso de los refuerzos del terraplén con polímeros o geomallas es muy importante que cumplan con las normas que se mencionan en estas normas relativas a degradación química y bacteriológica para muros mecánicamente estabilizados.

#### Alcance:

Este concepto incluye el suministro de los materiales, la apertura y la conservación de los caminos de acceso al banco o a los bancos; los desmontes y despalmes necesarios; el acarreo y colocado de los materiales resultado de las dos operaciones anteriores en los sitios y forma ordenados por el

La presentación de memoria o cargo, en los términos establecidos para el presente concurso, incluirá:  
los tiempos de los equipos de transporte durante las maniobras, cargas,  
descargas y demoras en el tránsito o desviaciones, cualquier clase de  
desperdicio, el suministro y transporte del agua de compactación, la  
incorporación del agua de compactación; el mezclado, tendido y compactación  
de los terraplenes al grado especificado; todos los afines, escarificaciones y  
rastreos; los reemplazos de los refuerzos dañados y todos los gastos necesarios  
hasta la correcta terminación de los terraplenes

Los concursantes entregarán las memorias de cálculo y los proyectos  
correspondientes para el sistema de muros que pretendan utilizar, para ello  
entregarán junto con su propuesta, los siguientes documentos:

- Elevaciones y plantas.
- Detalle.
- Procedimientos de construcción.
- Diseño y armado de los cargaderos que soportan las trabes del puente.
- Especificaciones de los materiales a utilizar.
- Memoria de cálculo representativa, detallándose lo siguiente: variables  
utilizadas en los diseños; resultados de esfuerzos de operación, tensión  
y adherencia; niveles de esfuerzos de acuerdo a las normas

presiones de contacto de los muros.

Se detallará en especial el proyecto de la zona frontal donde los muros mecánicamente estabilizados funcionan como estribos que reciben la carga de la superestructura.

Para las memorias de cálculo y proyectos mencionados los concursantes considerarán un coeficiente sísmico de 28 g, zona sísmica B2, en suelo tipo II, y además un factor de incremento de 1.5 debido a la importancia de la obra.

Forma de medición.

La medición de los terraplenes se hará por unidad de obra terminada en el terraplén, dentro de las líneas de proyecto, por metro cúbico colocado y compactado, aproximando al décimo de metro cúbico.

## V-1.2 Materiales

### Materiales utilizados

1. Concreto hidráulico, clase 1,  $f'c = 250 \text{ kg/cm}^2$  con P. V. =  $2400 \text{ kg/m}^3$  en zapatas, contratrabes, columnas, cabezal, estribos, losas, guarniciones, parapetos y paneles para recubrimiento de los terraplenes mecánicamente estabilizados.
2. Concreto hidráulico  $f'c = 150 \text{ kg/cm}^2$  con P. V.  $2400 \text{ kg/m}^3$  en banquetas
3. Acero de refuerzo con  $f_y = 4200 \text{ kg/cm}^2$  con P. V. =  $7850 \text{ kg/m}^3$
4. Acero estructural ASTM A-36,  $f_y = 2530 \text{ kg/cm}^2$  con P. V. =  $7850 \text{ kg/m}^3$
5. Soldadura de la serie E-70 para vigas y diafragmas.
6. Asfalto con P. V. =  $2200 \text{ kg/m}^3$
7. Neopreno ASTM D2240 con dureza SHORE-60.

## VII. Subestructura.

Procedimiento constructivo utilizado en la subestructura

Para la limpieza y trazo del lugar se empleo 1 cargadores frontales, 1

retroexcavadora y 10 camiones de volteo

Todo el concreto utilizado en la construcción de zapatas, contrarabe,

columnas y cabezales fue concreto premezclado proveniente de la planta de

Toluca

Se empleo un procedimiento estándar de cimbrado.

Para la transportación del material se utilizaron ollas de concreto, así como la

utilización de una bomba de concreto para poder depositarla en los sitios

requeridos.

## VII.3 Superestructura.

Procedimiento constructivo utilizado en la superestructura

El concreto utilizado en la losa, la banqueta y la guarnición fue concreto premezclado procedente de la planta de Toluca.

Se empleo un procedimiento estándar de cimbrado

Para la transportación de la cimbra se utilizaron 2 camiones de volteo

El pavimento fue a base de una carpeta de mezcla en caliente en planta se acarreó con camiones de volteo y se coloco con una extendedora y se compacto con una plancha tandem vibratoria y rodillo neumático.

Las trabes fueron hechas fuera de la obra.

Para su montaje se utilizaron 2 grúas de 20 ton cada una

## **“Movimientos de tierra” en la construcción.**

Se utilizó dos cargadores frontales y un retroexcavadora para la limpieza y trazo.

Para la transportación de materiales se emplearon 12 camiones de volteo.

Para la colocación de materiales se utilizó dos motoconformadoras, así como de dos pipas.

Para la compactación de materiales se utilizaron 2 rodillos de impacto.

El reordenamiento de una vía siempre trae consigo una gran cantidad de retos, que se presentan a medida que se va estudiando cada situación, ya que la planeación en estos casos juega un papel determinante, pues de ella depende el máximo aprovechamiento de los recursos disponibles.

Para el caso particular de una vía uno de los recursos más importantes que se deben cuidar es el de poder aprovechar la infraestructura ya existente y a partir de ésta empezar a organizar todo lo que la pueda complementar y mejorar.

La utilización de pasos inferiores (puentes) para poder librar obstáculos es un recurso muy común cuando de alguna forma es la manera más segura, cómoda, y económica de resolver un problema.

El desarrollo de este trabajo (tesis) se basa precisamente en un puente y a lo largo de él, se muestran las partes que integran un proyecto de este tipo; empezando con los datos preliminares tomados en campo, que posteriormente son utilizados para poder desarrollar un buen diseño que cumpla con todo los

que tienen los camiones que llevan el agua de la planta de tratamiento al lugar más adecuada de la obra.

Un proyecto de este tipo es muy importante debido al servicio que presta a la comunidad y es un claro ejemplo de una obra de ingeniería civil, además de que para su desarrollo se emplean varias ramas de la ingeniería civil muy definidamente, por lo que se convierte en un proyecto muy interesante.

"Bibliografía".

"American Association of State Highway and Transportation officials"  
(A A S H T O), U S A, 1996

"Manual de Proyecto geométrico de carreteras" S.C.T México , 1970

"Normas de servicios técnicos", Proyecto geométrico, México, 1984

"Manual de Diseño de Obras Civiles", Puentes, C.F.E , México, 1993.

"Normas Francesas del Servicio de Estudios Técnicos de Caminos y  
Autopistas", (S.E.T.R.A), S.C.T., México, 1990.

"Diagramas de interacción del Instituto de Ingeniería", Columnas, U N.A.M.,  
México, 1987.

"Applied Clay Mineralogy", Ralph E. Grim, U. S. A., 1990.

# ANEXO 1

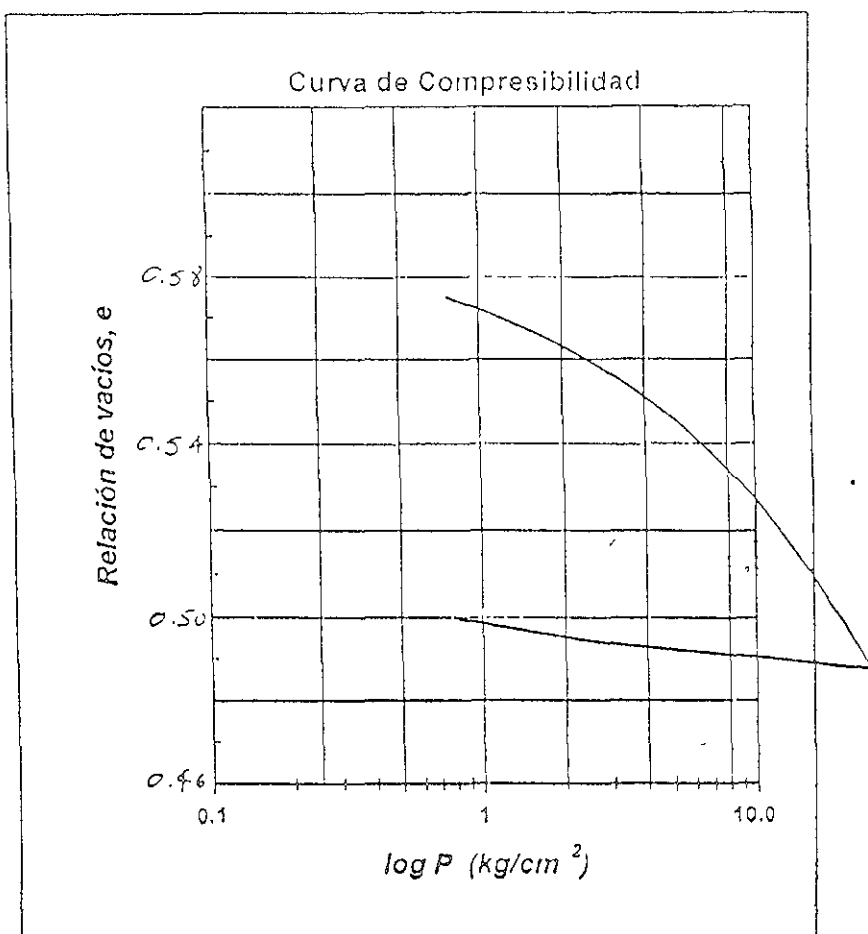
Sondeos de mecánica de suelos

Identificación

Obra: PUENTE SANTA ELENA

Sondeo N° S-2

Prof. (m) = 2.30

Propiedades

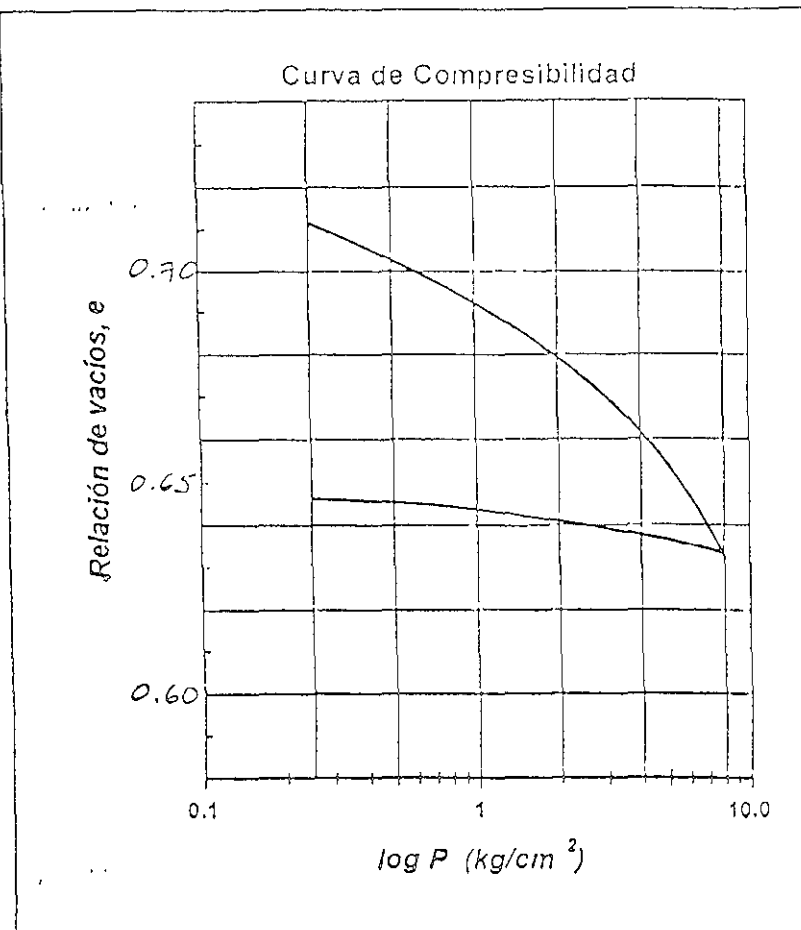
Densidad de Sólidos	Humedad Inicial	Humedad Final	Rel. vacíos Inicial	Rel. vacíos Final	Grado sat. Inicial	Grado sat. Final	Carga de Preconsol.
-	%	%	-	-	%	%	$\text{kg}/\text{cm}^2$
2.462	24.36	21.50	0.592	0.501	100	102	N.D.

Identificación

Obra: PUENTE SANTA ELENA

Sondaje N° S-2

Prof. (m) = 10.80

Propiedades

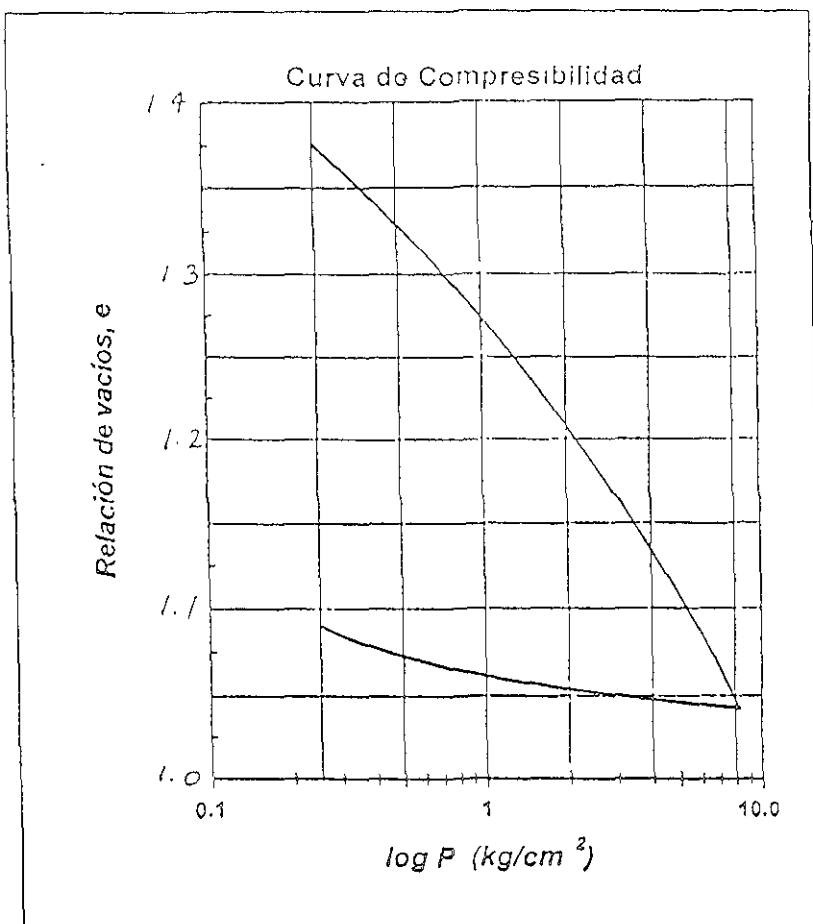
Densidad de Sólidos	Humedad Inicial	Humedad Final	Rel. vacíos Inicial	Rel. vacíos Final	Grado sat. Inicial	Grado sat. Final	Carga de Preconsol.
-	%	%	-	--	%	%	$\text{kg}/\text{cm}^2$
2.473	30.01	24.18	0.719	0.669	102	104	N.D.

Identificación

Obra: PUENTE SANTA ELENA

Sondeo N° S-2

Prof. (m) = 16.00

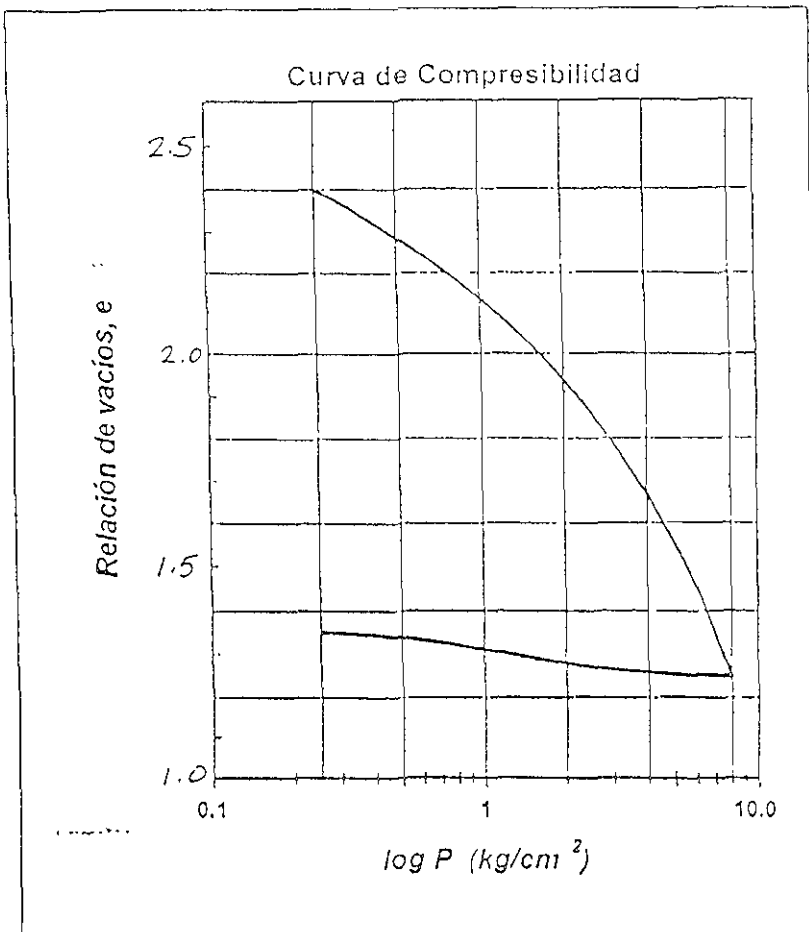
Propiedades

Densidad de Sólidos	Humedad Inicial	Humedad Final	Rel. vacíos Inicial	Rel. vacíos Final	Grado sat. Inicial	Grado sat. Final	Carga de Preconsol.
-	% -	%	-	--	%	%	kg/cm <sup>2</sup>
2.549	53.15	44.16	1.456	1.126	98	100	N.D.

Identificación:

Obra: PUENTE SANTA ELENA

Sondeo N° S-2 Prof. (m) = 18.50

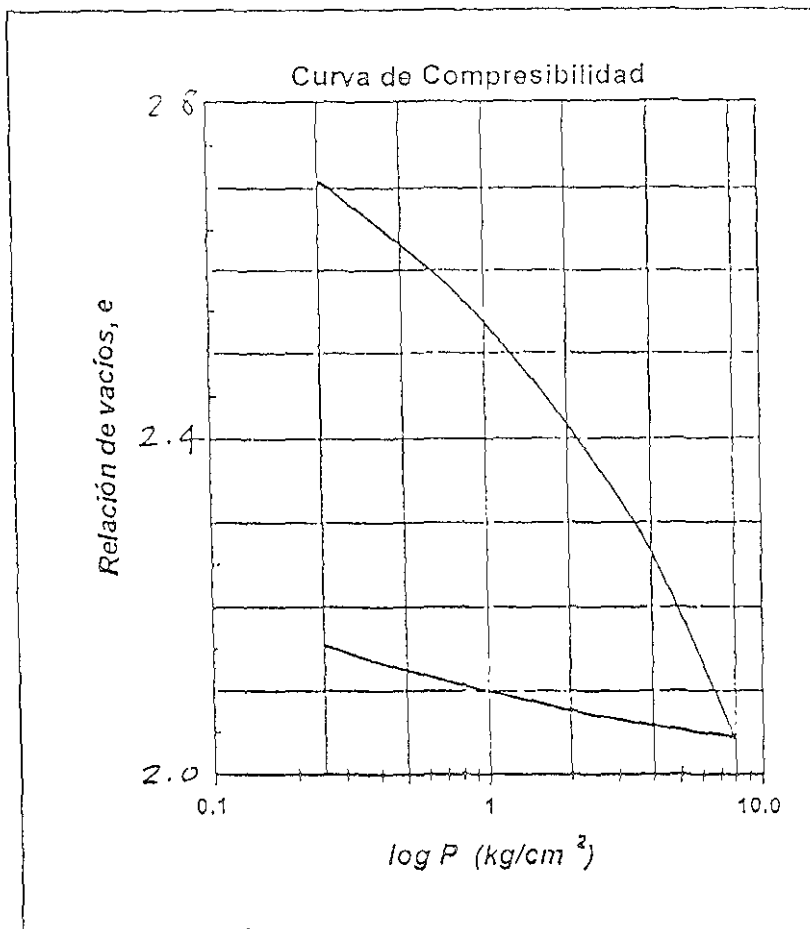
Propiedades

Densidad de Sólidos	Humedad Inicial	Humedad Final	Rel. vacíos Inicial	Rel. vacíos Final	Grado sat. Inicial	Grado sat. Final	Carga de Precursor.
-	%	%	-	-	%	%	kg/cm <sup>2</sup>
2.339	102.49	61.02	2.406	1.358	99	104	N.D.

Identificación

Obra: PUENTE SANTA ELENA

Sondeo N° S-2 Prof. (m) = 21.50

Propiedades

Densidad de Sólidos	Humedad Inicial	Humedad Final	Rel. vacíos Inicial	Rel. vacíos Final	Grado sat. Inicial	Grado sat. Final	Carga de Preconsol.
-	%	%	--	--	%	%	kg/cm <sup>2</sup>
2.419	112.38	95.16	2.729	2.251	99	102	N.D.

Viendo a que "suelo con yeso" se considera que "pueden ser causas de problemas" presentar problemas diversos entre los que se incluye la rotura de alveros principalmente debido a la presencia de arcillas, razón por la cual mencionamos en esta parte una descripción de los diferentes tipos que existen y que pueden presentarse en el suelo y provocar diversos problemas.

**Arcilla** Se le dà el nombre de arcilla a las partículas sólidas con diámetro menor de 0.005 mm y cuya masa tiene la propiedad de volverse plástica al ser mezclada con el agua. Químicamente es un silicato de alúmina hidratado aunque en no pocas ocasiones contienen también silicatos de hierro o de magnesio hidratados. La estructura de estos minerales es, generalmente, cristalina y complicada, con sus átomos dispuestos en forma laminar. De acuerdo con su arreglo reticular los minerales de arcilla se pueden clasificar en tres grupos básicos que son:

El caolinítico (del nombre chino Kau-ling) que procede de la carbonatación de la ortoclasa. Las arcillas caoliníticas están formadas por una lámina silícica y una lámina aluminica superpuestas indefinidamente y con una unión tal entre sus retículas que no permiten la penetración de moléculas de agua entre ellas, pues producen una capa electrónicamente neutral, lo que induce desde luego a que estas arcillas sean bastante estables en presencia del agua.

El montmorillonítico (que debe su nombre a Montmorillón, Francia), al cual pertenecen las bentonitas, se forman por la superposición indefinida de una lámina aluminica entre dos láminas silícicas, pero con una unión débil entre sus retículas lo que hace que el agua pueda penetrar en su estructura con facilidad. Estas arcillas en contacto con agua sufren fuerte expansión provocando inestabilidad en ellas.

El illítico (que deben su nombre a Illinois, U. S. A) que son el producto de la hidratación de las micas y que presentan un arreglo reticular similar al de las montmorilloníticas, pero con la tendencia a formar grumos, por la presencia de iones de potasio, lo que reduce el área expuesta al agua y por lo mismo no son tan expansivas como las arcillas montmorilloníticas.

En general las arcillas, ya sean caoliníticas, montmorilloníticas o illíticas, son plásticas, se contraen al secarse, presentan marcada cohesión según su humedad, son compresibles y al aplicárseles una carga en su superficie se comprimen lentamente. Otra característica interesante, desde el punto de vista de la construcción, es que la resistencia perdida por el remoldeo se recupera parcialmente con el tiempo. Este fenómeno se conoce con el nombre de tixotropía y es de naturaleza físico-química.

## ANEXO 2

Levantamiento Topográfico

ALINEAMIENTO VERIFICACION

PCV CAO/ELV	PIV CAO/ELV	PIV CAO/LLV	L. CURVA	PENDIENTE DE SALIDA	TV LIBRE
7860.00 2579.26	7820.00 2579.20	7900.00 2579.15	40.00	-0.23 %	20.00
7920.00 2579.11	7940.00 2579.06	7960.00 2579.00	40.00	-0.30 %	20.00
7980.00 2578.94	8000.00 2578.88	8020.00 2578.82	40.00	-0.30 %	0.00
8020.00 2578.82	8040.00 2578.76	8060.00 2578.69	40.00	-0.35 %	20.00
8080.00 2578.62	8100.00 2578.55	8120.00 2578.48	40.00	-0.37 %	60.00
8130.00 2578.25	8200.00 2578.18	8230.00 2578.07	40.00	-0.53 %	20.00
8240.00 2577.97	8260.00 2577.86	8280.00 2577.75	40.00	-0.55 %	20.00
8300.00 2577.64	8320.00 2577.53	8340.00 2577.44	40.00	-0.48 %	40.00
8380.00 2577.24	8400.00 2577.15	8420.00 2577.05	40.00	-0.48 %	20.00
8440.00 2576.96	8460.00 2576.86	8480.00 2576.80	40.00	-0.30 %	20.00
8500.00 2576.74	8520.00 2576.68	8540.00 2576.57	40.00	-0.53 %	20.00
8560.00 2576.47	8580.00 2576.36	8600.00 2576.27	40.00	-0.45 %	20.00
8620.00 2576.18	8640.00 2576.09	8660.00 2576.00	40.00	-0.47 %	20.00
8680.00 2575.90	8700.00 2575.81	8720.00 2575.77	40.00	-0.18 %	0.00
8720.00 2575.78	8740.00 2575.74	8760.00 2575.65	40.00	-0.43 %	20.00
8780.00 2575.57	8800.00 2575.48	8820.00 2575.44	40.00	-0.20 %	20.00
8840.00 2575.40	8860.00 2575.36	8880.00 2575.31	40.00	-0.23 %	20.00
8900.00 2575.27	8920.00 2575.22	8940.00 2575.14	40.00	-0.42 %	0.00
8940.00 2575.14	8960.00 2575.05	8980.00 2575.02	40.00	-0.30 %	0.00
8970.00 2574.99	9000.00 2574.93	9030.00 2574.85	40.00	-0.10 %	0.00
9010.00 2574.85	9030.00 2574.77	9050.00 2574.72	40.00	-0.03 %	0.00

Traçado  
altitudinal  
Altura estiva.  
0.12m

ALINAMIENTO VERTICAL

PCV CAD/LLV	PIV CAD/LLV	PTV CAD/ELV	L. CURVA	PENDIENTE DE SALIDA	TV LIBRE
9360.00 2574.77	9080.00 2574.66	9100.00 2574.61	40.00	-0.25 %	0.00
9100.00 2574.61	9120.00 2574.56	9140.00 2574.56	40.00	-0.03 %	0.00
9140.00 2574.55	9160.00 2574.55	9180.00 2574.47	40.00	-0.40 %	0.00
9180.00 2574.47	9200.00 2574.39	9220.00 2574.28	40.00	-0.52 %	0.00
9220.00 2574.28	9240.00 2574.18	9260.00 2574.09	40.00	-0.42 %	0.00
9260.00 2574.09	9280.00 2574.01	9300.00 2573.95	40.00	-0.33 %	0.00
9300.00 2573.94	9320.00 2573.88	9340.00 2573.84	40.00	-0.21 %	40.00
9380.00 2573.75	9400.00 2573.71	9420.00 2573.67	40.00	-0.22 %	0.00
9420.00 2573.67	9440.00 2573.62	9460.00 2573.59	40.00	-0.13 %	20.00
9480.00 2573.57	9500.00 2573.54	9520.00 2573.50	40.00	-0.18 %	40.00
9560.00 2573.44	9580.00 2573.40	9600.00 2573.35	40.00	-0.23 %	20.00
9620.00 2573.31	9640.00 2573.26	9660.00 2573.25	40.00	-0.03 %	20.00
9680.00 2573.25	9700.00 2573.24	9720.00 2573.24	40.00	0.00 %	0.00
9720.00 2573.24	9740.00 2573.24	9760.00 2573.26	40.00	0.12 %	21.50
9781.50 2573.29	9781.50 2573.29	9781.50 2573.29			

**AVANTAJOS DE VENTA**

PCV CAD/LLV	PIV CAD/LLV	PIV CAD/LLV	CUAVIA	PERCENTAJE DE VENTA	IV LÍNEA
7660.00 2579.26	7380.00 2579.20	7900.00 2579.15	40.00	-0.25 %	20.00
7920.00 2579.11	7940.00 2579.05	7960.00 2579.00	40.00	-0.30 %	20.00
7980.00 2578.94	8000.00 2578.88	8020.00 2578.82	40.00	-0.30 %	0.00
8020.00 2578.82	8040.00 2578.76	8060.00 2578.69	40.00	-0.35 %	20.00
8080.00 2578.62	8100.00 2578.55	8120.00 2578.48	40.00	-0.37 %	60.00
8100.00 2578.25	8200.00 2578.18	8220.00 2578.07	40.00	-0.55 %	20.00
8240.00 2577.97	8260.00 2577.86	8280.00 2577.75	40.00	-0.55 %	20.00
8300.00 2577.64	8320.00 2577.53	8340.00 2577.44	40.00	-0.48 %	40.00
8380.00 2577.24	8400.00 2577.15	8420.00 2577.05	40.00	-0.48 %	20.00
8440.00 2576.96	8460.00 2576.86	8480.00 2576.80	40.00	-0.30 %	20.00
8500.00 2576.74	8520.00 2576.68	8540.00 2576.57	40.00	-0.53 %	20.00
8560.00 2576.47	8580.00 2576.36	8600.00 2576.27	40.00	-0.45 %	20.00
8620.00 2576.18	8640.00 2576.09	8660.00 2576.00	40.00	-0.47 %	20.00
8680.00 2575.90	8700.00 2575.81	8720.00 2575.77	40.00	-0.18 %	0.00
8720.00 2575.78	8740.00 2575.74	8760.00 2575.65	40.00	-0.43 %	20.00
8780.00 2575.57	8800.00 2575.48	8820.00 2575.44	40.00	-0.20 %	20.00
8840.00 2575.40	8860.00 2575.36	8880.00 2575.31	40.00	-0.23 %	20.00
8900.00 2575.27	8920.00 2575.22	8940.00 2575.14	40.00	-0.42 %	0.00
8940.00 2575.14	8960.00 2575.05	8980.00 2574.99	40.00	-0.30 %	6.30
9000.00 2574.99	9020.00 2574.93	9040.00 2574.85	40.00	-0.40 %	0.00
9020.00 2574.35	9040.00 2574.77	9060.00 2574.72	40.00	-0.25 %	0.00

Journal of Oral Rehabilitation 2003; 30: 103–110 © 2003 Blackwell Publishing Ltd

SUPRESION DE PROYECTO DE SECCIONES DLL KM		6880.00 AL KM		7540.00 POR AEROPUERTO			
6220.00	2583 41	-0.26	0.56	0.10	0.10	1.1	4.76
	2583 29	-0.10	0.10	-0.30	0.00	-0.01	-0.39
6840.00	2583 33	-0.25	0.10	-0.50	0.10	1.1	4.75
	2583 08	-0.11	0.10	-0.30	0.00	-0.02	-0.39
6860.00	2583 27	-0.25	0.50	0.50	0.20	1.1	4.52
	2583 02	-0.10	0.10	-0.30	0.00	-0.09	-0.39
<b>SUPRESION DE PROYECTO DE SECCIONES DLL KM</b>		<b>6880.00 AL KM</b>		<b>7540.00 POR AEROPUERTO</b>			
7580.00	2580 52	-0.32	0.50	0.50	0.50	1.1	4.76
	2580 29	-0.15	0.50	-0.30	0.60	-0.09	-0.40
7580.00	2580 45	-0.32	0.50	-0.50	0.50	1.1	4.83
	2580 13	-0.16	0.50	-0.30	0.60	-0.09	-0.40
7600.00	2580 38	-0.31	0.50	0.50	0.50	1.1	4.87
	2580 07	-0.15	0.50	-0.30	0.60	-0.09	-0.40
7620.00	2580 27	-0.26	0.50	0.50	0.50	1.1	4.83
	2580 01	-0.19	0.50	-0.30	0.60	-0.09	-0.40
7640.00	2580 26	-0.30	0.50	0.50	0.50	1.1	4.83
	2579 94	-0.19	0.50	-0.30	0.60	-0.09	-0.40
7660.00	2580 20	-0.32	0.50	0.50	0.50	1.1	4.83
	2579 89	-0.15	0.50	-0.30	0.60	-0.09	-0.40
7680.00	2580 12	-0.31	0.50	0.50	0.50	1.1	4.83
	2579 81	-0.18	0.50	-0.30	0.60	-0.09	-0.40
7700.00	2580 02	-0.28	0.50	0.50	0.50	1.1	4.82
	2579 74	-0.18	0.50	-0.30	0.60	-0.09	-0.39
7720.00	2580 01	-0.36	0.50	0.50	0.50	1.1	4.88
	2579 65	-0.14	0.50	-0.30	0.60	-0.09	-0.40
7740.00	2579 54	-0.36	0.50	0.50	0.50	1.1	4.71
	2579 58	-0.12	0.50	-0.30	0.60	-0.09	-0.39
7750.00	2579 91	-0.39	0.50	0.50	0.50	1.1	4.42
	2579 52	-0.09	0.50	-0.30	0.60	-0.09	-0.40
7780.00	2579 85	-0.38	0.50	0.50	0.50	1.1	4.42
	2579 47	-0.09	0.50	-0.30	0.60	-0.09	-0.40
7800.00	2579 78	-0.36	0.50	0.50	0.50	1.1	4.42
	2579 42	-0.11	0.50	-0.30	0.60	-0.09	-0.40
7820.00	2577 73	-0.36	0.50	0.50	0.50	1.1	4.42
	2577 77	-0.12	0.50	-0.30	0.60	-0.09	-0.40
7840.00	2578 28	-0.37	0.50	0.50	0.50	1.1	4.42
	2579 31	-0.10	0.50	-0.30	0.60	-0.09	-0.40
7860.00	2579 80	-0.34	0.50	0.50	0.50	1.1	4.42
	2579 26	-0.13	0.50	-0.30	0.60	-0.09	-0.39
7880.00	2579 55	-0.35	0.50	0.50	0.50	1.3	4.76
	2579 20	-0.13	0.50	-0.30	0.60	-0.10	-0.01
7900.00	2579 57	-0.42	0.50	0.50	0.50	1.1	4.42
	2579 15	-0.07	0.50	-0.30	0.60	-0.09	-0.39
7920.00	2579 51	-0.40	0.50	0.50	0.50	1.1	4.42
	2579 11	-0.08	0.50	-0.30	0.60	-0.09	-0.39
7940.00	2579 43	-0.37	0.50	0.50	0.50	1.1	4.42
	2579 06	-0.11	0.50	-0.30	0.60	-0.09	-0.39
7960.00	2579 35	-0.35	0.50	0.50	0.50	1.1	4.42
	2579 09	-0.13	0.50	-0.30	0.60	-0.09	-0.39
7980.00	2579 28	-0.34	0.50	0.50	0.50	1.1	4.42
	2578 94	-0.13	0.50	-0.30	0.60	-0.09	-0.40
8000.00	2579 21	-0.33	0.50	0.50	0.50	1.1	4.42
	2578 88	-0.14	0.50	-0.30	0.60	-0.09	-0.40
8020.00	2579 18	-0.36	0.50	0.50	0.50	1.1	4.42
	2578 82	-0.12	0.50	-0.30	0.60	-0.09	-0.40
8040.00	2579 13	-0.37	0.50	0.50	0.50	1.1	4.42
	2578 76	-0.11	0.50	-0.30	0.60	-0.09	-0.40

HOJA No. 8  
22 - D - 1951

TABLE OF THE CORRECTION FOR THE VARIATION

STATION	N	E	S	W	U	V	C	T	Q	R	A	I	L	U	V	C	T	Q	R	A	I	L	
8060.00	2579.32	0.35	0.40		0.30	0.10	1.1	4.42	4.68													4.69	
	2579.69	-0.34	0.50		0.30	0.00	1.1	4.42	4.67													-0.76	
8080.00	2579.92	-0.34	0.50		0.30	0.00	1.1	4.42	4.67													4.67	
	2579.62	-0.16			0.30	0.00																	-0.25
8100.00	2579.97	-0.35	0.50		0.30	0.00	1.1	4.42	4.68													5.14	
	2579.55	-0.13			0.30	0.00																	-0.57
8120.00	2579.83	-0.35	0.50		0.30	0.00	1.1	4.42	4.68													6.26	
	2579.48	-0.13			0.30	0.00																	-1.32
8140.00	2579.74	-0.38	0.50		0.30	0.00	1.1	4.42	4.68													6.45	
	2578.40	-0.12			0.30	0.00																	-1.44
8160.00	2578.71	-0.41	0.50		0.30	0.00	1.1	4.42	4.68													4.63	
	2578.33	-0.08			0.30	0.00																	-0.23
8180.00	2578.66	-0.41	0.50		0.30	0.00	1.1	4.42	4.84													6.51	
	2578.25	-0.08			0.30	0.00																	-1.48
8200.00	2578.53	-0.36	0.50		0.30	0.00	1.1	4.42	4.88													4.94	
	2578.17	-0.13			0.30	0.00																	-0.44
8220.00	2578.40	-0.33	0.50		0.30	0.00	1.1	4.42	4.82													4.82	
	2578.07	-0.16			0.30	0.00																	-0.36
8240.00	2578.30	-0.33	0.50		0.30	0.00	1.1	4.42	4.83													4.83	
	2577.97	-0.16			0.30	0.00																	-0.36
8260.00	2578.20	-0.34	0.50		0.30	0.00	1.1	4.42	4.67													4.67	
	2577.86	-0.15			0.30	0.00																	-0.25
8280.00	2578.05	-0.30	0.50		0.30	0.00	1.1	4.42	4.88													4.88	
	2577.75	-0.20			0.30	0.00																	-0.40
8300.00	2577.98	-0.34	0.50		0.30	0.00	1.1	4.42	4.67													4.67	
	2577.64	-0.15			0.30	0.00																	-0.25
8320.00	2577.87	-0.34	0.50		0.30	0.00	1.1	4.42	4.82													4.82	
	2577.53	-0.15			0.30	0.00																	-0.36
8340.00	2577.80	-0.37	0.50		0.30	0.00	1.1	4.42	4.88													5.16	
	2577.43	-0.14			0.30	0.00																	-0.58
8360.00	2577.69	-0.35	0.50		0.30	0.00	1.1	4.42	4.88													4.96	
	2577.34	-0.15			0.30	0.00																	-0.45
8380.00	2577.59	-0.35	0.50		0.30	0.00	1.1	4.42	4.80													4.80	
	2577.24	-0.15			0.30	0.00																	-0.34
8400.00	2577.51	-0.36	0.50		0.30	0.00	1.1	4.42	4.88													4.94	
	2577.15	-0.13			0.30	0.00																	-0.44
8420.00	2577.36	-0.31	0.50		0.30	0.00	1.1	4.42	4.87													4.87	
	2577.05	-0.19			0.30	0.00																	-0.39
8440.00	2577.27	-0.31	0.50		0.30	0.00	1.1	4.42	4.88													5.06	
	2576.96	-0.17			0.30	0.00																	-0.52
8460.00	2577.18	-0.31	0.50		0.30	0.00	1.1	4.42	4.88													5.00	
	2576.87	-0.17			0.30	0.00																	-0.48
8480.00	2577.16	-0.36	0.50		0.30	0.00	1.1	4.42	4.88													4.94	
	2576.80	-0.14			0.30	0.00																	-0.44
8500.00	2577.11	-0.37	0.50		0.30	0.00	1.1	4.42	4.62													4.62	
	2576.74	-0.12			0.30	0.00																	-0.22
8520.00	2577.05	-0.38	0.50		0.30	0.00	1.1	4.42	4.83													4.83	
	2576.67	-0.11			0.30	0.00																	-0.36
8540.00	2576.90	-0.33	0.50		0.30	0.00	1.1	4.42	4.83													4.91	
	2576.57	-0.19			0.30	0.00																	-0.42
8560.00	2576.76	-0.29	0.50		0.30	0.00	1.1	4.42	4.84													4.86	
	2576.47	-0.18			0.30	0.00																	-0.38
8580.00	2576.64	-0.28	0.50		0.30	0.00	1.1	4.42	4.88													4.92	
	2576.36	-0.20			0.30	0.00																	-0.42
8600.00	2576.56	-0.29	0.50		0.30	0.00	1.1	4.42	4.87													4.87	
	2576.27	-0.19			0.30	0.00																	-0.39
8620.00	2576.46	-0.30	0.50		0.30	0.00	1.1	4.42	4.88													4.96	
	2576.18	-0.18			0.30	0.00																	-0.45

NOJA No. 9  
29-01-1949

ESTIMACIONES DE COSTOS DE CONSTRUCCION

ESTIMACION	LL	L	D	COSTO INDIVIDUAL				CANT.	CANT.	CANT.	CANT.	CANT.
				C	I	B	A					
8640.00	2576.36	-0.27	0.50		0.50	0.50	1 1	4.42	4.87			4.87
	2576.09	-0.21			-0.30	0.00		-0.09	-0.40			-0.39
8660.00	2576.27	-0.27	0.53		0.50	0.50	1 1	4.42	4.88			5.00
	2576.00	-0.20			-0.30	0.00		-0.09	-0.40			-0.48
8680.00	2576.17	-0.27	0.50		0.50	0.50	1 1	4.42	4.88			5.01
	2575.90	-0.21			-0.30	0.00		-0.09	-0.40			-0.43
8700.00	2576.10	-0.28	0.50		0.50	0.50	1 1	4.42	4.88			5.00
	2575.82	-0.21			-0.30	0.00		-0.09	-0.40			-0.47
8720.00	2576.08	-0.30	0.50		0.50	0.50	1 1	4.42	4.88			4.95
	2575.78	-0.18			-0.30	0.00		-0.09	-0.40			-0.44
8740.00	2576.01	-0.28	0.50		0.50	0.50	1 1	4.42	4.88			4.99
	2575.73	-0.20			-0.30	0.00		-0.09	-0.40			-0.47
8760.00	2575.91	-0.26	0.50		0.50	0.50	1 1	4.42	4.88			4.89
	2575.65	-0.22			-0.30	0.00		-0.09	-0.40			-0.40
8780.00	2575.84	-0.27	0.50		0.50	0.50	1 1	4.42	4.88			5.00
	2575.57	-0.21			-0.30	0.00		-0.09	-0.40			-0.48
8800.00	2575.70	-0.29	0.50		0.50	0.50	1 1	4.42	4.88			4.80
	2575.49	-0.19			-0.30	0.00		-0.09	-0.39			-0.21
8820.00	2575.76	-0.32	0.50		0.50	0.50	1 1	4.42	4.88			4.56
	2575.44	-0.16			-0.30	0.00		-0.09	-0.39			-0.18
8840.00	2575.73	-0.33	0.50		0.50	0.50	1 1	4.42	4.88			4.66
	2575.40	-0.16			-0.30	0.00		-0.09	-0.39			-0.25
8860.00	2575.70	-0.34	0.50		0.50	0.50	1 1	4.42	4.88			4.64
	2575.36	-0.15			-0.30	0.00		-0.09	-0.39			-0.24
8880.00	2575.66	-0.35	0.50		0.50	0.50	1 1	4.42	4.88			4.63
	2575.31	-0.15			-0.30	0.00		-0.09	-0.39			-0.23
8900.00	2575.58	-0.31	0.50		0.50	0.50	1 1	4.42	4.88			4.81
	2575.27	-0.16			-0.30	0.00		-0.09	-0.40			-0.35
8920.00	2575.32	-0.31	0.50		0.50	0.50	1 1	4.42	4.88			4.94
	2575.21	-0.18			-0.30	0.00		-0.09	-0.40			-0.44
8940.00	2575.41	-0.27	0.50		0.50	0.50	1 1	4.42	4.88			5.14
	2575.14	-0.20			-0.30	0.00		-0.09	-0.40			-0.57
8960.00	2575.27	-0.21	0.50		0.50	0.50	1 1	4.42	4.88			5.10
	2575.06	-0.24			-0.30	0.00		-0.09	-0.40			-0.54
8980.00	2575.31	-0.32	0.50		0.50	0.50	1 1	4.42	4.88			5.06
	2574.99	-0.15			-0.30	0.00		-0.09	-0.40			-0.52
9000.00	2575.25	-0.32	0.50		0.50	0.50	1 1	4.42	4.88			4.89
	2574.93	-0.16			-0.30	0.00		-0.09	-0.40			-0.40
9020.00	2575.12	-0.27	0.50		0.50	0.50	1 1	4.42	4.88			5.07
	2574.85	-0.21			-0.30	0.00		-0.09	-0.40			-0.52
9040.00	2575.04	-0.28	0.50		0.50	0.50	1 1	4.42	4.88			5.20
	2574.78	-0.21			-0.30	0.00		-0.09	-0.40			-0.61
9060.00	2574.94	0.21	0.50		0.50	0.50	1 1	4.42	4.88			4.50
	2574.71	0.22			-0.30	0.00		-0.09	-0.39			-0.14
9080.00	2574.99	0.21	0.50		0.50	0.50	1 1	4.42	4.88			5.51
	2574.76	0.22			-0.30	0.00		-0.09	-0.39			-0.12
9100.00	2574.98	0.21	0.50		0.50	0.50	1 1	4.42	4.88			5.22
	2574.74	0.21			-0.30	0.00		-0.09	-0.39			-0.11
9120.00	2575.00	0.21	0.50		0.50	0.50	1 1	4.42	4.88			5.23
	2574.78	0.21			-0.30	0.00		-0.09	-0.39			-0.11
9140.00	2575.06	0.21	0.50		0.50	0.50	1 1	4.42	4.88			5.13
	2574.82	0.21			-0.30	0.00		-0.09	-0.39			-0.10
9160.00	2575.00	0.21	0.50		0.50	0.50	1 1	4.42	4.88			5.27
	2574.78	0.21			-0.30	0.00		-0.09	-0.39			-0.10
9180.00	2575.00	0.21	0.50		0.50	0.50	1 1	4.42	4.88			5.27
	2574.76	0.21			-0.30	0.00		-0.09	-0.39			-0.10
9200.00	2575.23	-0.31	0.50		0.50	0.50	1 1	4.42	4.88			5.27
	2574.30				-0.30	0.00		-0.09	-0.40			-0.65

HOJA N°. 10  
29 DE ENERO DE 1979

ESTADÍSTICAS SECUNDARIAS DE CONEXIONES

CONEXION	L	T	P	LAZO 1 OUTLOOK				LAZO 2				LAZO 3 CIR MIA			
				L	D	C	L	A	S.C.	A	D	L	C	D	L
9220.00	2574.64	-0.35	0.50				0.50	0.50	1.1	4.42	4.56				4.56
	2574.23	-0.12					-0.30	0.02		-0.09	-0.39				-0.13
9240.00	2575.53	-0.34	0.50				0.50	0.50	1.1	4.42	4.55				5.27
	2571.19	-0.13					-0.30	0.00		-0.09	-0.30				-0.66
9260.00	2571.42	-0.32	0.50				0.50	0.50	1.1	4.42	4.61				4.61
	2571.09	-0.16					-0.30	0.00		-0.09	-0.39				-0.21
9280.00	2574.37	-0.36	0.50				0.50	0.50	1.1	4.42	4.65				4.65
	2574.01	-0.12					-0.30	0.00		-0.09	-0.39				-0.24
9300.00	2574.34	-0.40	0.50				0.50	0.50	1.1	4.42	4.74				4.74
	2573.92	-0.09					-0.30	0.00		-0.09	-0.39				-0.30
9320.00	2574.24	-0.35	0.50				0.50	0.50	1.1	4.42	4.80				4.80
	2573.89	-0.13					-0.30	0.00		-0.09	-0.40				-0.35
9340.00	2574.21	-0.37	0.50				0.50	0.50	1.3	4.76	4.80				5.02
	2573.84	-0.11					-0.30	0.00		-0.10	-0.01				0.44
9360.00	2574.19	-0.40	0.50				0.50	0.50	1.3	4.76	4.80				5.08
	2573.79	-0.09					-0.30	0.00		-0.10	-0.01				0.55
9380.00	2574.13	-0.38	0.50				0.50	0.50	1.1	4.42	4.87				4.47
	2573.75	-0.11					-0.30	0.00		-0.09	-0.39				-0.12
9400.00	2574.10	-0.39	0.50				0.50	0.50	1.1	4.42	4.80				4.60
	2573.71	-0.10					-0.30	0.00		-0.09	-0.39				-0.21
9420.00	2574.05	-0.39	0.50				0.50	0.50	1.1	4.42	4.87				4.57
	2573.67	-0.10					-0.30	0.00		-0.09	-0.39				-0.19
9440.00	2573.98	-0.36	0.50				0.50	0.50	1.1	4.42	4.50				4.50
	2573.62	-0.12					-0.30	0.00		-0.09	-0.39				-0.14
9460.00	2573.85	-0.26	0.50				0.50	0.50	1.1	4.42	4.56				4.46
	2573.59	-0.20					-0.30	0.00		-0.09	-0.39				-0.11
9480.00	2573.84	-0.27	0.50				0.50	0.50	1.1	4.42	4.70				4.70
	2573.57	-0.19					-0.30	0.00		-0.09	-0.39				-0.28
9500.00	2573.81	-0.27	0.50				0.50	0.50	1.1	4.42	4.56				4.56
	2573.54	-0.19					-0.30	0.00		-0.09	-0.39				-0.18
9520.00	2573.77	-0.26	0.50				0.50	0.50	1.1	4.42	4.51				4.51
	2573.51	-0.21					-0.30	0.00		-0.09	-0.39				-0.15
9540.00	2573.77	-0.30	0.50				0.50	0.50	1.1	4.42	4.88				5.24
	2573.47	-0.16					-0.30	0.00		-0.09	-0.40				-0.64
9560.00	2573.70	-0.27	0.50				0.50	0.50	1.1	4.42	4.44				4.44
	2573.43	-0.18					-0.30	0.00		-0.09	-0.39				-0.11
9580.00	2573.65	-0.25	0.50				0.50	0.50	1.1	4.42	4.88				5.28
	2573.40	-0.20					-0.30	0.00		-0.09	-0.40				-0.65
9600.00	2573.65	-0.30	0.50				0.50	0.50	1.1	4.42	4.88				5.14
	2573.35	-0.13					-0.30	0.00		-0.09	-0.40				-0.57
9620.00	2573.62	-0.31	0.50				0.50	0.50	1.1	4.42	4.88				5.11
	2573.31	-0.16					-0.30	0.00		-0.09	-0.40				-0.55
9640.00	2573.58	-0.31	0.50				0.50	0.50	1.1	4.42	4.88				5.04
	2573.27	-0.16					-0.30	0.00		-0.09	-0.40				-0.50
9660.00	2573.51	-0.26	0.50				0.50	0.50	1.1	4.42	4.66				4.46
	2573.25	-0.21					-0.30	0.00		-0.09	-0.39				-0.11
9680.00	2573.52	-0.27	0.50				0.50	0.50	1.1	4.42	4.88				5.14
	2573.25	-0.19					-0.30	0.00		-0.09	-0.40				-0.57
9700.00	2573.52	-0.28	0.50				0.50	0.50	1.1	4.42	4.88				5.13
	2573.24	-0.16					-0.30	0.00		-0.09	-0.40				-0.56
9720.00	2573.51	-0.27	0.50				0.50	0.50	1.1	4.42	4.88				5.27
	2573.24	-0.16					-0.30	0.00		-0.09	-0.40				-0.60
9740.00	2573.53	-0.28	0.50				0.50	0.50	1.1	4.42	4.89				4.49
	2573.35	-0.16					-0.30	0.00		-0.09	-0.39				-0.13
9760.00	2573.54	-0.28	0.50				0.50	0.50	1.1	4.42	4.62				4.62
	2573.26	-0.17					-0.30	0.00		-0.09	-0.39				-0.22
9780.00	2573.59	-0.30	0.50				0.50	0.50	1.1	4.42	4.81				4.81
	2573.29	-0.16					-0.30	0.00		-0.09	-0.40				-0.35

*ALINEAMIENTO VERTICAL*

PCV CAD/LLV	PIV CAD/CLV	PTV CAD/CLV	L	CURVA	PIVOTANTE DL SALIDA	TV LÍNEA
8420.00 2579.72	8440.00 2579.62	8460.00 2579.56	40.00	-0.30 %	0.00	
8460.00 2579.56	8480.00 2579.50	8500.00 2579.46	40.00	-0.22 %	20.00	
8520.00 2579.41	8540.00 2579.37	8560.00 2579.27	40.00	-0.10 %	0.00	
8560.00 2579.27	8580.00 2579.17	8600.00 2579.05	40.00	-0.07 %	0.00	
8600.00 2579.05	8620.00 2578.94	8640.00 2578.94	40.00	0.00 %	0.00	
8640.00 2578.94	8660.00 2578.94	8680.00 2578.73	40.00	-0.08 %	0.00	
8680.00 2578.73	8700.00 2578.62	8720.00 2578.54	40.00	-0.10 %	0.00	
8720.00 2578.54	8740.00 2578.46	8760.00 2578.35	40.00	-0.12 %	0.00	
8760.00 2578.35	8780.00 2578.25	8800.00 2578.16	40.00	-0.14 %	0.00	
8800.00 2578.16	8820.00 2578.06	8840.00 2577.94	40.00	-0.16 %	0.00	
8840.00 2577.94	8860.00 2577.81	8880.00 2577.69	40.00	-0.18 %	20.00	
8900.00 2577.56	8920.00 2577.44	8940.00 2577.36	40.00	-0.20 %	0.00	
8940.00 2577.36	8960.00 2577.29	8980.00 2577.17	40.00	-0.20 %	0.00	
8980.00 2577.17	9000.00 2577.05	9020.00 2576.98	40.00	-0.23 %	0.00	
9020.00 2576.98	9040.00 2576.90	9060.00 2576.83	40.00	-0.25 %	0.00	
9060.00 2576.83	9080.00 2576.76	9100.00 2576.61	40.00	-0.23 %	0.00	
9100.00 2576.80	9120.00 2576.85	9140.00 2576.75	40.00	-0.24 %	0.00	
9140.00 2576.76	9160.00 2576.66	9180.00 2576.59	40.00	-0.26 %	40.00	
9220.00 2576.44	9240.00 2576.37	9260.00 2576.31	40.00	-0.33 %	0.00	
9260.00 2576.30	9280.00 2576.24	9300.00 2576.14	40.00	-0.30 %	0.00	
9300.00 2576.14	9320.00 2576.04	9340.00 2575.99	40.00	-0.23 %	0.00	

## ALINEAMIENTO VERTICAL

PCV CAD/ELV	PIV CAD/ELV	PTV CAD/ELV	L. CURVA	PENDIENTE DE SALIDA	TV LIBRE
9340.00 2576.00	9360.00 2575.95	9380.00 2575.95	40.00	-0.03 %	0.00
9380.00 2575.94	9400.00 2575.94	9420.00 2575.90	40.00	-0.20 %	20.00
9440.00 2575.86	9460.00 2575.82	9480.00 2575.70	40.00	-0.63 %	40.00
9520.00 2575.45	9540.00 2575.32	9560.00 2575.25	40.00	-0.33 %	20.00
9580.00 2575.19	9600.00 2575.12	9620.00 2575.04	40.00	-0.38 %	20.00
9640.00 2574.97	9660.00 2574.89	9680.00 2574.85	40.00	-0.20 %	20.00
9760.00 2574.81	9720.00 2574.77	9740.00 2574.65	40.00	-0.63 %	0.00
9740.00 2574.65	9760.00 2574.52	9780.00 2574.47	40.00	-0.25 %	0.00
9780.00 2574.47	9800.00 2574.42	9820.00 2574.42	40.00	0.00 %	0.00
9820.00 2574.42	9840.00 2574.42	9860.00 2574.30	40.00	-0.68 %	20.00
9880.00 2574.18	9900.00 2574.06	9920.00 2574.00	40.00	-0.33 %	0.00
9920.00 2573.99	9940.00 2573.93	9960.00 2573.86	40.00	-0.37 %	20.00
9980.00 2573.78	10000.00 2573.71	10020.00 2573.62	40.00	-0.47 %	22.50
10042.50 2573.51	10042.50 2573.51	10042.50 2573.51			

SECCIONES TRANSVERSALES

LADO IZQUIERDO	CABECERAMIENTO C L				LADO DERECHO	
	-1.70 0.15	-1.40 0.07	8560.00 2576.76	5.50 -0.20	7.60 -1.20	10.00 0.50
-1.80 0.16	-1.10 0.05	8580.00 2576.64	5.00 -0.20	7.00 -1.10	9.50 0.60	10.00 0.60
-1.70 0.14	-1.00 0.04	8600.00 2576.56	5.50 -0.20	7.30 -1.00	10.00 0.50	
-1.70 0.16	-0.90 0.04	8620.00 2576.48	6.00 -0.30	8.00 -1.10	10.00 0.40	
-1.60 0.16	-0.80 0.03	8440.00 2576.36	6.00 -0.20	7.00 -1.10	9.00 0.40	10.00 0.30
-1.60 0.16	-1.30 0.07	8460.00 2576.27	6.00 -0.30	7.00 -1.10	9.00 0.50	10.00 0.20
-1.50 0.16	-1.00 0.04	8480.00 2576.17	6.00 -0.30	8.00 -1.10	10.00 0.20	
-1.40 0.14	-1.00 0.02	8700.00 2576.10	6.00 -0.30	8.00 -1.00	10.00 0.30	
-1.40 0.12	-1.00 0.04	8720.00 2576.08	6.00 -0.30	8.00 -1.00	10.00 0.20	
-1.40 0.16	-0.80 0.03	8740.00 2576.01	6.00 -0.30	7.00 -1.20	10.00 0.30	
-1.50 0.13	-1.00 0.04	8760.00 2575.91	6.20 -0.20	7.80 -1.10	10.00 0.20	
-1.40 0.12	-1.00 0.04	8780.00 2575.84	6.00 -0.30	8.00 -1.20	10.00 0.30	
-1.50 0.13	-1.00 0.04	8800.00 2575.76	6.00 0.00	8.00 -1.10	9.50 0.20	10.00 0.20
-1.50 0.11	-1.10 0.05	8820.00 2575.76	6.00 0.00	8.00 -0.10	9.30 0.20	10.00 0.20
-1.50 0.08	-1.00 0.02	8840.00 2575.73	6.00 -0.10	8.20 -1.20	10.00 -1.00	
-1.50 0.09	-1.00 0.02	8860.00 2575.70	6.00 -0.10	8.00 -1.50	10.00 -1.10	
-1.50 0.10	-1.00 0.01	8880.00 2575.66	6.00 -0.10	8.00 -1.40	10.00 0.20	
-1.50 0.14	-1.00 0.05	8900.00 2575.58	6.00 -0.20	8.00 -1.40	10.00 -0.20	
-1.50 0.13	-1.00 0.03	8920.00 2575.52	6.00 -0.30	8.00 -1.30	10.00 -1.00	
-1.60 0.16	-1.00 0.05	8940.00 2575.41	6.00 -0.40	8.00 -1.40	10.00 -1.00	

HOJA NO. 44  
05 -01 -1949

# ANEXO 3

## Datos estructurales

\* \* \* \* \*  
Rev. 1.0  
Proprietary Program of  
Research Engineers, Inc.  
Date: JUN 10, 1999  
Time= 13 0:57  
\*  
\* USER ID: GRUPO CONS. CABSA SA DE CV  
\*\*\*\*\*

1. STAAD SPACE PILAS PUENTE SANTA ELENA  
2. INPUT WIDTH 72  
3. \*  
4. \*\*\*\*\*  
5. \*  
6. \* ANALISIS ESTRUCTURAL DE LA PILA DEL PUENTE "SANTA ELENA"  
7. \* CONSIDERANDO LAS ACCIONES Y GRUPOS DE CARGAS  
8. \* INDICADOS POR LAS ESPECIFICACIONES "AASHTO-SCT"  
9. \* MARZO DE 1999  
10. \*  
11. \* INGENIERIA INTEGRAL INTERNACIONAL MEXICO S.A DE C.V.  
12. \* CALCULO: ING. J. EDUARDO FLORES RODRIGUEZ  
13. \* REVISO : ING. J. OSCAR TREJO MARTINEZ  
14. \*  
15. \*\*\*\*\*  
16. \*  
17. UNIT CM KG  
18. JOINT COORDINATES  
19. 1 125. 0. 0.; 2 125. 800. 0.; 3 387.5 0. 0.; 4 387.5 800. 0.  
20. 5 650. 0. 0.; 6 650. 800. 0.; 7 912.5 0. 0.; 8 912.5 800. 0.  
21. 9 1175. 0. 0.; 10 1175. 800. 0.; 11 63. 800. 0.; 12 256.25 800. 0.  
22. 13 518.75 800. 0.; 14 781.25 800. 0.; 15 1043.75 800. 0.  
23. 16 1237. 800. 0.; 17 0. 0. 0.; 18 256.25 0. 0.; 19 518.75 0. 0.  
24. 20 781.25 0. 0.; 21 1043.75 0. 0.; 22 1300. 0. 0.  
25. MEMBER INCIDENCES  
26. 1 1 2; 2 3 4; 3 5 6; 4 7 8; 5 9 10; 6 11 2; 7 2 12; 8 12 4; 9 4 13  
27. 10 13 6; 11 6 14; 12 14 8; 13 8 15; 14 15 10; 15 10 16; 16 17 1; 17 1 18  
28. 18 18 3; 19 3 19; 20 19 5; 21 5 20; 22 20 7; 23 7 21; 24 21 9; 25 9 22  
29. MEMBER PROPERTY AMER  
30. 1 TO 5 PRI YD 80. ZD 100.  
31. 6 TO 15 PRI YD 70. ZD 120.  
32. 16 TO 25 PRI YD 150. ZD 60.  
33. CONSTANTS  
34. E 251024. ALL  
35. POISSON CONCRETE ALL  
36. DENSITY 0. ALL  
37. UNIT METER MTON  
38. SUPPORTS  
39. 3 5 7 18 TO 21 FIXED BUT MY MZ KFY 10500.  
40. 1 9 FIXED BUT MY MZ KFY 10250.  
41. 17 22 FIXED BUT MY MZ KFY 5000.

4. LOAD 1 CON "UNI"  
11. JOINT LOAD  
42. 1 6 8 10 12 TO 15 . . . 100%  
46. MEMBER LOAD  
47. 1 TO 5 CON GY -1.67? 140. 0  
48. 6 TO 15 UNI GY -28.4  
49. 16 TO 25 UNI GY -64.38  
50. LOAD 2 CARGA VIVA  
51. JOINT LOAD  
52. 2 4 6 8 10 12 TO 15 FY -12947.  
53. LOAD 3 FRENAGE  
54. JOINT LOAD  
55. 2 4 6 8 10 12 TO 15 FZ 568. MX 190848  
56. LOAD 4 FUERZA CENTRIFUGA  
57. LOAD 5 VIENTO SOBRE ESTRUCT. ES VIAJE 60 G.  
58. JOINT LOAD  
59. 2 4 6 8 10 12 TO 15 FZ 358. MX 33294.  
60. 2 4 6 8 10 12 TO 15 FX 319. MZ 29684.  
61. MEMBER LOAD  
62. 1 TO 5 CON GX 507. 540. 0.  
63. 1 TO 5 CON GZ 926.2 573. 0.  
64. LOAD 6 VIENTO SOBRE C.V. ES VIAJE 60 G.  
65. JOINT LOAD  
66. 2 4 6 8 10 12 TO 15 FZ 119. MX 38080.  
67. 2 4 6 8 10 12 TO 15 FX 106.1 MZ 33944.  
68. LOAD 7 VIENTO SOBRE ESTRUCT. ES VIAJE 0 G.  
69. JOINT LOAD  
70. 2 4 6 8 10 12 TO 15 FX 938. MZ 87263.  
71. MEMBER LOAD  
72. 1 TO 5 CON GX 1014. 540. 0.  
73. LOAD 8 VIENTO SOBRE C.V. ES VIAJE 0 G.  
74. JOINT LOAD  
75. 2 4 6 8 10 12 TO 15 FX 310. MZ 99122.  
76. LOAD 9 SISMO EN Z (LONGITUDINAL)  
77. JOINT LOAD  
78. 2 4 6 8 10 12 TO 15 FZ 3497.  
79. 2 4 6 8 10 12 TO 15 FZ 536.0  
80. MEMBER LOAD  
81. 1 TO 5 CON GZ 1615. 490. 0.  
82. LOAD 10 SISMO EN X (TRANSVERSAL)  
83. JOINT LOAD  
84. 2 4 6 8 10 12 TO 15 FX 2331.  
85. 2 4 6 8 10 12 TO 15 FX 358.  
86. MEMBER LOAD  
87. 1 TO 5 CON GX 1077. 490. 0.  
88. LOAD COMB 11 GRUPO I (F=100%)  
89. 1 1. 2 1.  
90. LOAD COMB 12 GRUPO III (F=125%) VIENTO A 60 G.  
91. 1 0.8 2 0.8 3 0.8 4 0.8 5 0.24 6 0.8  
92. LOAD COMB 13 GRUPO III (F=125%) VIENTO A 0 G.  
93. 1 0.8 2 0.8 3 0.8 4 0.8 7 0.24 8 0.8  
94. LOAD COMB 14 GRUPO VII (F=133%) SISMO LONGITUDINAL  
95. 1 0.752 9 0.752 10 0.23  
96. LOAD COMB 15 GRUPO VII (F=133%) SISMO TRANSVERSAL  
97. 1 0.752 9 0.23 10 0.752

NUMBER OF JOINTS/MEMBERS+ELEMENTS/SUPPORTS = 22/ 29/ 1  
ORIGINAL/FINAL BAND-WIDTH = 17/ 3  
TOTAL PRIMARY LOAD CASES = 10, TOTAL DEGREES OF FREEDOM = 93  
SIZE OF STIFFNESS MATRIX = 1782 DOUBLE PREC. WORDS  
REQRD/AVAIL. DISK SPACE = 12.07/ 145.7 MB, EXMEM = 31.68 MB

++ PROCESSING ELEMENT STIFFNESS MATRIX. 13: 0:58  
++ PROCESSING GLOBAL STIFFNESS MATRIX. 13: 0:58  
++ PROCESSING TRIANGULAR FACTORIZATION. 13: 0:58  
++ CALCULATING JOINT DISPLACEMENTS. 13: 0:58  
++ CALCULATING MEMBER FORCES. 13: 0:58

100. LOAD LIST 11 12 13 14 15  
101. PRINT MEMBER FORCES ALL

ALL UNITS ARE IN TON MCFP.

NUMBER	LOAD	WT	AXIAL	SUMMARY	S CAP-T	TOPION	MOMENT	WIND
1	11	1	75.54	-2.79	0.00	0.00	0.00	-10.36
		2	-62.87	2.79	0.00	0.00	0.00	-11.93
	12	1	60.10	-1.87	-1.39	0.12	13.85	-6.85
		2	-49.97	1.99	1.17	-0.12	-3.20	-8.43
	13	1	59.55	-1.28	-0.84	0.09	9.29	-4.43
		2	-49.42	1.52	0.84	-0.09	-2.55	-6.42
	14	1	39.68	-0.31	-6.54	0.46	48.92	-0.72
		2	-30.15	0.56	5.32	-0.46	-0.39	-2.56
	15	1	34.77	2.27	-2.00	0.14	14.96	10.00
		2	-25.24	-1.46	1.63	-0.14	-0.12	5.67
2	11	3	93.16	-1.24	0.00	0.00	0.00	-5.05
		4	-80.49	1.24	0.00	0.00	0.00	-4.89
	12	3	74.49	-0.55	-1.35	0.08	13.86	-2.31
		4	-64.35	0.68	1.13	-0.08	-3.58	-2.45
	13	3	74.44	0.17	-0.80	0.06	9.28	0.60
		4	-64.30	0.07	0.80	-0.06	-2.86	0.16
	14	3	50.70	0.83	-6.74	0.29	49.97	3.24
		4	-41.17	-0.58	5.53	-0.29	0.21	2.60
	15	3	50.53	4.17	-2.06	0.09	15.28	16.55
		4	-41.00	-3.36	1.69	-0.09	0.06	14.27
3	11	5	92.90	0.00	0.00	0.00	0.00	0.00
		6	-80.23	0.00	0.00	0.00	0.00	0.00
	12	5	74.32	0.47	-1.35	0.00	13.91	1.84
		6	-64.18	-0.34	1.12	0.00	-3.64	1.57
	13	5	74.32	1.24	-0.80	0.00	9.31	4.94
		6	-64.18	-1.00	0.80	0.00	-2.91	4.34
	14	5	50.72	1.58	-6.81	0.00	50.33	6.33
		6	-41.19	-1.33	5.59	0.00	0.36	5.56
	15	5	50.72	5.17	-2.08	0.00	15.39	20.68
		6	-41.19	-4.36	1.71	0.00	0.11	18.19
4	11	7	93.16	1.24	0.00	0.00	0.00	5.05
		8	-80.49	-1.24	0.00	0.00	0.00	4.89
	12	7	74.56	1.43	-1.35	-0.08	13.86	5.77
		8	-64.42	-1.31	1.13	0.08	-3.58	5.38
	13	7	74.61	2.16	-0.80	-0.06	9.28	8.67
		8	-64.48	-1.92	0.80	0.06	-2.86	7.98
	14	7	50.85	2.12	-6.74	-0.29	49.97	8.49
		8	-41.32	-1.87	5.53	0.29	0.21	7.70
	15	7	51.02	5.46	-2.06	-0.09	15.28	21.80
		8	-41.49	-4.65	1.69	0.09	0.06	19.37
5	11	9	75.54	2.79	0.00	0.00	0.00	10.36
		10	-62.87	-2.79	0.00	0.00	0.00	11.93

UNIT 11 - VIEW 11

MEMBER	LOAD	JT	AXIAL	SHEAR-Y	SHEAR-Z	TORSION	MOM-Y	MOM-Z
	12	9	60.76	2.59	-1.39	-0.12	13.35	9.75
	10	-50.62	-2.47	1.17	0.12	-3.20	10.66	
	13	9	61.31	3.18	-0.84	-0.09	9.29	12.14
	10	-51.17	-2.94	0.84	0.09	-2.55	12.66	
	14	9	44.00	2.59	-6.54	-0.46	48.92	10.16
	10	-34.47	-2.34	5.32	0.46	-0.39	9.81	
	15	9	48.91	5.18	-2.00	-0.14	14.96	20.87
	10	-39.38	-4.37	1.63	0.14	-0.12	18.04	
6	11	11	0.00	0.00	0.00	0.00	0.00	0.00
		2	0.00	1.76	0.00	0.00	0.00	-0.55
	12	11	0.00	0.00	0.00	0.00	0.00	0.00
		2	0.00	1.41	0.00	0.00	0.00	-0.44
	13	11	0.00	0.00	0.00	0.00	0.00	0.00
		2	0.00	1.41	0.00	0.00	0.00	-0.44
	14	11	0.00	0.00	0.00	0.00	0.00	0.00
		2	0.00	1.32	0.00	0.00	0.00	-0.41
	15	11	0.00	0.00	0.00	0.00	0.00	0.00
		2	0.00	1.32	0.00	0.00	0.00	-0.41
7	11	2	2.79	24.04	0.00	0.00	0.00	12.48
	12	-2.79	-20.32	0.00	0.00	0.00	0.00	16.63
	12	2	2.15	18.91	-0.54	-1.29	0.12	9.21
	12	-2.15	-15.92	0.54	1.29	0.58	13.65	
	13	2	1.99	18.36	-0.39	-1.02	0.09	7.86
	12	-1.99	-15.37	0.39	1.02	0.42	14.27	
	14	2	1.18	10.69	-2.29	-0.39	0.46	2.97
	12	-1.18	-7.88	2.29	0.39	2.54	9.21	
	15	2	0.56	5.78	-0.70	-0.12	0.14	-5.26
	12	-0.56	-2.97	0.70	0.12	0.78	11.00	
8	11	12	2.79	-16.75	0.00	0.00	0.00	-16.63
		4	-2.79	20.48	0.00	0.00	0.00	-7.80
	12	12	2.31	-13.73	0.10	0.62	-0.58	-13.31
		4	-2.31	16.71	-0.10	-0.62	0.45	-6.67
	13	12	2.47	-14.28	0.07	0.50	-0.42	-13.27
		4	-2.47	17.26	-0.07	-0.50	0.34	-7.43
	14	12	1.80	-10.25	0.74	-0.39	-2.54	-9.21
		4	-1.80	13.06	-0.74	0.39	1.57	-6.09
	15	12	2.58	-15.16	0.23	-0.12	-0.78	-11.00
		4	-2.58	17.97	-0.23	0.12	0.48	-10.74
9	11	4	4.03	22.94	0.00	0.00	0.00	12.69
	13	-4.03	-19.21	0.00	0.00	0.00	0.00	14.98
	12	4	3.15	17.99	-0.39	-1.05	-0.38	9.46
	13	-3.15	-15.01	0.39	1.05	0.89	12.19	
	13	4	3.01	17.38	-0.28	-0.83	-0.28	8.28
		13	-3.01	-14.40	0.28	0.83	0.65	12.58

ALL UNITS ARE -- WCON PCTC

NUMBER	LOAD	J/T	AXIAL	SIGMAR-Y	SIGMA-L-Z	TORSION	MOM-Y	MOM-Z
14	4		1.84	9.96	-1.75	-0.18	-1.28	3.49
		13	-1.84	-7.18	1.75	0.18	3.58	7.77
	4		1.25	4.90	-0.54	-0.05	-0.39	-3.53
		13	-1.25	-2.10	0.54	0.05	1.09	8.12
10	11	13	4.03	-17.85	0.00	0.00	0.00	-14.98
		6	-4.03	21.58	0.00	0.00	0.00	-10.90
	12	13	3.31	-14.65	0.24	0.86	-0.89	-11.85
		6	-3.31	17.63	-0.24	-0.86	0.57	-9.33
	13	13	3.48	-15.25	0.17	0.69	-0.65	-11.58
		6	-3.48	18.23	-0.17	-0.69	0.42	-10.39
	14	13	2.46	-10.96	1.28	-0.18	-3.58	-7.77
		6	-2.46	13.77	-1.28	0.18	1.90	-8.46
15	13	3.27	-16.04	0.39	-0.05	-1.09	-8.12	
		6	-3.27	18.84	-0.39	0.05	0.58	-14.77
	11	11	6	4.03	21.58	0.00	0.00	10.90
		14	-4.03	-17.85	0.00	0.00	0.00	14.98
12	12	6	3.13	16.90	-0.24	-0.86	-0.57	8.11
		14	-3.13	-13.92	0.24	0.86	0.89	12.11
	13	6	2.96	16.30	-0.17	-0.69	-0.42	7.05
		14	-2.96	-13.31	0.17	0.69	0.65	12.38
	14	6	1.74	9.29	-1.28	0.18	-1.90	2.90
		14	-1.74	-6.49	1.28	-0.18	3.58	7.45
	15	6	0.93	4.21	-0.39	0.05	-0.58	-3.41
		14	-0.93	-1.41	0.39	-0.05	1.09	7.10
12	11	14	4.03	-19.21	0.00	0.00	0.00	-14.98
		8	-4.03	22.94	0.00	0.00	0.00	-12.69
	12	14	3.29	-15.74	0.39	1.05	-0.89	-11.77
		8	-3.29	18.72	-0.39	-1.05	0.38	-10.84
	13	14	3.43	-16.34	0.28	0.83	-0.65	-11.38
		8	-3.43	19.32	-0.28	-0.83	0.28	-12.02
	14	14	2.36	-11.65	1.75	0.18	-3.58	-7.45
		8	-2.36	14.45	-1.75	-0.18	1.27	-9.68
15	15	14	2.95	-16.73	0.54	0.05	-1.09	-7.10
		8	-2.95	19.53	-0.54	-0.05	0.39	-16.70
	11	8	2.79	20.48	0.00	0.00	0.00	7.80
		15	-2.79	-16.75	0.00	0.00	0.00	16.63
13	12	8	2.14	16.05	-0.10	-0.62	-0.45	5.81
		15	-2.14	-13.07	0.10	0.62	0.58	13.31
	13	8	1.99	15.50	-0.07	-0.50	-0.34	5.05
		15	-1.99	-12.52	0.07	0.50	0.42	13.34
	14	8	1.11	8.73	-0.74	0.39	-1.57	1.98
		15	-1.11	-5.93	0.74	-0.39	2.54	7.64
	15	8	0.32	3.82	-0.23	0.12	-0.48	-2.68
		15	-0.32	-1.02	0.23	-0.12	0.78	5.81

## W/W UNITS ASSEMBLED TEST RESULTS

NUMBER	LOAD	ST	AXIAL	DEFINITION	SHRINK	TORSION	WEIGHT	WOMEN
14	11	15	2.70	-20.32	0.00	0.00	0.00	-16.03
		10	-2.79	24.04	0.00	0.00	0.00	-12.48
12		15	2.30	-16.58	0.54	1.29	-0.58	-12.97
		10	-2.30	19.56	-0.54	-1.29	-0.12	-10.75
13	15		2.46	-17.13	0.39	1.02	-0.42	-12.34
		10	-2.46	20.11	-0.39	-1.02	-0.09	-12.10
14	15		1.73	-12.21	2.29	0.39	-2.54	-7.64
		10	-1.73	15.01	-2.29	-0.39	-0.47	-10.22
15		15	2.35	-17.12	0.70	0.12	-0.78	-5.85
		10	-2.35	19.92	-0.70	-0.12	-0.14	-18.45
15	11	10	0.00	1.76	0.00	0.00	0.00	0.55
		16	0.00	0.00	0.00	0.00	0.00	0.00
12	10		0.00	1.41	0.00	0.00	0.00	0.44
		16	0.00	0.00	0.00	0.00	0.00	0.00
13	10		0.00	1.41	0.00	0.00	0.00	0.44
		16	0.00	0.00	0.00	0.00	0.00	0.00
14	10		0.00	1.32	0.00	0.00	0.00	0.41
		16	0.00	0.00	0.00	0.00	0.00	0.00
15	10		0.00	1.32	0.00	0.00	0.00	0.41
		16	0.00	0.00	0.00	0.00	0.00	0.00
16	11	17	0.00	22.94	0.00	0.00	0.00	0.00
		1	0.00	-14.89	0.00	0.00	0.00	23.65
12	17		0.00	18.07	0.05	0.00	0.00	0.00
		1	0.00	-11.63	-0.05	0.00	-0.06	18.56
13	17		0.00	17.59	0.04	0.00	0.00	0.00
		1	0.00	-11.15	-0.04	0.00	-0.04	17.96
14	17		0.00	12.23	0.19	0.00	0.00	0.00
		1	0.00	-6.18	-0.19	0.00	-0.23	11.51
15	17		0.00	9.50	0.06	0.00	0.00	0.00
		1	0.00	-3.45	-0.06	0.00	-0.07	8.10
17	11	1	0.00	-11.60	0.00	0.00	0.00	-13.29
		18	0.00	20.05	0.00	0.00	0.00	-7.48
12	1	0.00	-9.67	0.05	0.00	-0.06	-0.06	-11.72
		18	0.00	16.43	-0.05	0.00	0.00	-5.41
13	1	0.00	-10.33	0.04	0.00	-0.04	-0.04	-13.53
		18	0.00	17.09	-0.04	0.00	0.00	-4.46
14	1	0.00	-6.74	0.19	0.00	-0.23	-0.23	-10.79
		18	0.00	13.09	-0.19	0.00	-0.02	-2.23
15	1	0.00	-8.79	0.06	0.00	-0.07	-0.07	-18.09
		18	0.00	15.14	-0.06	0.00	0.00	2.39
18	11	18	0.00	31.38	0.00	0.00	0.00	7.48
		3	0.00	-22.93	0.00	0.00	0.00	28.17

STRUCTURE NUMBER

ALL UNITS ARE - MTON METRIC

MEMBER	LOAD	JT	AXIAL	SHEAR-Y	SHEAR-Z	TORSION	MON-Y	MON-Z
	12	13	0.00	24.41	0.02	0.00	0.00	5.41
		3	0.00	-17.65	-0.02	0.00	-0.01	22.19
	13	18	0.00	23.25	0.02	0.00	0.00	4.46
		3	0.00	-16.49	-0.02	0.00	-0.03	21.63
	14	18	0.00	15.54	0.09	0.00	0.02	2.23
		3	0.00	-9.19	-0.09	0.00	-0.14	14.00
	15	18	0.00	10.53	0.03	0.00	0.00	-2.39
		3	0.00	-4.18	-0.03	0.00	-0.04	12.04
	19	11	3	0.00	-17.11	0.00	0.00	-23.12
		19	0.00	25.56	0.00	0.00	0.00	-4.89
	12	3	0.00	-14.53	0.04	0.00	-0.04	-19.88
		19	0.00	21.29	-0.04	0.00	-0.01	-3.62
	13	3	0.00	-15.94	0.03	0.00	-0.03	-22.22
		19	0.00	22.70	-0.03	0.00	-0.01	-3.14
	14	3	0.00	-11.49	0.14	0.00	-0.15	-17.24
		19	0.00	17.84	-0.14	0.00	-0.03	-2.01
	15	3	0.00	-18.12	0.04	0.00	-0.05	-28.59
		19	0.00	24.48	-0.04	0.00	-0.01	0.63
	20	11	19	0.00	27.85	0.00	0.00	4.89
		5	0.00	-19.40	0.00	0.00	0.00	26.12
	12	19	0.00	21.36	-0.01	0.00	0.01	3.62
		5	0.00	-14.60	0.01	0.00	0.00	19.97
	13	19	0.00	19.81	-0.01	0.00	0.01	3.14
		5	0.00	-13.05	0.01	0.00	0.00	18.42
	14	19	0.00	12.75	-0.03	0.00	0.03	2.01
		5	0.00	-6.40	0.03	0.00	0.01	10.56
	15	19	0.00	5.28	-0.01	0.00	0.01	-0.63
		5	0.00	1.08	0.01	0.00	0.00	3.38
	21	11	5	0.00	-19.40	0.00	0.00	-26.12
		20	0.00	27.85	0.00	0.00	0.00	-4.89
	12	5	0.00	-16.44	0.01	0.00	0.00	-21.82
		20	0.00	23.20	-0.01	0.00	-0.01	-4.20
	13	5	0.00	-17.99	0.01	0.00	0.00	-23.36
		20	0.00	24.75	-0.01	0.00	-0.01	-4.68
	14	5	0.00	-12.99	0.03	0.00	-0.01	-16.89
		20	0.00	19.34	-0.03	0.00	-0.03	-4.33
	15	5	0.00	-20.46	0.01	0.00	0.00	-24.06
		20	0.00	26.82	-0.01	0.00	-0.01	-6.96
	22	11	20	0.00	25.56	0.00	0.00	4.89
		7	0.00	-17.11	0.00	0.00	0.00	23.12
	12	20	0.00	19.61	-0.04	0.00	0.01	4.20
		7	0.00	-12.85	0.04	0.00	0.04	17.11
	13	20	0.00	18.20	-0.03	0.00	0.01	4.68
		7	0.00	-11.44	0.03	0.00	0.03	14.77

## MEMBER END FORCES - STRUCTURE TYPE: SPC

ALL UNITS ARE -- UTON METR

MEMBER	LOAD	JT	AXIAL	SHEAR-Y	SHEAR-Z	TORSION	"C" Y	MOM-Z
14	20	0	0.00	11.99	-0.14	0.00	0.03	4.33
		7	0.00	-5.64	0.14	0.00	0.15	7.24
15	20	0	0.00	5.36	-0.04	0.00	0.01	6.96
		7	0.00	1.00	0.04	0.00	0.05	-4.10
23	11	7	0.00	-22.93	0.00	0.00	0.00	-28.17
		21	0.00	31.38	0.00	0.00	0.00	-7.48
	12	7	0.00	-19.04	-0.02	0.00	0.04	-22.88
		21	0.00	25.80	0.02	0.00	0.00	-6.55
	13	7	0.00	-20.20	-0.02	0.00	0.03	-23.44
		21	0.00	26.96	0.02	0.00	0.00	-7.51
	14	7	0.00	-13.60	-0.09	0.00	0.14	-15.73
		21	0.00	19.96	0.09	0.00	-0.02	-6.29
	15	7	0.00	-18.61	-0.03	0.00	0.04	-17.69
		21	0.00	24.97	0.03	0.00	0.00	-10.91
24	11	21	0.00	20.05	0.00	0.00	0.00	7.48
		9	0.00	-11.60	0.00	0.00	0.00	13.29
	12	21	0.00	15.65	-0.05	0.00	0.00	6.55
		9	0.00	-8.89	0.05	0.00	0.06	9.55
	13	21	0.00	14.99	-0.04	0.00	0.00	7.51
		9	0.00	-8.23	0.04	0.00	0.04	7.73
	14	21	0.00	11.29	-0.19	0.00	0.02	6.29
		9	0.00	-4.93	0.19	0.00	0.23	4.35
	15	21	0.00	9.23	-0.06	0.00	0.00	10.91
		9	0.00	-2.88	0.06	0.00	0.07	-2.95
25	11	9	0.00	-14.89	0.00	0.00	0.00	-23.65
		22	0.00	22.94	0.00	0.00	0.00	0.00
	12	9	0.00	-12.20	-0.05	0.00	0.06	-19.27
		22	0.00	18.64	0.05	0.00	0.00	0.00
	13	9	0.00	-12.68	-0.04	0.00	0.04	-19.87
		22	0.00	19.12	0.04	0.00	0.00	0.00
	14	9	0.00	-8.58	-0.19	0.00	0.23	-14.51
		22	0.00	14.63	0.19	0.00	0.00	0.00
	15	9	0.00	-11.31	-0.06	0.00	0.07	-17.92
		22	0.00	17.36	0.06	0.00	0.00	0.00

\*\*\*\*\* END OF LATEST ANALYSIS RESULT \*\*\*\*\*

102. PRINT SUPPORT REACTIONS

UPPORT REACTIONS - GRAPHTON TEST - PRODUCT TYPE - DATA

JOINT	LOAD	FORCE-X	FORCE-Y	FORCE-Z	MOM-X	MOM-Y	MOM-Z
3	11	1.24	53.11	0.00	0.00	0.00	0.00
	12	0.55	42.31	-1.34	-13.86	0.00	0.00
	13	-0.17	42.00	-0.79	-9.28	0.00	0.00
	14	-0.83	30.03	-6.70	-49.97	0.00	0.00
	15	-4.17	28.23	-2.05	-15.28	0.00	0.00
5	11	0.00	54.10	0.00	0.00	0.00	0.00
	12	-0.47	43.28	-1.33	-13.91	0.00	0.00
	13	-1.24	43.28	-0.79	-9.31	0.00	0.00
	14	-1.58	31.34	-6.75	-50.33	0.00	0.00
	15	-5.17	31.34	-2.07	-15.39	0.00	0.00
7	11	-1.24	53.11	0.00	0.00	0.00	0.00
	12	-1.43	42.67	-1.34	-13.86	0.00	0.00
	13	-2.16	42.97	-0.79	-9.28	0.00	0.00
	14	-2.12	31.61	-6.70	-49.97	0.00	0.00
	15	-5.46	33.41	-2.05	-15.28	0.00	0.00
18	11	0.00	51.43	0.00	0.00	0.00	0.00
	12	0.00	40.84	-0.02	0.00	0.00	0.00
	13	0.00	40.34	-0.02	0.00	0.00	0.00
	14	0.00	28.63	-0.09	0.00	0.00	0.00
	15	0.00	25.67	-0.03	0.00	0.00	0.00
19	11	0.00	53.41	0.00	0.00	0.00	0.00
	12	0.00	42.64	-0.04	0.00	0.00	0.00
	13	0.00	42.50	-0.03	0.00	0.00	0.00
	14	0.00	30.59	-0.16	0.00	0.00	0.00
	15	0.00	29.75	-0.05	0.00	0.00	0.00
20	11	0.00	53.41	0.00	0.00	0.00	0.00
	12	0.00	42.81	-0.04	0.00	0.00	0.00
	13	0.00	42.95	-0.03	0.00	0.00	0.00
	14	0.00	31.33	-0.16	0.00	0.00	0.00
	15	0.00	32.17	-0.05	0.00	0.00	0.00
21	11	0.00	51.43	0.00	0.00	0.00	0.00
	12	0.00	41.45	-0.02	0.00	0.00	0.00
	13	0.00	41.95	-0.02	0.00	0.00	0.00
	14	0.00	31.24	-0.09	0.00	0.00	0.00
	15	0.00	34.20	-0.03	0.00	0.00	0.00
1	11	2.79	49.05	0.00	0.00	0.00	0.00
	12	1.87	38.80	-1.39	-13.85	0.00	0.00
	13	1.28	38.08	-0.84	-9.29	0.00	0.00
	14	0.31	26.76	-6.54	-48.92	0.00	0.00
	15	-2.27	22.53	-2.00	-14.96	0.00	0.00
9	11	-2.79	49.05	0.00	0.00	0.00	0.00
	12	-2.59	39.68	-1.39	-13.85	0.00	0.00
	13	-3.18	40.40	-0.84	-9.29	0.00	0.00
	14	-2.59	30.49	-6.54	-48.92	0.00	0.00
	15	-5.18	34.72	-2.00	-14.96	0.00	0.00
17	11	0.00	22.94	0.00	0.00	0.00	0.00
	12	0.00	18.07	0.05	0.00	0.00	0.00
	13	0.00	17.59	0.04	0.00	0.00	0.00

JOINT	LOAD	FORCE-X	FORCE-Y	FORCE-Z	MOM-X	MOM-Y	MOM-Z
22	14	0.00	12.23	0.19	0.00	0.00	0.00
	15	0.00	9.50	0.06	0.00	0.00	0.00
	11	0.00	22.94	0.00	0.00	0.00	0.00
	12	0.00	18.64	0.05	0.00	0.00	0.00
	13	0.00	19.12	0.04	0.00	0.00	0.00
	14	0.00	14.63	0.19	0.00	0.00	0.00
	15	0.00	17.36	0.06	0.00	0.00	0.00

\*\*\*\*\* END OF LATEST ANALYSIS RESULT \*\*\*\*\*

103. PRINT JOINT DISPLACEMENTS ALL

POINT	LONG	X-TRANS	Y-TRANS	Z-TRANS	X-ROTAN	Y-ROTAN	Z-ROTAN
1	11	0.0000	-0.4785	0.0000	0.0000	0.0000	-0.0001
	12	0.0000	-0.3786	0.0000	0.0000	0.0000	-0.0001
	13	0.0000	-0.3715	0.0000	0.0000	0.0000	-0.0001
	14	0.0000	-0.2611	0.0000	0.0000	0.0000	-0.0001
	15	0.0000	-0.2198	0.0000	0.0000	0.0000	-0.0002
2	11	0.0008	-0.5064	0.0000	0.0000	0.0000	-0.0002
	12	0.0257	-0.4007	0.1952	0.0004	0.0000	-0.0002
	13	0.0681	-0.3934	0.1355	0.0003	0.0000	-0.0002
	14	0.0923	-0.2752	0.6114	0.0011	0.0000	-0.0002
	15	0.3007	-0.2319	0.1870	0.0003	0.0000	-0.0003
3	11	0.0000	-0.5058	0.0000	0.0000	0.0000	-0.0001
	12	0.0000	-0.4029	0.0000	0.0000	0.0000	-0.0001
	13	0.0000	-0.4000	0.0000	0.0000	0.0000	-0.0001
	14	0.0000	-0.2860	0.0000	0.0000	0.0000	-0.0001
	15	0.0000	-0.2689	0.0000	0.0000	0.0000	-0.0002
4	11	0.0005	-0.5406	0.0000	0.0000	0.0000	-0.0001
	12	0.0254	-0.4308	0.1978	0.0004	0.0000	-0.0001
	13	0.0678	-0.4279	0.1373	0.0003	0.0000	-0.0001
	14	0.0921	-0.3045	0.6212	0.0011	0.0000	-0.0001
	15	0.3005	-0.2873	0.1900	0.0003	0.0000	-0.0002
5	11	0.0000	-0.5153	0.0000	0.0000	0.0000	0.0000
	12	0.0000	-0.4122	0.0000	0.0000	0.0000	0.0000
	13	0.0000	-0.4122	0.0000	0.0000	0.0000	0.0000
	14	0.0000	-0.2984	0.0000	0.0000	0.0000	0.0000
	15	0.0000	-0.2984	0.0000	0.0000	0.0000	-0.0001
6	11	0.0000	-0.5500	0.0000	0.0000	0.0000	0.0000
	12	0.0250	-0.4400	0.1988	0.0004	0.0000	0.0000
	13	0.0674	-0.4400	0.1381	0.0003	0.0000	0.0000
	14	0.0918	-0.3169	0.6249	0.0011	0.0000	0.0000
	15	0.3002	-0.3169	0.1911	0.0003	0.0000	-0.0001
7	11	0.0000	-0.5058	0.0000	0.0000	0.0000	0.0001
	12	0.0000	-0.4064	0.0000	0.0000	0.0000	0.0000
	13	0.0000	-0.4092	0.0000	0.0000	0.0000	0.0000
	14	0.0000	-0.3011	0.0000	0.0000	0.0000	0.0000
	15	0.0000	-0.3182	0.0000	0.0000	0.0000	-0.0001
8	11	-0.0005	-0.5406	0.0000	0.0000	0.0000	0.0001
	12	0.0246	-0.4342	0.1978	0.0004	0.0000	0.0000
	13	0.0670	-0.4371	0.1373	0.0003	0.0000	0.0000
	14	0.0916	-0.3196	0.6212	0.0011	0.0000	0.0000
	15	0.3000	-0.3368	0.1900	0.0003	0.0000	-0.0001
9	11	0.0000	-0.4785	0.0000	0.0000	0.0000	0.0001
	12	0.0000	-0.3871	0.0000	0.0000	0.0000	0.0001
	13	0.0000	-0.3942	0.0000	0.0000	0.0000	0.0001
	14	0.0000	-0.2975	0.0000	0.0000	0.0000	0.0000
	15	0.0000	-0.3388	0.0000	0.0000	0.0000	-0.0001
10	11	-0.0008	-0.5064	0.0000	0.0000	0.0000	0.0002
	12	0.0243	-0.4095	0.1952	0.0004	0.0000	0.0001
	13	0.0668	-0.4168	0.1355	0.0003	0.0000	0.0001

JOINT POSITION COORDINATES (MM) X Y Z

JOINT	LINK	X-TRANS	Y-TRANS	Z-TRANS	X-ROTAN	Y-ROTAN	Z-ROTAN
11	11	0.0914	-0.3133	0.6114	0.0011	0.0000	0.0000
	15	0.2998	-0.3565	0.1870	0.0003	0.0000	-0.0001
	11	0.0008	-0.4958	0.0000	0.0000	0.0000	-0.0002
	12	0.0257	-0.3912	0.1945	0.0004	0.0000	-0.0002
	13	0.0681	-0.3822	0.1350	0.0003	0.0000	-0.0002
	14	0.0923	-0.2653	0.6087	0.0011	0.0000	-0.0002
12	15	0.3007	-0.2118	0.1862	0.0003	0.0000	-0.0003
	11	0.0007	-0.5346	0.0000	0.0000	0.0000	-0.0001
	12	0.0255	-0.4248	0.1967	0.0004	0.0000	-0.0001
	13	0.0680	-0.4200	0.1365	0.0003	0.0000	-0.0001
	14	0.0922	-0.2963	0.6172	0.0011	0.0000	-0.0001
13	15	0.3007	-0.2679	0.1888	0.0003	0.0000	-0.0002
	11	0.0003	-0.5548	0.0000	0.0000	0.0000	0.0000
	12	0.0252	-0.4430	0.1986	0.0004	0.0000	0.0000
	13	0.0677	-0.4416	0.1379	0.0003	0.0000	0.0000
	14	0.0920	-0.3157	0.6243	0.0011	0.0000	0.0000
14	15	0.3004	-0.3075	0.1909	0.0003	0.0000	-0.0001
	11	-0.0003	-0.5548	0.0000	0.0000	0.0000	0.0000
	12	0.0248	-0.4446	0.1986	0.0004	0.0000	0.0000
	13	0.0673	-0.4460	0.1379	0.0003	0.0000	0.0000
	14	0.0917	-0.3230	0.6243	0.0011	0.0000	0.0000
15	15	0.3002	-0.3312	0.1909	0.0003	0.0000	-0.0001
	11	-0.0007	-0.5346	0.0000	0.0000	0.0000	0.0001
	12	0.0244	-0.4306	0.1967	0.0004	0.0000	0.0001
	13	0.0669	-0.4354	0.1365	0.0003	0.0000	0.0001
	14	0.0915	-0.3213	0.6172	0.0011	0.0000	0.0000
16	15	0.3000	-0.3498	0.1888	0.0003	0.0000	-0.0001
	11	-0.0008	-0.4958	0.0000	0.0000	0.0000	0.0002
	12	0.0243	-0.4020	0.1945	0.0004	0.0000	0.0001
	13	0.0668	-0.4111	0.1350	0.0003	0.0000	0.0001
	14	0.0914	-0.3124	0.6087	0.0011	0.0000	0.0000
17	15	0.2998	-0.3659	0.1862	0.0003	0.0000	-0.0001
	11	0.0000	-0.4588	0.0000	0.0000	0.0000	-0.0002
	12	0.0000	-0.3613	0.0000	0.0000	0.0000	-0.0001
	13	0.0000	-0.3518	0.0000	0.0000	0.0000	-0.0002
	14	0.0000	-0.2446	0.0000	0.0000	0.0000	-0.0001
18	15	0.0000	-0.1901	0.0000	0.0000	0.0000	-0.0002
	11	0.0000	-0.4898	0.0000	0.0000	0.0000	-0.0001
	12	0.0000	-0.3890	0.0000	0.0000	0.0000	-0.0001
	13	0.0000	-0.3842	0.0000	0.0000	0.0000	-0.0001
	14	0.0000	-0.2727	0.0000	0.0000	0.0000	-0.0001
19	15	0.0000	-0.2445	0.0000	0.0000	0.0000	-0.0002
	11	0.0000	-0.5087	0.0000	0.0000	0.0000	0.0000
	12	0.0000	-0.4061	0.0000	0.0000	0.0000	0.0000
	13	0.0000	-0.4048	0.0000	0.0000	0.0000	0.0000
	14	0.0000	-0.2914	0.0000	0.0000	0.0000	0.0000
20	15	0.0000	-0.2834	0.0000	0.0000	0.0000	-0.0001
	11	0.0000	-0.5087	0.0000	0.0000	0.0000	0.0000

JOINT	LOAD	X-TRANS	Y-TRANS	Z-TRANS	X-ROTIN	Y-ROTIN	Z-ROTIN
	12	0.0000	-0.4077	0.0000	0.0000	0.0000	0.0000
	13	0.0000	-0.4091	0.0000	0.0000	0.0000	0.0000
	14	0.0000	-0.2981	0.0000	0.0000	0.0000	0.0000
	15	0.0000	-0.3064	0.0000	0.0000	0.0000	-0.0001
21	11	0.0000	-0.4898	0.0000	0.0000	0.0000	0.0001
	12	0.0000	-0.3947	0.0000	0.0000	0.0000	0.0001
	13	0.0000	-0.3995	0.0000	0.0000	0.0000	0.0001
	14	0.0000	-0.2975	0.0000	0.0000	0.0000	0.0000
	15	0.0000	-0.3257	0.0000	0.0000	0.0000	-0.0001
22	11	0.0000	-0.4588	0.0000	0.0000	0.0000	0.0002
	12	0.0000	-0.3728	0.0000	0.0000	0.0000	0.0001
	13	0.0000	-0.3823	0.0000	0.0000	0.0000	0.0001
	14	0.0000	-0.2927	0.0000	0.0000	0.0000	0.0000
	15	0.0000	-0.3472	0.0000	0.0000	0.0000	-0.0001

\*\*\*\*\* END OF LATEST ANALYSIS RESULT \*\*\*\*\*

```

104. *START CONCRETE DESIGN
105. *CODE ACI
06. *FC 250. ALL
107. *FYMAIN 4200. ALL
108. *FYSEC 4200. ALL
109. *MMAG 1.1 MEMB 1 TO 5
110. *TRACK 2. ALL
111. *DESIGN BEAM 6 TO 25
112. *DESIGN COLUMN 1 TO 5
113. *END CONCRETE DESIGN
114. FINISH

```

\*\*\*\*\* END OF STAAD-III \*\*\*\*\*

\*\*\*\* DATE= JUN 10,1999 TIME= 13: 0:59 \*\*\*\*

```

*****
*      For questions on STAAD-III, contact:      *
*      Research Engineers, Inc at                  *
*      Ph: (714) 974-2500   Fax: (714) 921-2543   *
*****

```

HII-15

STRUCTURE DATA

TYPE = SPACE

NJ = 22

NH = 25

NE = 0

NS = 11

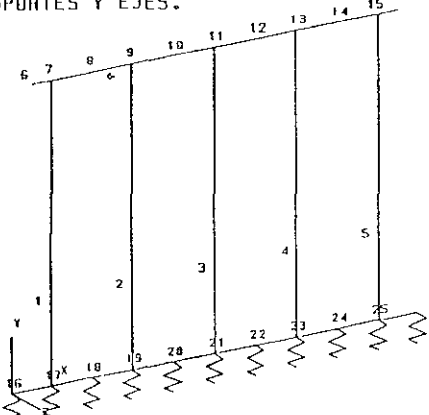
NL = 15

XMAX= 1300.0

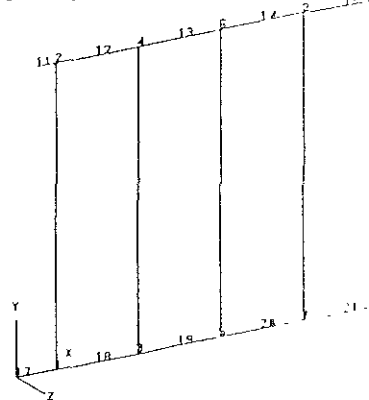
YMAX= 000.0

ZMAX= 0.0

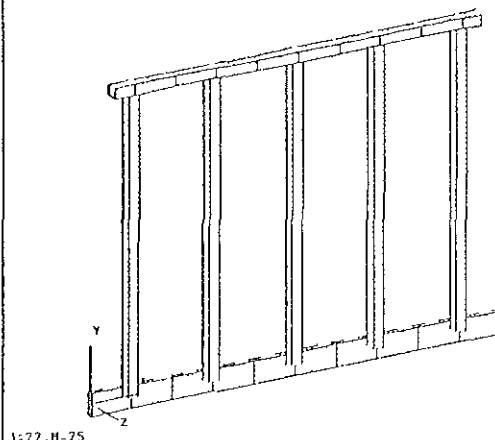
PILAS: SE INDICAN NUM. DE ELEM.  
SOPORTES Y EJES.



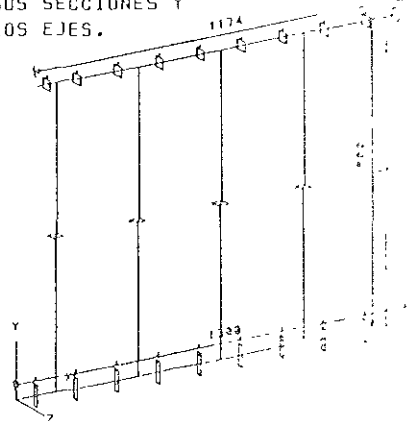
PILAS: SE HUESTRAN LOS NUDOS Y  
LOS EJES.



PILAS: SE MUESTRA EN 3D Y LOS EJES



PILAS: SE INDICAN DIMENSIONES  
SUS SECCIONES Y  
LOS EJES.



USER ID: GRUPO CONS. CARS SA DE CV

S T A A D P O S T - P L O T ( R E V : 21.0 )

TITLE: PILAS PUENTE SANTA ELENA

DATUM: 1991.2

MII-16

STRUCTURE DATA

TYPE = SPACE

NJ = 22

NH = 25

NE = 0

NS = 11

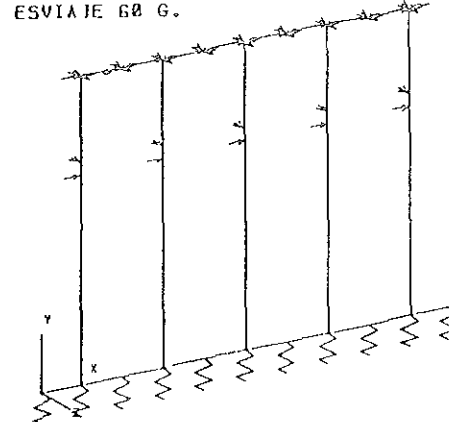
NL = 15

XMAX= 1300.0

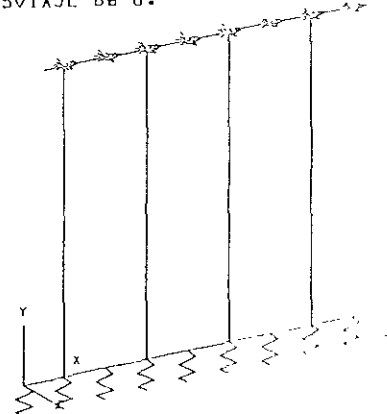
YMAX= 800.0

ZMAX= 0.0

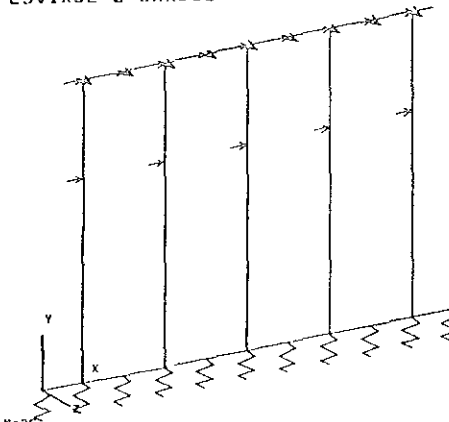
CARGA 5: VIENTO S/ESTRUC. LH= 5  
ESVIAJE 60 G.



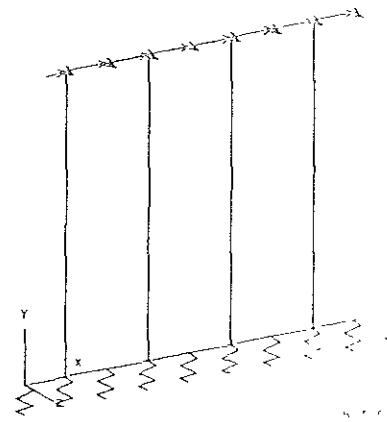
CARGA 6: VIENTO S/C.V.  
ESVIAJE 60 G.



CARGA 7: VIENTO S/ESTRUC. LH= 7  
ESVIAJE 0 GRADOS.



CARGA 8: VIENTO S/C.V.  
ESVIAJE 0 GRADOS.



USER ID: GRUPO CONS. CABSA SA DE CV

S T A A D P O S T - P L O T ( R E V : 21 . 0 )

TITLE: PILAS PUENTE SANTA ELENA

DATE: 07/04/2011

III-17

LIN= 9

CARGA 8: SISMO LONGITUDINAL

STRUCTURE DATA

TYPE = SPACE

NJ = 22

NM = 25

NE = 0

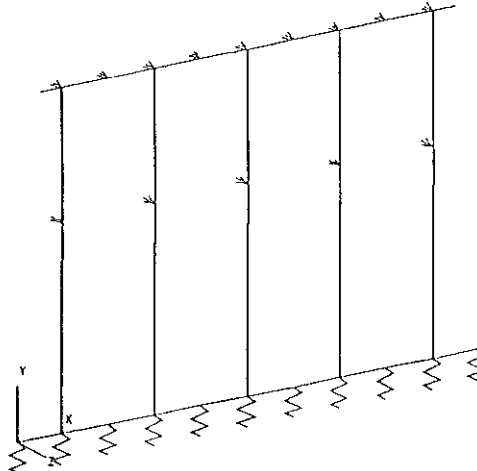
NS = 11

NU = 15

XMAX= 1300.0

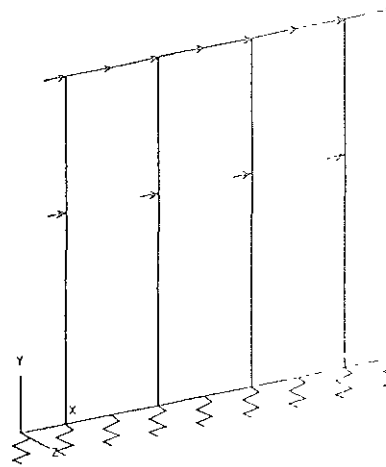
YMAX= 800.0

ZMAX= 0.0



J=22,M=25

CARGA 10: SISMO TRANSVERSAL.



USER ID: GRUPO CONS. CABA SA DE CV

STA A D P O S T - P L O T (REV: 21.0 )

TITLE: PILAS PUENTE SANTA ELENA

DATE: 2016-12-

III-18

STRUCTURE DATA

TYPE = SPACE

NJ = 22

NN = 25

NE = 0

NS = 11

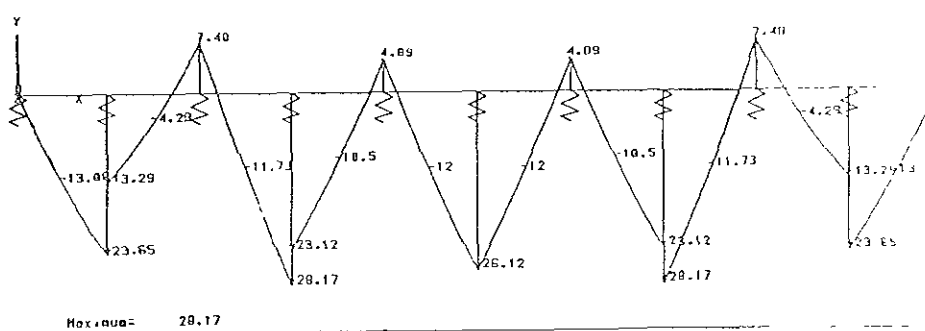
NL = 15

XMAX= 13.8

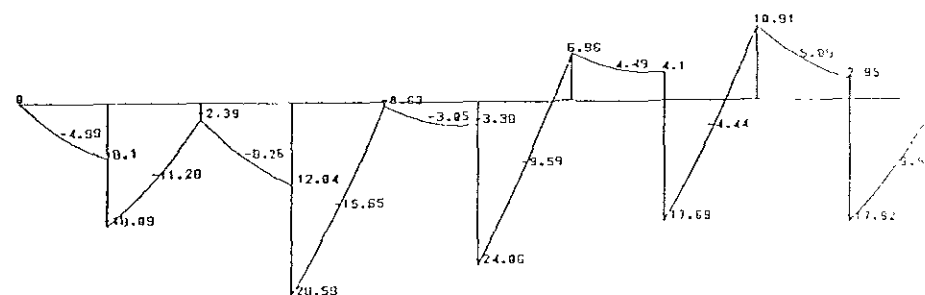
YMAX= 0.0

ZMAX= 0.0

CONTRABE: DIAGRAMA DE MOMENTOS GRUPO I DE CARGAS



CONTRABE: DIAGRAMA DE MOMENTOS GRUPO VII DE CARGAS  
SISTEMA TRANSVERSAL



S T A A D P O S T - P L O T (REV: 21.0 )

USER ID:GRUPO CONS. CABSA SA DE CV

TITLE: PELAS PUENTE SANTA ELENA

DATE: JUN 7, 1

ESTRUCTURA

STRUCTURE DATA

TYPE = SPACE

NJ = 22

NM = 25

NE = 0

NS = 11

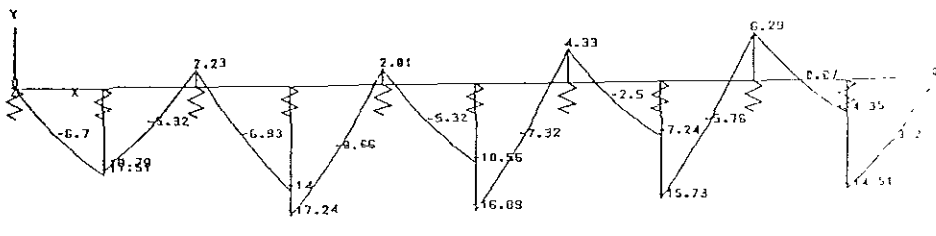
NL = 15

XMAX= 13.0

YMAX= 0.0

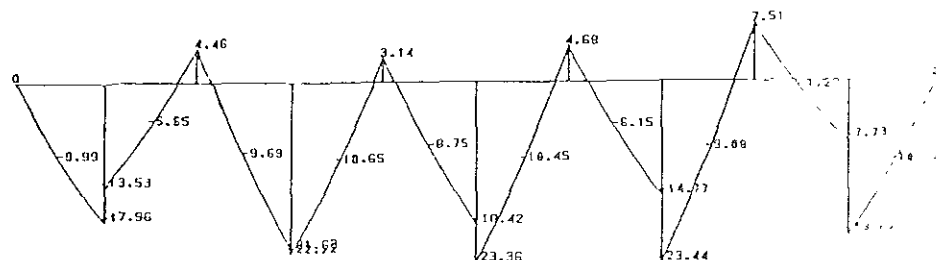
ZMAX= 0.0

CONTRARBAJE: MOMENTOS GRUPO VII DE CARGAS  
SISMO LONGITUDINAL.



CONTRARBAJE: MOMENTOS GRUPO III DE CARGAS  
VIENTO ESVIAJADO A 0 GRADOS.

REPORT PAGE 13



J=22,M=25

Maxload= 23.44

S T A A D P O S T - P L O T (REV: 21.0 )

DATE: 08/01/01

USER ID: GRUPO CONS. CABSA SA DE CV

TITLE: PILAS PUENTE SANTA ELENA

CONTRARRABE: CORTANTE BAJO GRUPO I DE CARGAS  
\*GRUPO CRITICO\*

SHEAR FORCE - 11

STRUCTURE DATA

TYPE = SPACE

NJ = 22

NR = 25

NE = 0

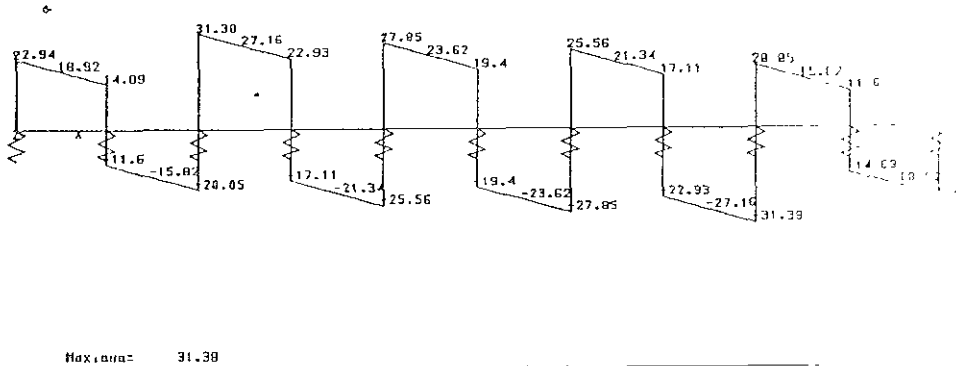
NS = 11

NL = 15

XMAX= 13.8

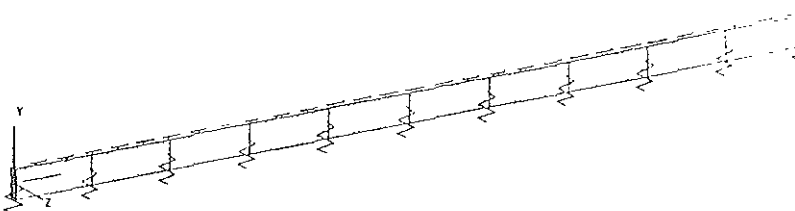
YMAX= 8.8

ZMAX= 8.0



CONTRARRABE: VISTA EN 3D MOSTRANDO EJES Y SOPORTES

III-20



J=22, R=25

USER ID: GRUPO CONS. CABSA SA DE CV

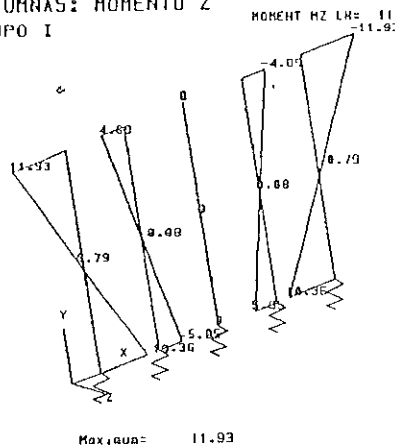
S T A D P O S T - P L O T (REV: 21.0 )

TITLE: PILAS PUENTE SANTA ELENA

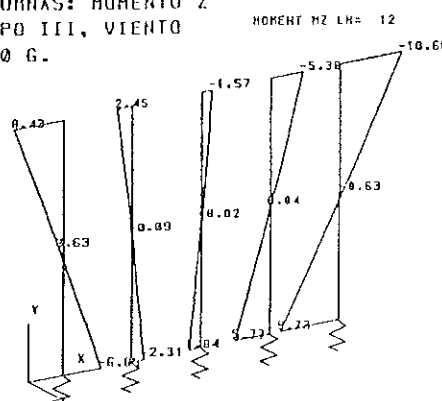
DATE: 06/12/

STRUCTURE DATA  
 TYPE = SPACE  
 NJ = 22  
 NH = 25  
 NE = 0  
 NS = 11  
 NL = 15  
 XMAX= 13.0  
 YMAX= 0.0  
 ZMAX= 0.0

COLUMNAS: MOMENTO Z  
 GRUPO I



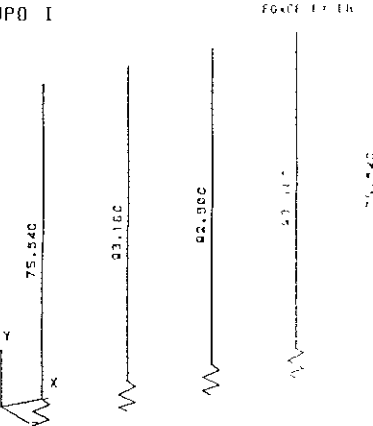
COLUMNAS: MOMENTO Z  
 GRUPO III, VIENTO  
 A 60 G.



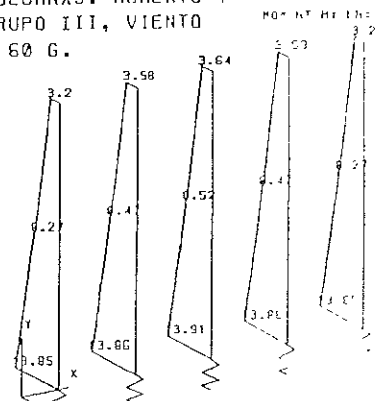
J=22, H=25

Max. value= 10.66

COLUMNAS: CARGA AXIAL  
 GRUPO I



COLUMNAS: MOMENTO Y  
 GRUPO III, VIENTO  
 A 60 G.



III-22

STRUCTURE DATA

TYPE = SPACE

NJ = 22

NM = 25

NE = 0

NS = 11

NL = 15

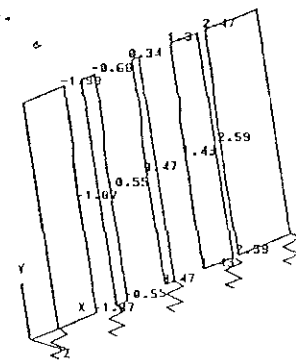
XMAX= 13.8

YMAX= 8.8

ZMAX= 8.8

COLUMNAS: CORTANTE Y  
GRUPO III, VIENTO  
A 60 G.

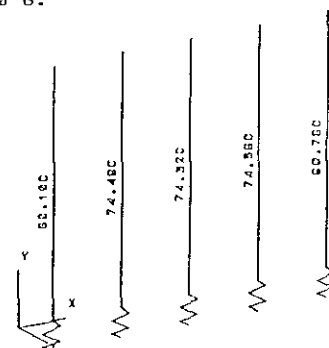
SHEAR FY LR= 12



Maximum= 2.59

COLUMNAS: FZ-AXIAL  
GRUPO III, VIENTO  
A 60 G.

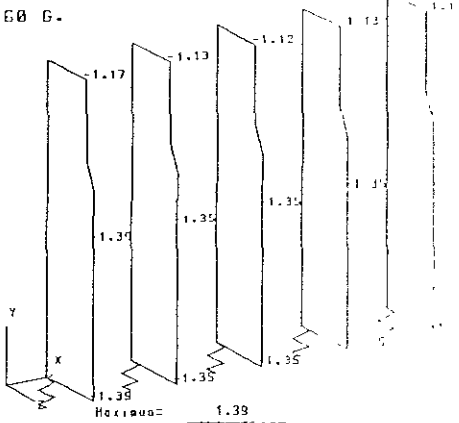
FORCE FY LR= 12



J=22,M=25

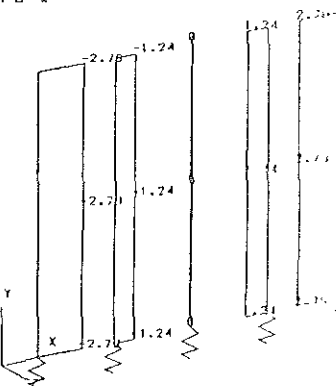
COLUMNAS: CORTANTE Z  
GRUPO III, VIENTO  
A 60 G.

SHEAR FY LR= 12



COLUMNAS: CORTANTE Y  
GRUPO I

SHEAR FY LR= 11



Maximum= 2.79

USER ID: GRUPO CONS. CABSA SA DE CV

S T A K O P O S T - P L O T (REV: 21.0 )

TITLE: PILAS PUENTE SANTA ELENA

DATE: JUN 12, 1990

III-23

STRUCTURE DATA

TYPE = SPACE

NJ = 22

NH = 25

NE = 0

NS = 11

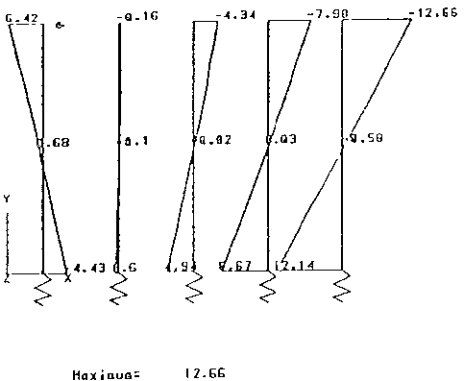
HL = 15

XMAX= 13.0

YMAX= 8.0

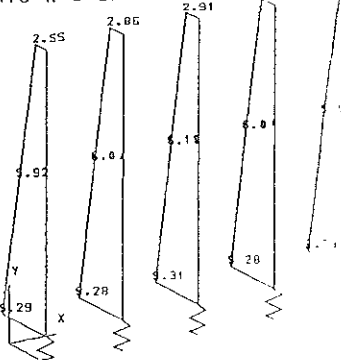
ZMAX= 8.0

COLUMNAS: MOMENTO Z  
GRUPO III, VIENTO  
A 0 GRADOS



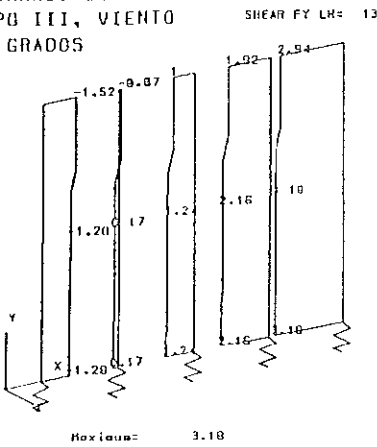
MOMENT HZ LH= 13

COLUMNAS: MOMENTO Y  
GRUPO III DE CARGAS  
VIENTO A 0 GRADOS



MOMENT HY LH= 13

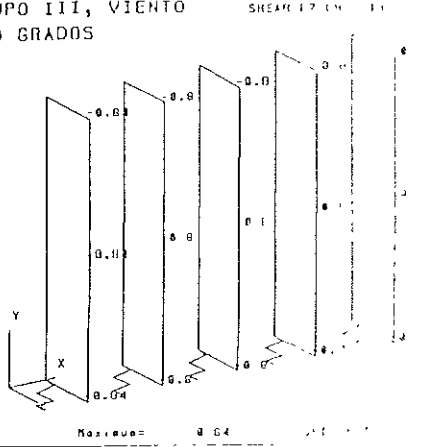
COLUMNAS: CORTANTE Y  
GRUPO III, VIENTO  
A 0 GRADOS



J=22, H=25

Max shear= 3.18

COLUMNAS: CORTANTE Z  
GRUPO III, VIENTO  
A 0 GRADOS



SHEAR FZ LH= 13

S T A A D P O S T - P L O T ( R E V : 21.0 )

USER ID: GRUPO CONS. CABSA SA DE CV

TITLE: PILAS PUENTE SANTA ELENA

DATE: 10/10/2011

COLUMNAS: FZA.AXIAL  
GRUPO III, VIENTO  
A Ø GRADOS

FORCE FX LH= 13

## STRUCTURE DATA

TYPE = SPACE

NJ = 22

NM = 25

NE = 0

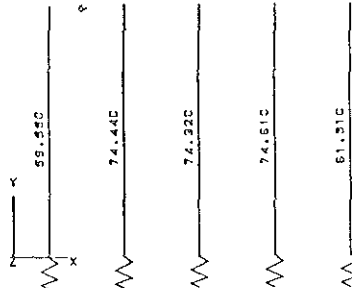
NS = 11

NL = 15

XMAX= 13.0

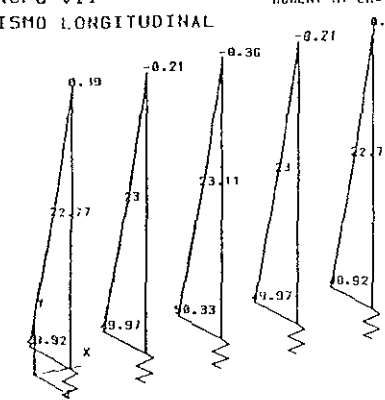
YMAX= 0.0

ZMAX= 0.0



COLUMNAS: MOMENTO Y  
GRUPO VII  
SISMO LONGITUDINAL

MOMENT HY LH= 14



J=22, M=25

Maxvalue= 0.39

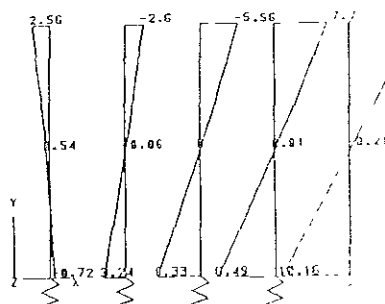
STA A D P O S T - P L O T (REV: 21.0)

USER ID: GRUPO CONS. CABSA SA DE CV

TITLE: PILAS PUENTE SANTA ELENA

COLUMNAS: MOMENTO Z  
GRUPO VII, SISMO  
LONGITUDINAL

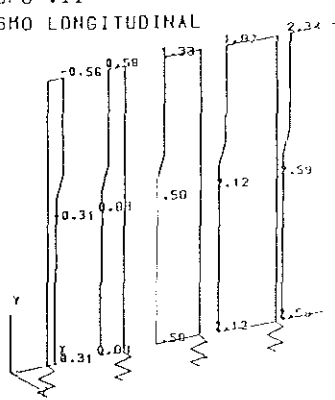
ROT-CHT HZ LH= 14



Maxvalue= 10.15

COLUMNAS: CORTANTE Y  
GRUPO VII  
SISMO LONGITUDINAL

SHEAR FY LH= 14



Maxvalue= 1.12

DATE: 10/10/11

## STRUCTURE DATA

TYPE = SPACE

**MJ = 2**

RH = 2

HC =

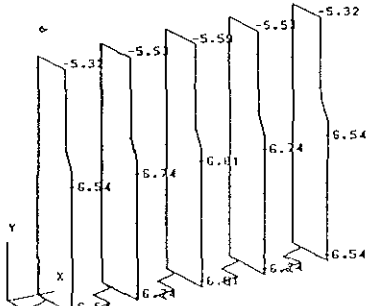
RS = 1

NL = 15

XMAX= 13.0

YMAX= 8.8

**LUMBRAS: LORTARIO Z  
GRUPO VII  
SISMO LONGITUDINAL**

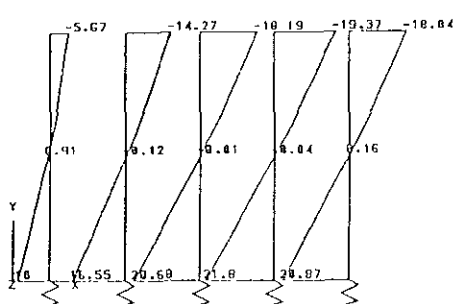


Max-Planck 6-81

COLUMNAS: MOMENTO Z

GEOGRAPHY

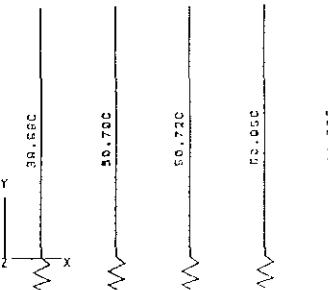
## **GROUPE VIII SIGMO TRANSVERSAL**



J=22, M=25

Max (avg)= 21.00

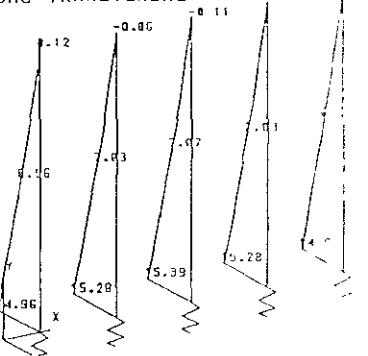
COLUMNAS: FZA.AXIAL FORCE FZ 14-1  
GRUPO VII  
SISMO LONGITUDINAL



#### 1. COLUMNAS: MOMENTO X

**COLUMNS.**

## GRUPO VII



Maxwell 15-32

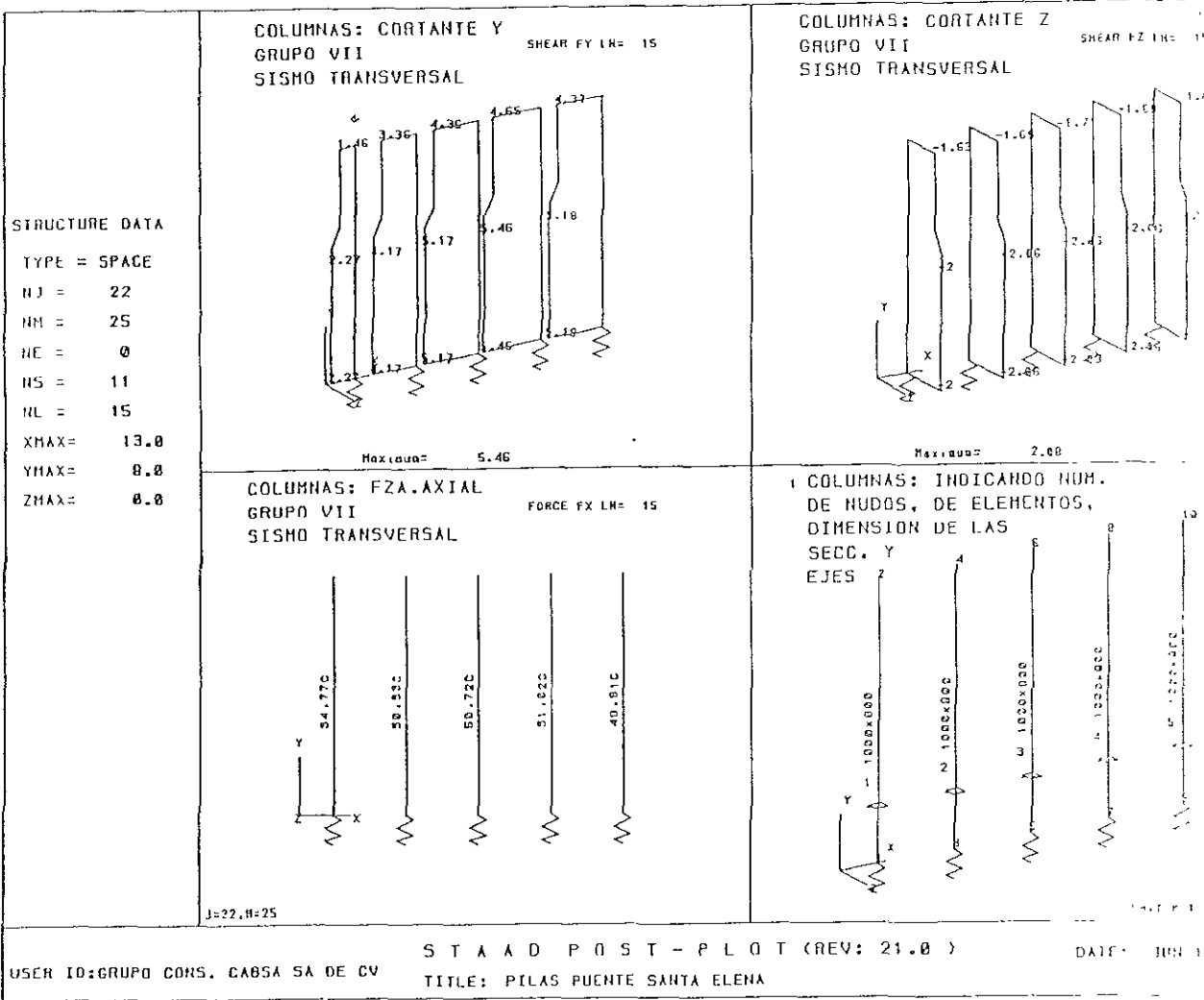
| 555-6

USER ID: CRUBO\_GAUS\_CABSL\_SA DE CU

TITLE: PIAS PUENTE SANTA ELENA

**21.08**

DATA :  $\{w_i\}_{i=1}^n$



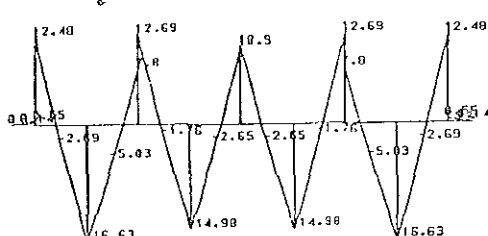
12-1

```

STRUCTURE DATA
TYPE = SPACE
NJ = 22
NH = 25
RE = 0
RS = 11
RL = 15
XMAX= 13.0
YMAX= 0.0
ZMAX= 0.0

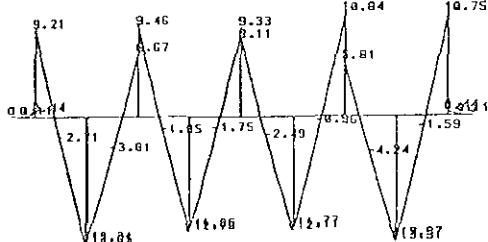
```

CABEZAL: MOMENTO 2  
GRUPO I



Max (DPI) 16,63

CABEZAL: MOMENTO Z  
GRUPO III, VIENTO  
A 60 GRADOS



J=22, N=25

Max. value 13.65

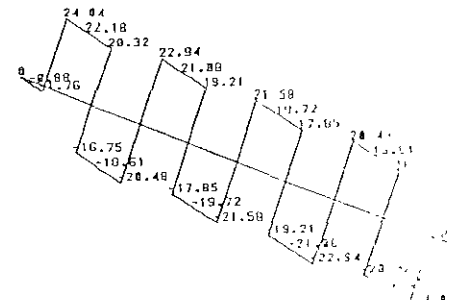
S T A A D, P O S T - P L O T (REV: 21.0)

USERR 10:GRUPO CONS. CABSA SA DE CV

TITLE: BILAS PUENTE SANTA ELENA

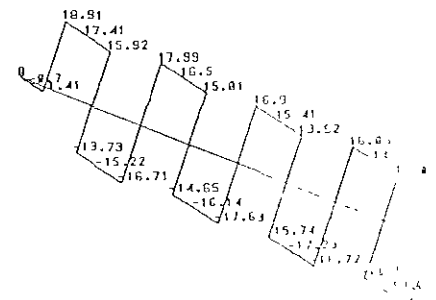
DATE: 2/19/2013

CABEZAL: CORTANTE Y SHAPFR (K-  
GRUPO I)

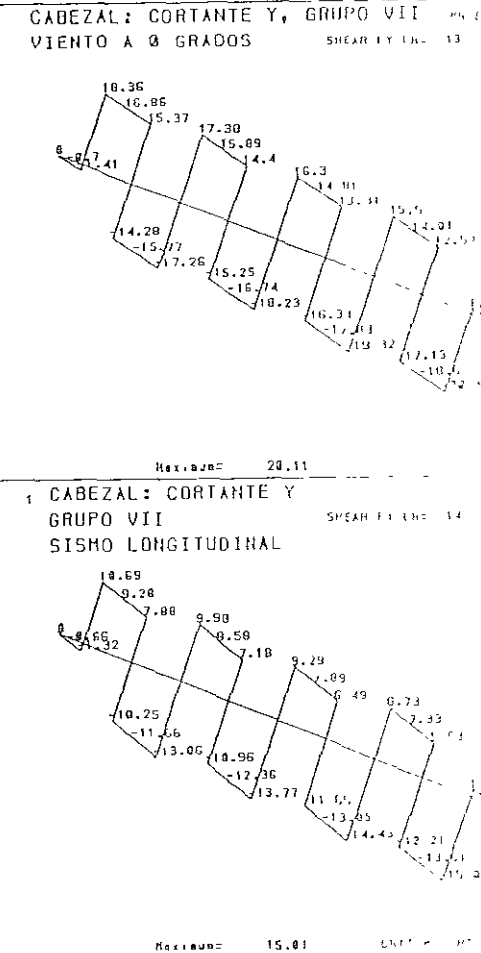
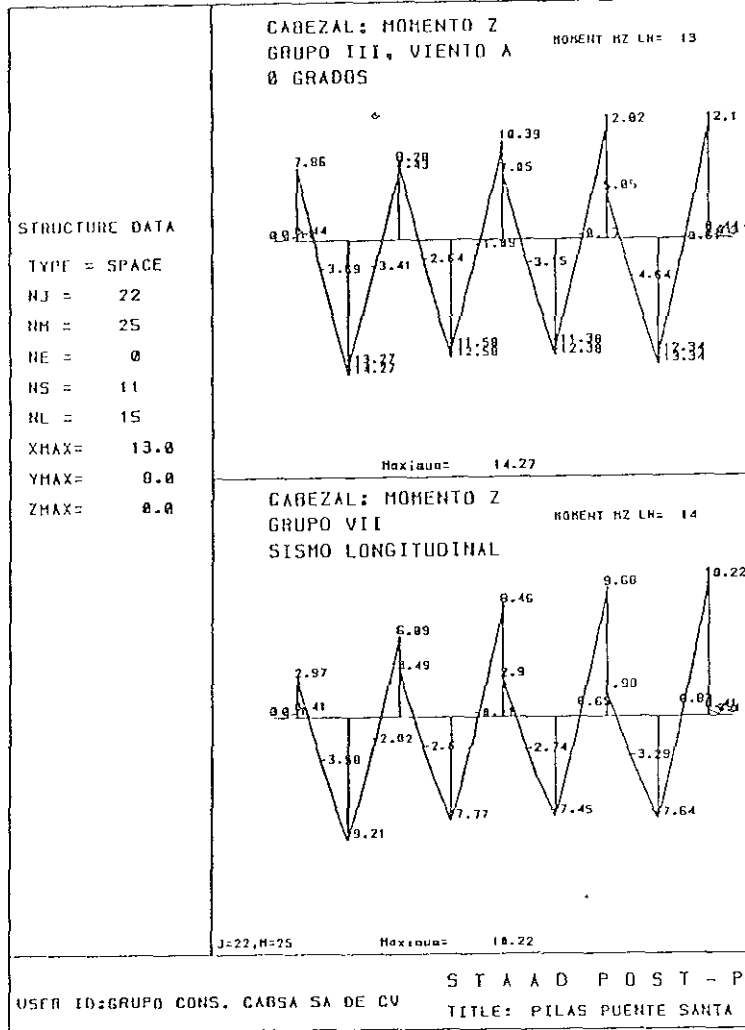


~~Max. sum=~~ 24.04

1 CABEZAL: CORTANTE Y  
GRUPO III, VIENTO A SHEAR LINE  
60 GRADOS



Казахстан 19-20



H-III-29

STRUCTURE DATA

TYPE = SPACE

NJ = 22

NR = 25

NE = 0

NS = 11

NL = 15

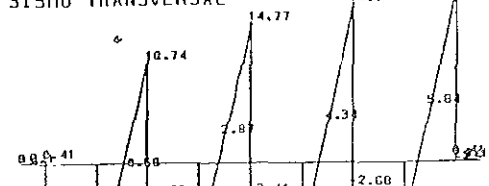
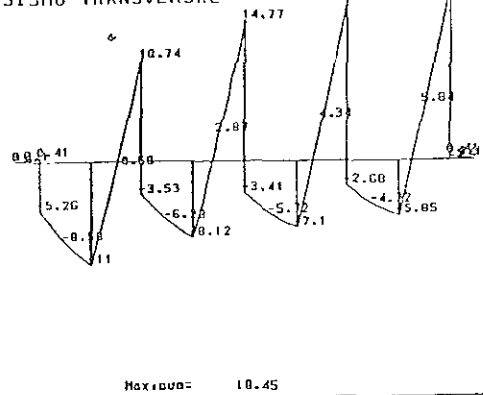
XMAX= 13.0

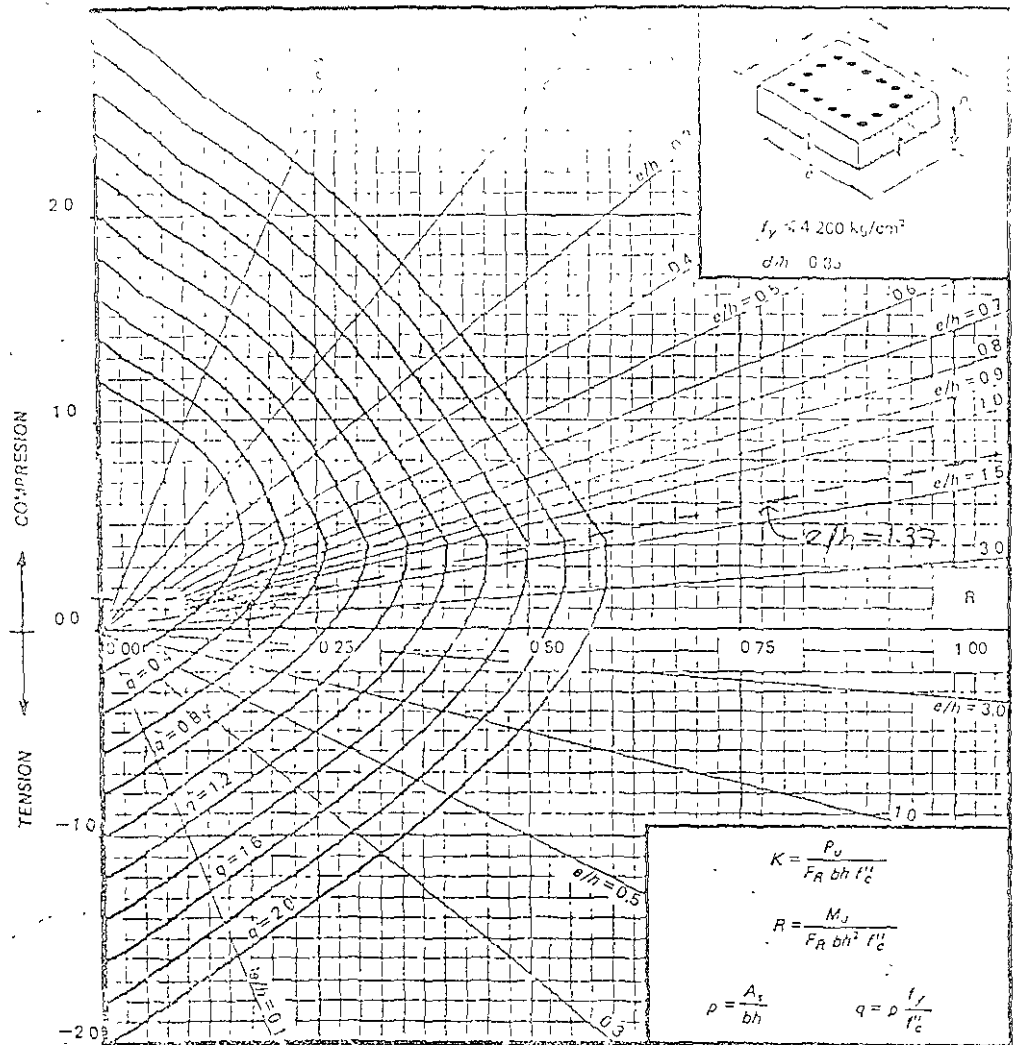
YMAX= 6.0

ZMAX= 0.0

CABEZAL: MOMENTO Z  
GRUPO VII  
SISMO TRANSVERSAL

MOMENT MZ LH= 15





$A_s$  = Área total de refuerzo

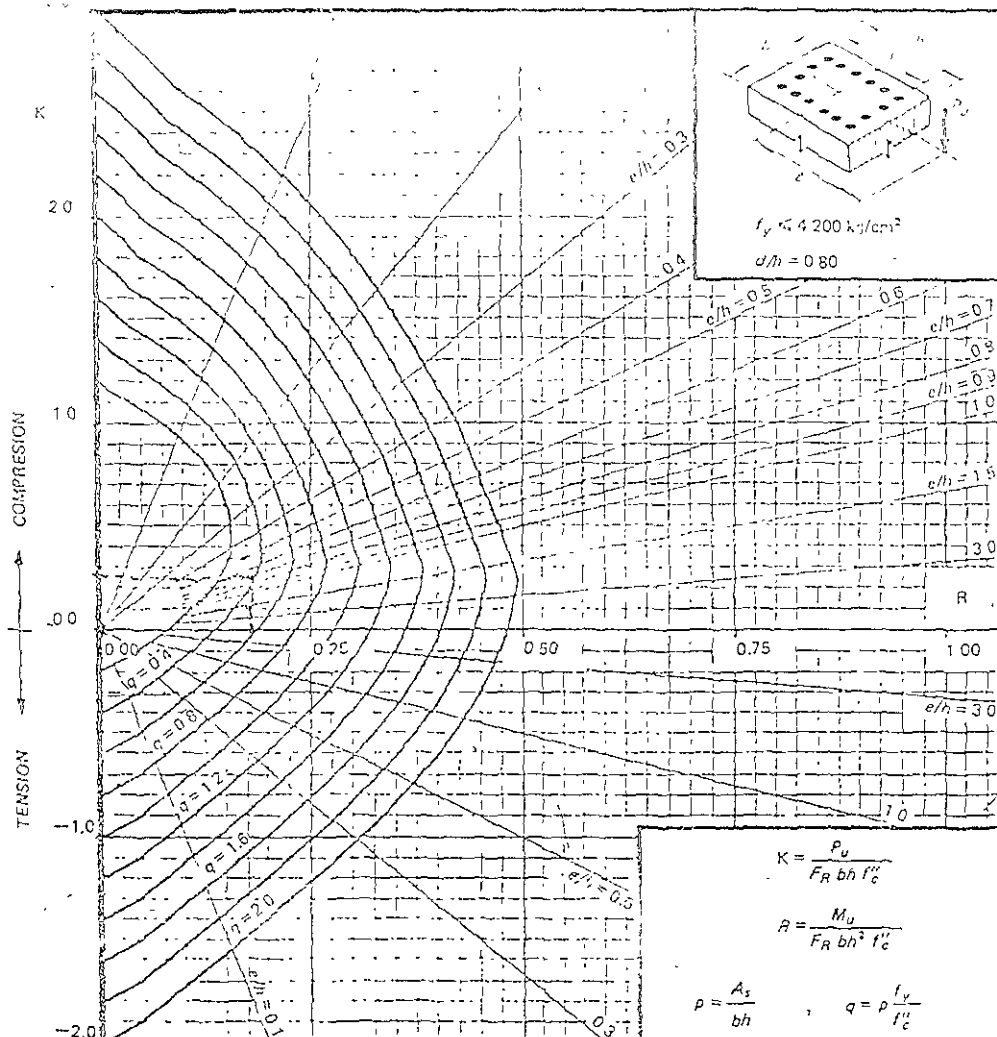
$f'_c'' = 0.85 f'_c$ , si  $f'_c < 280 \text{ kg/cm}^2$ ;  $f'_c'' = (1.05 - \frac{f'_c}{1420}) f'_c$ , si  $f'_c > 280 \text{ kg/cm}^2$

$F_R$  = Factor de reducción de resistencia

$P_u$  = Carga a-tal dada

$M_u$  = Momento flexorante último

Figura C.7



$A_s$  = Área total de refuerzo  
 $f'_c = 0.85 f_c^*$ , si  $f_c^* \leq 260 \text{ kg/cm}^2$ ,  $f'_c = (1.05 - \frac{f_c^*}{1400}) f_c^*$ , si  $f_c^* > 280 \text{ kg/cm}^2$

$F_R$  = Factor de reducción de resistencia

$P_u$  = Carga axial Última

$M_u$  = Momento flexionante Último

Figura C.8

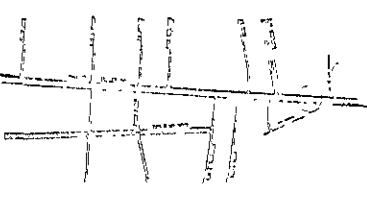
# ANEXO 4

## Planos

NOMENCLATURA ESTACIONES

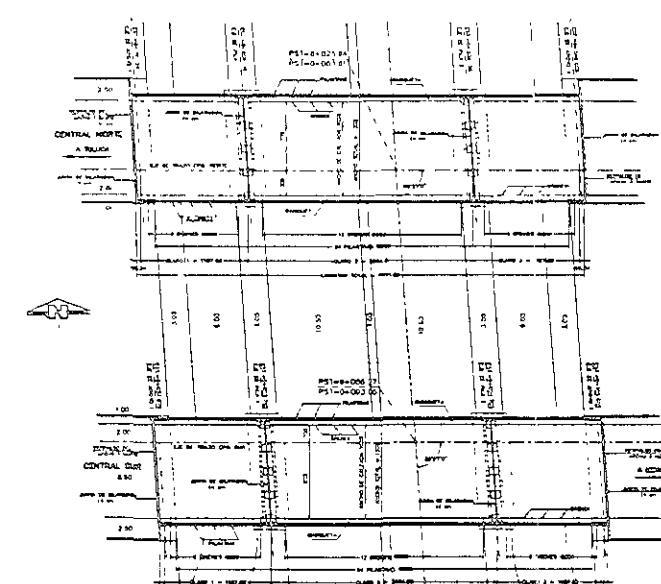
PROYECTO: UNIDAD DE GASES SANTA LUCIA  
LOCALIDAD: PALEO TECOCAN - LOMA HABENDA CALLENA  
TOLUCA, ESTADO DE MEXICO  
ESTACION: KM 20.64 CENTRAL NORTE  
KM 04.24 CENTRAL SUR  
PLANO: PLANO GENERAL  
CLAVE: EPZ-01

CROQUIS DE LOCALIZACION

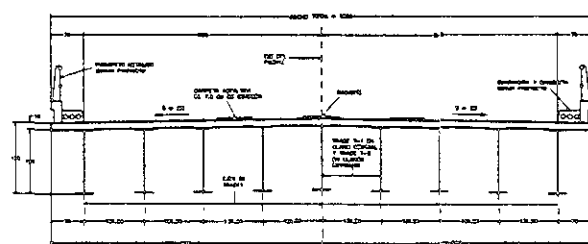


NOTA:  
PLANO PROYECTAR

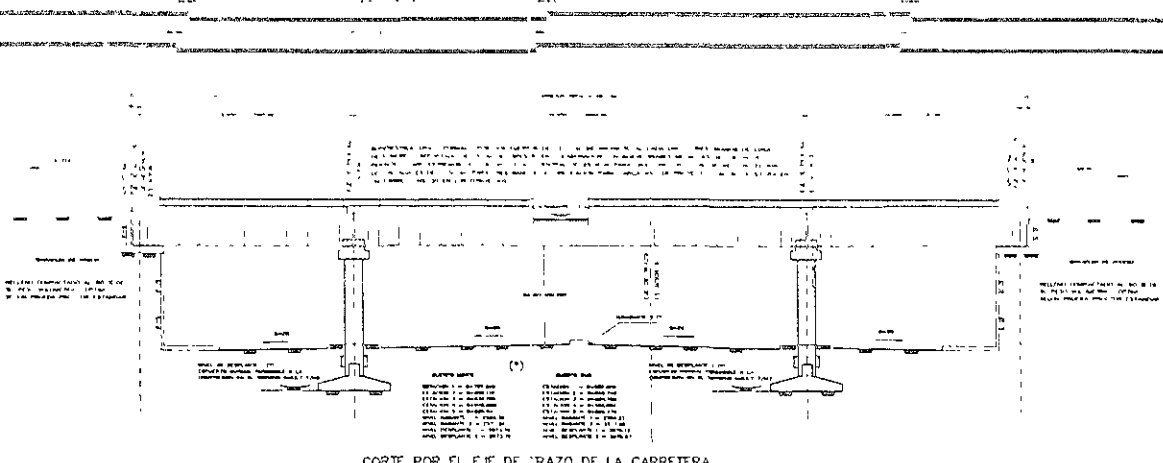
MODALIDAD DE EJECUCION CONTRATO			
INGENIERIA INTEGRAL INTERNACIONAL MEXICO S.A. DE CV	CONCEPCION	CONSTRUCCION	IMPLEMENTACION
CONCEPCION	CONSTRUCCION	IMPLEMENTACION	
CONCEPCION	CONSTRUCCION	IMPLEMENTACION	



PLANTA GENERAL



SECCION TRANSVERSAL

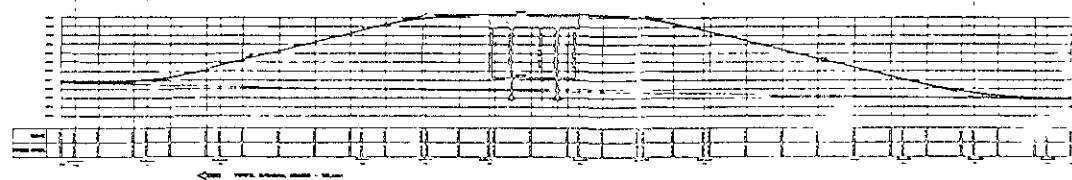


CORTE POR EL EJE DE TRAZO DE LA CARRETERA

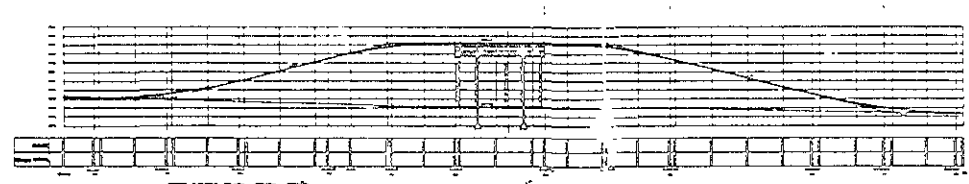
CUERPO NORTE

CUERPO SUR

BOMBEOS EN CARPETA ASFALTICA  
SOBRE EL PUENTE



PERFIL CUERPO NORTE



PERFIL CUERPO SUR

PERFILES DE LOS PUENTES

NOTAS

MATERIALES

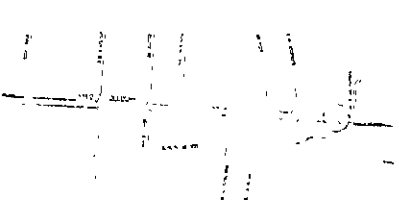
- 1. CONCRETO ALTA CALIDAD, FORTIFICACIONES GRUESAS Y FINAS, Y VIGAS DE ACERO.
- 2. ACERO DE RESISTENCIA ALTA.
- 3. ACERO DENSIFICADO AL 100%.

NOTAS GENERALES

- 1. DIBUJO EN RELACION CON DIBUJO DE PLANO EPZ-01.
- 2. INDICACIONES DE REFERENCIA: LINEAS DE REFERENCIA DE ALTAZA Y LINEAS DE REFERENCIA DE FONDO.
- 3. REFERENCIAS DE ALTAZA: MARCA LA LINEA SUPERIOR DE LAS VIGAS PARA CONSTRUCCIONES Y MARCA LAS DE LA F.C. EN MARCA REFERENCIAL DE ALTAZA PARA REFERIR A LAS VIGAS CAPILLAS.
- 4. REFERENCIAS DE FONDO: MARCA LA LINEA SUPERIOR DE LAS VIGAS PARA REFERIR A LAS VIGAS CAPILLAS.
- 5. LINEAS DE REFERENCIA: MARCA LAS LINEAS REFERENCIALES DE ALTAZA Y FONDO.
- 6. LINEAS DE REFERENCIA: MARCA LAS LINEAS REFERENCIALES DE ALTAZA Y FONDO.

DETALLADO DE COLOCACION Y ENLACEZ DE ACERO DE REFORZADO	
1	2
3	4
5	6
7	8
9	10
11	12
13	14
15	16
17	18
19	20
21	22
23	24
25	26
27	28
29	30
31	32
33	34
35	36
37	38
39	40
41	42
43	44
45	46
47	48
49	50
51	52
53	54
55	56
57	58
59	60
61	62
63	64
65	66
67	68
69	70
71	72
73	74
75	76
77	78
79	80
81	82
83	84
85	86
87	88
89	90
91	92
93	94
95	96
97	98
99	100
101	102
103	104
105	106
107	108
109	110
111	112
113	114
115	116
117	118
119	120
121	122
123	124
125	126
127	128
129	130
131	132
133	134
135	136
137	138
139	140
141	142
143	144
145	146
147	148
149	150
151	152
153	154
155	156
157	158
159	160
161	162
163	164
165	166
167	168
169	170
171	172
173	174
175	176
177	178
179	180
181	182
183	184
185	186
187	188
189	190
191	192
193	194
195	196
197	198
199	200
201	202
203	204
205	206
207	208
209	210
211	212
213	214
215	216
217	218
219	220
221	222
223	224
225	226
227	228
229	230
231	232
233	234
235	236
237	238
239	240
241	242
243	244
245	246
247	248
249	250
251	252
253	254
255	256
257	258
259	260
261	262
263	264
265	266
267	268
269	270
271	272
273	274
275	276
277	278
279	280
281	282
283	284
285	286
287	288
289	290
291	292
293	294
295	296
297	298
299	300
301	302
303	304
305	306
307	308
309	310
311	312
313	314
315	316
317	318
319	320
321	322
323	324
325	326
327	328
329	330
331	332
333	334
335	336
337	338
339	340
341	342
343	344
345	346
347	348
349	350
351	352
353	354
355	356
357	358
359	360
361	362
363	364
365	366
367	368
369	370
371	372
373	374
375	376
377	378
379	380
381	382
383	384
385	386
387	388
389	390
391	392
393	394
395	396
397	398
399	400
401	402
403	404
405	406
407	408
409	410
411	412
413	414
415	416
417	418
419	420
421	422
423	424
425	426
427	428
429	430
431	432
433	434
435	436
437	438
439	440
441	442
443	444
445	446
447	448
449	450
451	452
453	454
455	456
457	458
459	460
461	462
463	464
465	466
467	468
469	470
471	472
473	474
475	476
477	478
479	480
481	482
483	484
485	486
487	488
489	490
491	492
493	494
495	496
497	498
499	500
501	502
503	504
505	506
507	508
509	510
511	512
513	514
515	516
517	518
519	520
521	522
523	524
525	526
527	528
529	530
531	532
533	534
535	536
537	538
539	540
541	542
543	544
545	546
547	548
549	550
551	552
553	554
555	556
557	558
559	560
561	562
563	564
565	566
567	568
569	570
571	572
573	574
575	576
577	578
579	580
581	582
583	584
585	586
587	588
589	590
591	592
593	594
595	596
597	598
599	600
601	602
603	604
605	606
607	608
609	610
611	612
613	614
615	616
617	618
619	620
621	622
623	624
625	626
627	628
629	630
631	632
633	634
635	636
637	638
639	640
641	642
643	644
645	646
647	648
649	650
651	652
653	654
655	656
657	658
659	660
661	662
663	664
665	666
667	668
669	670
671	672
673	674
675	676
677	678
679	680
681	682
683	684
685	686
687	688
689	690
691	692
693	694
695	696
697	698
699	700
701	702
703	704
705	706
707	708
709	710
711	712
713	714
715	716
717	718
719	720
721	722
723	724
725	726
727	728
729	730
731	732
733	734
735	736
737	738
739	740
741	742
743	744
745	746
747	748
749	750
751	752
753	754
755	756
757	758
759	760
761	762
763	764
765	766
767	768
769	770
771	772
773	774
775	776
777	778
779	780
781	782
783	784
785	786
787	788
789	790
791	792
793	794
795	796
797	798
799	800
801	802
803	804
805	806
807	808
809	8010
8011	8012
8013	8014
8015	8016
8017	8018
8019	8020
8021	8022
8023	8024
8025	8026
8027	8028
8029	8030
8031	8032
8033	8034
8035	8036
8037	8038
8039	8040
8041	8042
8043	8044
8045	8046

## CROQUIS DE LOCALIZACION



## MATERIALES

1. **NAME** - **ADDRESS** - **CITY** - **STATE** - **ZIP CODE**  
2. **NAME OF REFEREE** - **ADDRESS**  
3. **NAME OF THE PERSON** - **ADDRESS**  
4. **NAME OF THE PERSON** - **ADDRESS**

## NOTAS GENERALES

- INFORMES DE FALLECIMIENTO EN VIVOS, DE VENDEA, LUCHA Y PREDICACION**  
**INFORMES DE OPERACIONES DE GUERRA**  
**ACTAS DE PAGO AL VENDEDOR DE LA UNIDAD HERIBERT ESTAN MANTENIDAS TODAS EN DIARIO DE BORDO**  
**OPERACIONES TERRITORIALES EN LOS DIFERENTES PUNTOS DE RESISTENCIA, EN LAS MISMAS SE INDICA EL NOMBRE DEL VENDEDOR Y EL PUNTO DE RECLAMACION**  
15/07/07 ALGUNO DE LOS PUNTOS DE RECLAMACION  
15/07/07 ALGUNO DE LOS PUNTOS DE RECLAMACION  
**ACTAS DE REPARTICION DE VENDEA, PREDICACION Y LUCHA VENDIDA, CON LA FECHA DE LA ACTA, EL NOMBRE DEL VENDEDOR, EL PUNTO DE RECLAMACION, EL NOMBRE DEL REPARTIDOR Y LA CANTIDAD**

**DETALLES DE DOGÜECES Y TRASLAPOS**

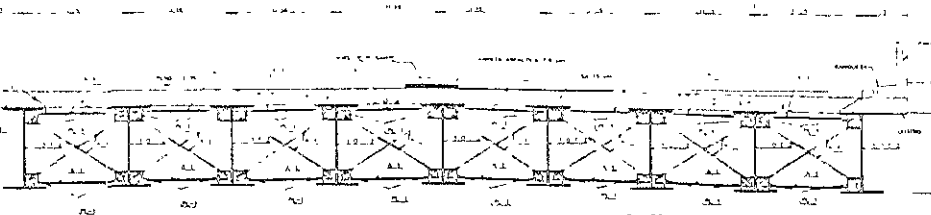
- LOS CRUCES HORizontales SON UNA CLASE DE APERTURAS o CORTADORES DE LOS PAVIMENTOS ALIAS TORNOS LAS MARCAS QUE DIVIDEN horizontalmente EL FABRICANTE DE LA ESTRUCTURA.
  - LOS PUENTES DE TALLER o VENTILACIONES DESTINAS POR APROBACIONES POR LA DIRECCION DE OBRA.
  - LOS CENTROS DE LAS PLAZAS DE CONSTRUCCION AFIRMANTE PAVIMENTOS BLOQUE S O BLOQUE MEJORANTE.
  - LAS IMPERMEACIONES PARA NUEVOS DESARROLLOS ESTAN JUNTO DE POLICLICOS EXCEPCIONALMENTE EN LA PLATAFORMA.
  - EL PROCESOGRAMA DE CONSTRUCCION SE DESARROLLA EN DIFERENTES EN LOS ETAPAS.
  - FORMA LAS BANDEROLAS SE ESTABLECEN DE CONFORMIDAD CON LAS NORMAS AEN.
  - LAS BANDEROLAS DE IMPERMEACIONES POR MEDIO DE PEGADORES O ALGUN OTRO PROCEDIMIENTO NO DESTROZARIA QUE PINTURA DIFERENTE SIN SER DIRECTAMENTE EJECUTADAS POR MATERIAS ESTACIONES.
  - LAS BANDEROLAS DE IMPERMEACIONES LAS QUE SE USAN SON LAS BANDEROLAS QUE PREVIENEN DESECHOS AFIRMANTE CONO CIRCULAR, CIRCULAR, CIRCULAR Y RECONSTRUIR DE MATERIALES.
  - DESPUES DE APRENDER LAS TECNICAS Y CALIFICACIONES EN EL TALLER DE PRACTICAS A ESTUDIAR LAS TECNICAS DE PINTURA, DECORACION Y REPARACION DE PINTURA PARA LA APLICACION DE LOS MATERIAS.
  - LAS OPERACIONES ELEMENTALES DE LA ESTRUCTURA SE LAMINAN CON OBRAS DE HIERRO Y DE LAS APARCAZAS UN CADAZO DE CHAMPAÑA DE 100 X 100 MILIMETROS DE ALTAZA, COMO HABEMOS INDICADO.
  - EL ACABADO FINO DE LA ESTRUCTURA HABRIA CONFORMADO EN DOS CAPAS DE ESMALTE ALGUN COLOR, COLOCANDO POR LA DIRECCION DE OBRA.
  - TODO EL PERSONAL QUE SE ENCARGUE PARA LA IMPERMEACION Y MONTAJE DE LA ESTRUCTURA DEBERA SER CALIFICADO Y APROBADO LAS PRIMERAS VEZES SERIA LA JEFATURA DE LA OBRA.
  - LAS IMPERMEACIONES PARA LA IMPERMEACION Y MONTAJE DE LA ESTRUCTURA SERIA LAS OPERACIONES DE PINTURA, DECORACION Y REPARACIONES DE LA ESTRUCTURA Y SUS COMBINACIONES Y REPARACIONES CON LAS OBRAS ANALOGAS DE LA OBRA EN VENTA.
  - LA FORMACION DE PERSONEL LAMINADORES CORRESPONDE AL DIAZ, MANUAL DE CONSTRUCCIONES DE ACERO DEL INSTITUTO NACIONAL DE LA CONSTRUCCION DE ACERO INC.
  - DE SE QUERAN LOS PROBLEMAS SE DESENARAN PARA ALGUNO EL ACTO DE REPARACION DE LAS BANDEROLAS IMPERMEACIONES Y PINTAR LAS PARTES HINCADAS O SOLVIR DE LA COSTA DE LA OBRA.

## NOTA

ARMADO DE LOSA

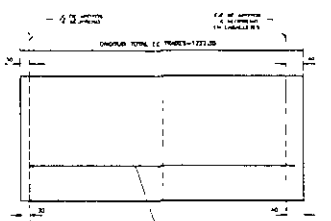


DIAFRAGMA

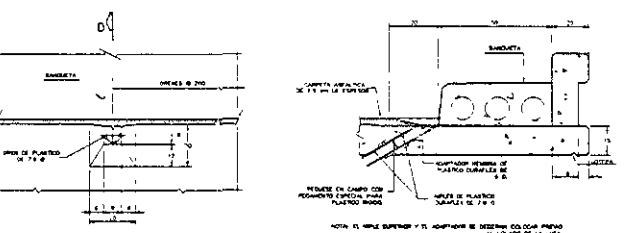


AMERICAN AIRLINES  
AMERICAN AIRLINES

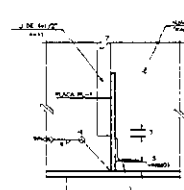
## DISTRIBUCIÓN DE DIAFRAGMAS EN CLAROS CENTRALES



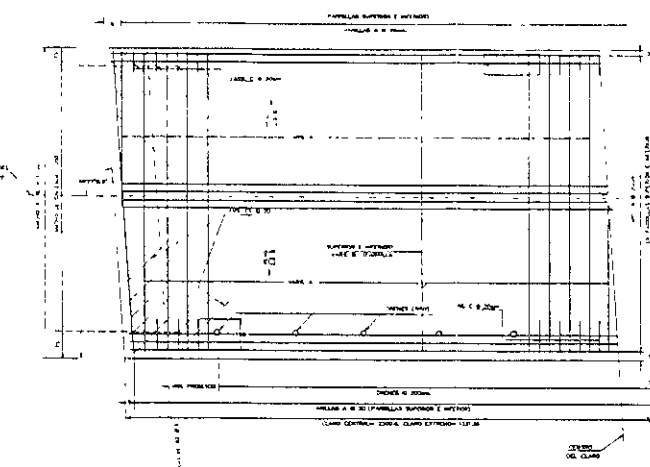
## DISTRIBUCIÓN DE DIAFRAGMAS EN CLAROS EXTREMOS



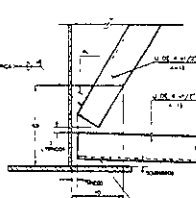
PLANTA



CORTE A-A

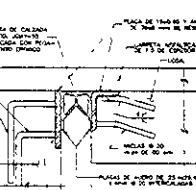


MEDIA PLANTA DE LOS



DETALLI E

MATERIALES		CARACTERÍSTICAS	
CÓDIGO DE FABRICACIÓN		CÓDIGO DE VENTA	
R-1-1	8	100-100-100 100-100-100 100-100-100	
R-1-2	8	J-20-0-0-0-0	



JUNTA DE DILATACIONES

MATERIALES		CANT.	
		LISTA DE VARILLAS	
VECT. / DIAZ.	LONG. (4 M)	CANT.	PERD. VERT. DIAM.
A	10		
B	10		
C	10		
D	10		

ACERO DE REFORZADO BARRILLO 10 mm  
 CONCRETO DE P = 40 MPa  
 CONCRETO ARMADO C 30 mm  
 CONCRETO DE PISTO C 40 mm  
 ACERO DE REFORZADO BARRILLO 10 mm  
 ACERO DE REFORZADO BARRILLO 10 mm



PROYECTO: PUNTO VIALIZACION ESTACION AL

PROYECTO: PUNTO VIALIZACION ESTACION AL

EDIFICACION: PASO TOLCOLAN - LLEV. HACIENDA SIERRA NEGRA  
TOLUCA, ESTADO DE MEXICO

ESTACION: 04-025-64 CENTRAL NORTE  
Km 080-27 CENTRAL SUR

PLANO: TRABES T-1 Y T-2

CLAVE: LPSC-03

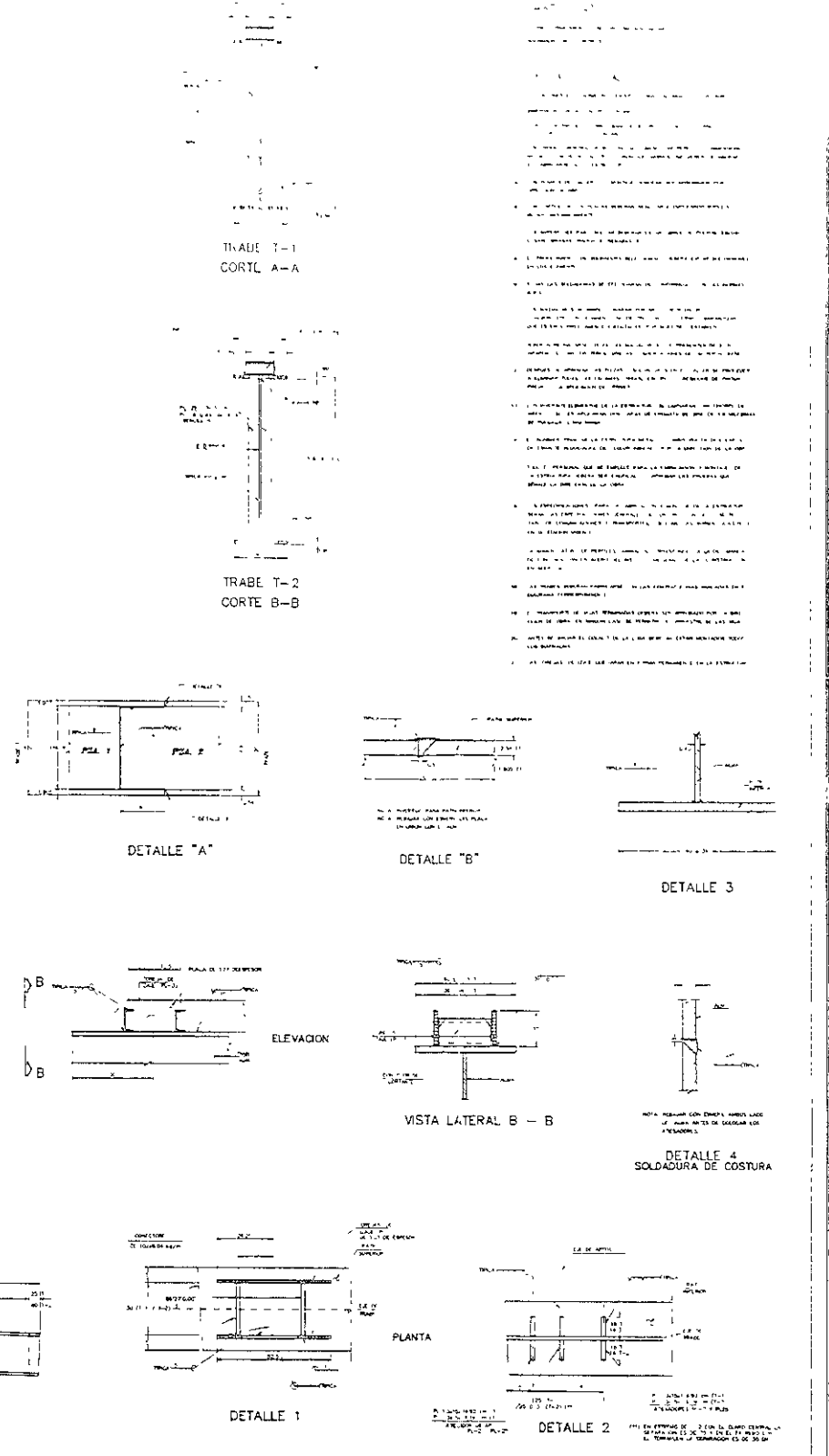
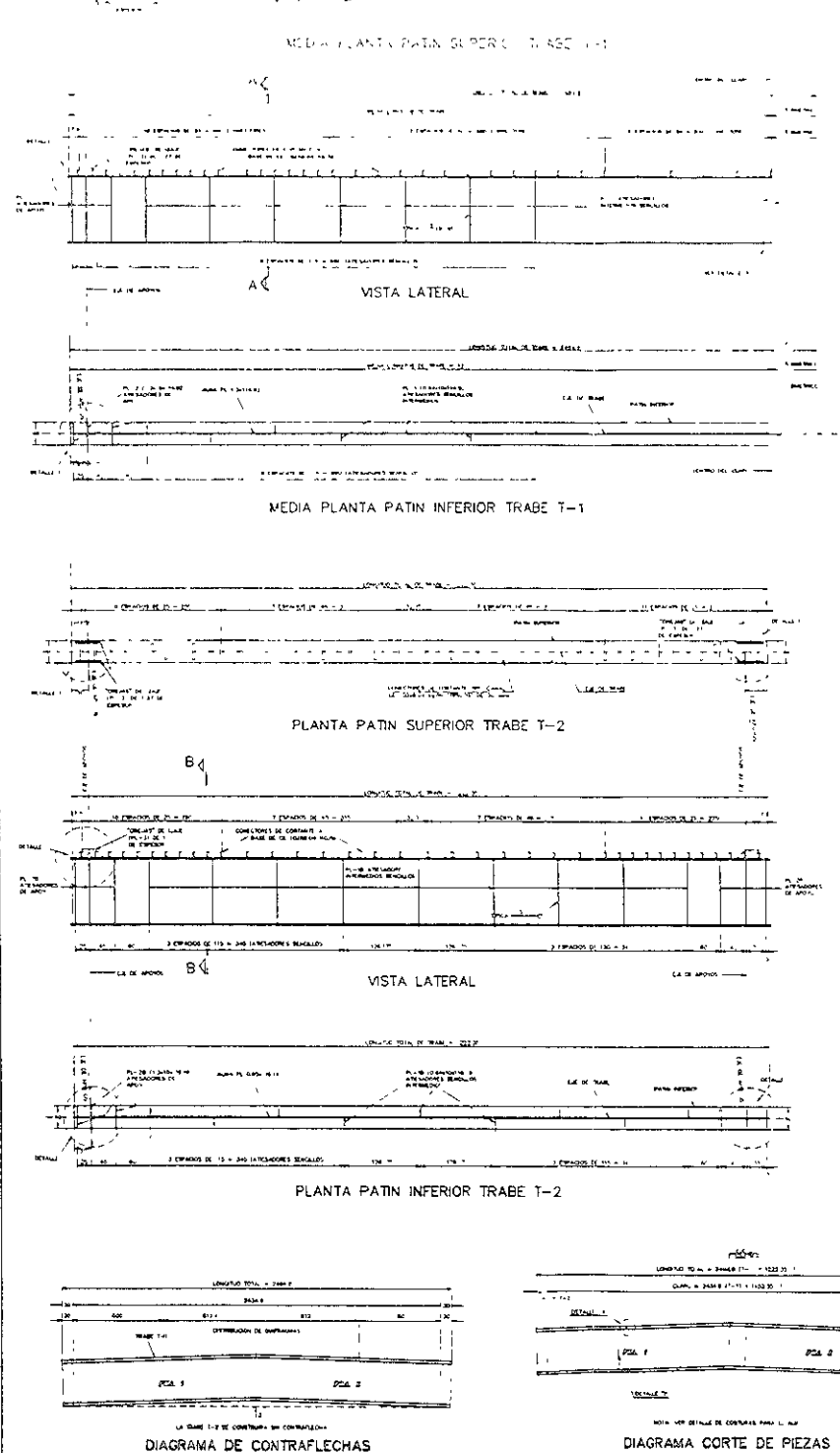
CROQUIS DE LOCALIZACION

MODALIDAD DE EJECUCION CONTRATADA

INGENIERIA INTEGRAL INTERNACIONAL MEXICO S.A. DE C.V.

DIRECCION: DIRECCION: DIRECCION: DIRECCION:

DETALLE 1: DIRECCION DE CONTRAPARTIDA  
DETALLE 2: DIRECCION DE CONTRAPARTIDA  
DETALLE 3: DIRECCION DE CONTRAPARTIDA  
DETALLE 4: DIRECCION DE CONTRAPARTIDA



19. NOMBRE PUENTE: PLANTA + NAT  
 20. ALTA DE PUENTE: 10.500 MTS. MAXIMA ALTURA:  
 TOLUCA - TALA I - M-XIV  
 ESTACION: 08025.64 CENTRAL NM.  
 21. ALTURA: 27 CENTRAL NM.  
 22. PLANO: ACCESORIO.  
 23. CLAVE: EPM-100

#### CROQUIS DE LOCALIZACION



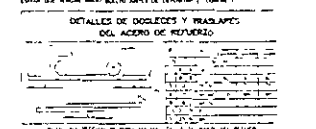
#### MATERIALES

- 1. CONCRETO: CEMENTO 400 KG. / M3.
- 2. ARENA DE CONSTRUCCION: 1.500 KG. / M3.
- 3. ARENA DE PIEDRA: 1.500 KG. / M3.
- 4. BARRILLAS: 1.500 KG. / M3.

#### NOTAS GENERALES

DETALLES DE CONSTRUCCION: CEMENTO EN BAGOS DE 50 KG. Y ARENA EN BOLSAS DE 50 KG.

DETALLES DE DODGEZES Y TRABAJOS DEL ACERO DE REFORZADO



1. LOS CONCRETO: 1. CONCRETO DE BASE Y 2. CONCRETO DE PAVIMENTO.
2. LAS BARRILLAS: PARA TOLARE DERIVACIONES Y ASPIRES. SE PUEDE USAR Y BARRILLAS DE ACERO.
3. LAS BARRILLAS SON DE ESTACIONAMIENTO DE COCHERAS, TONOS HORMIGA Y A.
4. SE DEBEN USAR TORNOS AS. SEPARADORES DE PRENSA EN DETECTOS DE PREDICIOS CON DIFERENTES ALTURAS.
5. SE DEBEN USAR TORNOS AS. SEPARADORES DE PREDICIOS CON DIFERENTES ALTURAS.
6. LOS DIFERENTES TORNOS AS. SEPARADORES DE PREDICIOS SE PUEDE USAR A LA ALTA DE PREDICIOS.
7. LOS DIFERENTES TORNOS AS. SEPARADORES DE PREDICIOS SE PUEDE USAR A LA ALTA DE PREDICIOS.
8. LOS DIFERENTES TORNOS AS. SEPARADORES DE PREDICIOS SE PUEDE USAR A LA ALTA DE PREDICIOS.
9. LOS DIFERENTES TORNOS AS. SEPARADORES DE PREDICIOS SE PUEDE USAR A LA ALTA DE PREDICIOS.
10. LOS DIFERENTES TORNOS AS. SEPARADORES DE PREDICIOS SE PUEDE USAR A LA ALTA DE PREDICIOS.
11. LOS DIFERENTES TORNOS AS. SEPARADORES DE PREDICIOS SE PUEDE USAR A LA ALTA DE PREDICIOS.
12. LOS DIFERENTES TORNOS AS. SEPARADORES DE PREDICIOS SE PUEDE USAR A LA ALTA DE PREDICIOS.
13. LOS DIFERENTES TORNOS AS. SEPARADORES DE PREDICIOS SE PUEDE USAR A LA ALTA DE PREDICIOS.
14. LOS DIFERENTES TORNOS AS. SEPARADORES DE PREDICIOS SE PUEDE USAR A LA ALTA DE PREDICIOS.
15. LOS DIFERENTES TORNOS AS. SEPARADORES DE PREDICIOS SE PUEDE USAR A LA ALTA DE PREDICIOS.
16. LOS DIFERENTES TORNOS AS. SEPARADORES DE PREDICIOS SE PUEDE USAR A LA ALTA DE PREDICIOS.
17. LOS DIFERENTES TORNOS AS. SEPARADORES DE PREDICIOS SE PUEDE USAR A LA ALTA DE PREDICIOS.
18. LOS DIFERENTES TORNOS AS. SEPARADORES DE PREDICIOS SE PUEDE USAR A LA ALTA DE PREDICIOS.
19. LOS DIFERENTES TORNOS AS. SEPARADORES DE PREDICIOS SE PUEDE USAR A LA ALTA DE PREDICIOS.
20. LOS DIFERENTES TORNOS AS. SEPARADORES DE PREDICIOS SE PUEDE USAR A LA ALTA DE PREDICIOS.
21. LOS DIFERENTES TORNOS AS. SEPARADORES DE PREDICIOS SE PUEDE USAR A LA ALTA DE PREDICIOS.
22. LOS DIFERENTES TORNOS AS. SEPARADORES DE PREDICIOS SE PUEDE USAR A LA ALTA DE PREDICIOS.

#### LISTA DE MATERIALES

##### DETALLADO Y ALTA DE ALZAMIENTO

1. PISO DE ACERO: 1.000 KG. / M2. DE CEMENTO DE 400 KG. / M3.
2. PISO DE ACERO: 1.000 KG. / M2. DE CEMENTO DE 400 KG. / M3.
3. PISO DE ACERO: 1.000 KG. / M2. DE CEMENTO DE 400 KG. / M3.
4. PISO DE ACERO: 1.000 KG. / M2. DE CEMENTO DE 400 KG. / M3.
5. PISO DE ACERO: 1.000 KG. / M2. DE CEMENTO DE 400 KG. / M3.
6. PISO DE ACERO: 1.000 KG. / M2. DE CEMENTO DE 400 KG. / M3.
7. PISO DE ACERO: 1.000 KG. / M2. DE CEMENTO DE 400 KG. / M3.
8. PISO DE ACERO: 1.000 KG. / M2. DE CEMENTO DE 400 KG. / M3.
9. PISO DE ACERO: 1.000 KG. / M2. DE CEMENTO DE 400 KG. / M3.
10. PISO DE ACERO: 1.000 KG. / M2. DE CEMENTO DE 400 KG. / M3.
11. PISO DE ACERO: 1.000 KG. / M2. DE CEMENTO DE 400 KG. / M3.
12. PISO DE ACERO: 1.000 KG. / M2. DE CEMENTO DE 400 KG. / M3.
13. PISO DE ACERO: 1.000 KG. / M2. DE CEMENTO DE 400 KG. / M3.
14. PISO DE ACERO: 1.000 KG. / M2. DE CEMENTO DE 400 KG. / M3.
15. PISO DE ACERO: 1.000 KG. / M2. DE CEMENTO DE 400 KG. / M3.
16. PISO DE ACERO: 1.000 KG. / M2. DE CEMENTO DE 400 KG. / M3.
17. PISO DE ACERO: 1.000 KG. / M2. DE CEMENTO DE 400 KG. / M3.
18. PISO DE ACERO: 1.000 KG. / M2. DE CEMENTO DE 400 KG. / M3.
19. PISO DE ACERO: 1.000 KG. / M2. DE CEMENTO DE 400 KG. / M3.
20. PISO DE ACERO: 1.000 KG. / M2. DE CEMENTO DE 400 KG. / M3.
21. PISO DE ACERO: 1.000 KG. / M2. DE CEMENTO DE 400 KG. / M3.
22. PISO DE ACERO: 1.000 KG. / M2. DE CEMENTO DE 400 KG. / M3.

#### NOTA

#### PLANO PRELIMINAR

#### MATERIAL DE CONSTRUCCION

#### INGENIERIA INTEGRAL INTERNACIONAL MEXICO SA DE CV

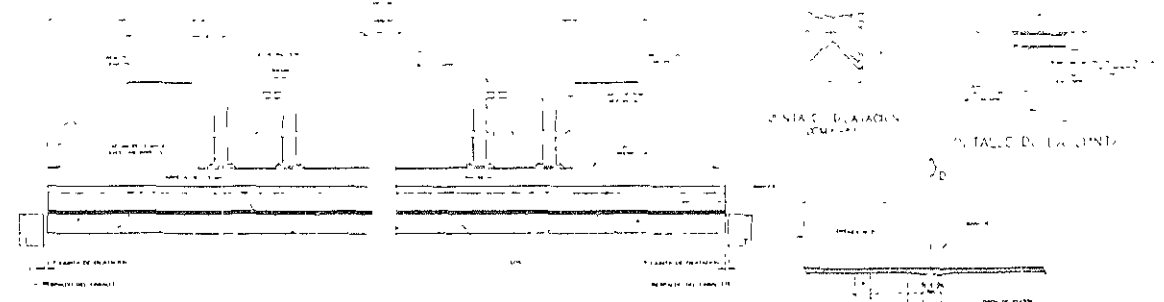
DIRECCION: 100 AV. 10 DE JUNIO, 10000, MEXICO, D.F.

TEL: 555-1234567, FAX: 555-1234567, E-MAIL: info@iimexico.com.mx

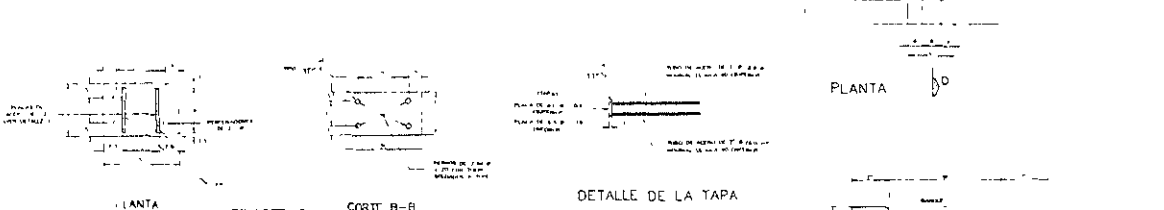
WEBSITE: www.iimexico.com.mx

REVISOR: INGENIERO: DISEÑADOR: DIRECCION:

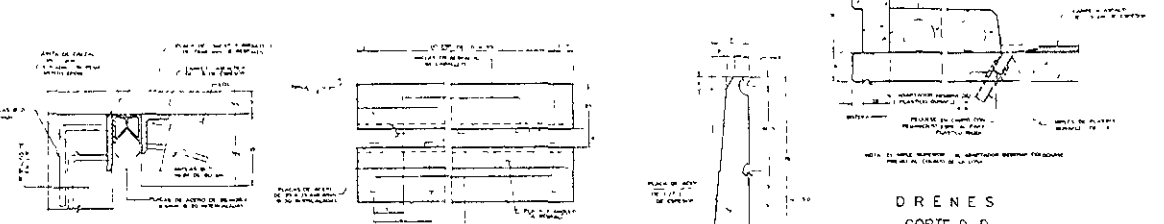
FECHA: 10/10/2008, PAGINA: 1/1, PAGINA TOTAL: 1/1



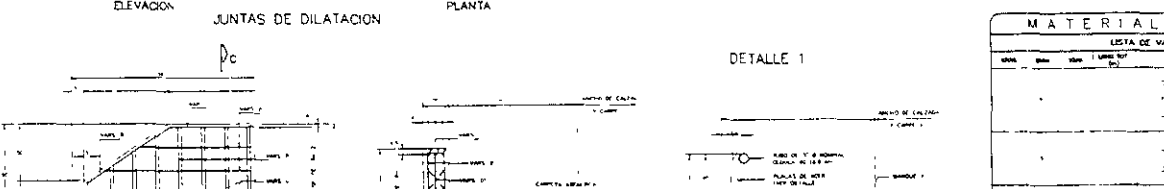
CORTE LONGITUDINAL DEL PUENTE



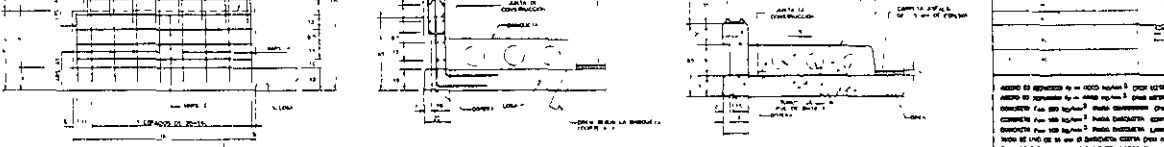
PILASTRAS



ELEVACION



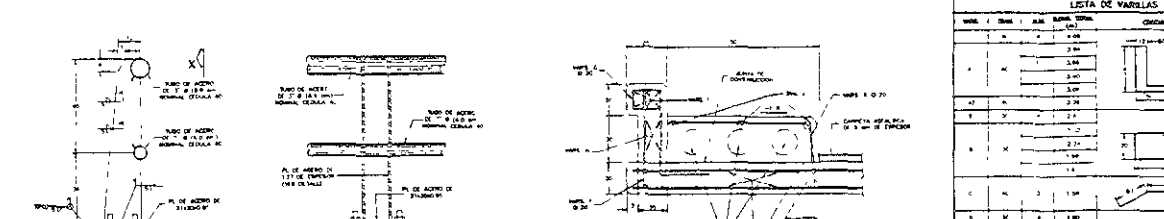
ELEVACION



ELEVACION



VISTA X-X



ELEVACION



VISTA X-X

ARMADO DE BANQUETA

MATERIALES		CANTIDAD Y EXPRESION	
LISTA DE VARILLAS		CANTIDAD	
VARILLA	DIAMETRO	LARGO	UNIDAD
1	10	100	M
2	12	100	M
3	14	100	M
4	16	100	M
5	18	100	M
6	20	100	M
7	22	100	M
8	24	100	M
9	26	100	M
10	28	100	M
11	30	100	M
12	32	100	M
13	34	100	M
14	36	100	M
15	38	100	M
16	40	100	M
17	42	100	M
18	44	100	M
19	46	100	M
20	48	100	M
21	50	100	M
22	52	100	M
23	54	100	M
24	56	100	M
25	58	100	M
26	60	100	M
27	62	100	M
28	64	100	M
29	66	100	M
30	68	100	M
31	70	100	M
32	72	100	M
33	74	100	M
34	76	100	M
35	78	100	M
36	80	100	M
37	82	100	M
38	84	100	M
39	86	100	M
40	88	100	M
41	90	100	M
42	92	100	M
43	94	100	M
44	96	100	M
45	98	100	M
46	100	100	M
47	102	100	M
48	104	100	M
49	106	100	M
50	108	100	M
51	110	100	M
52	112	100	M
53	114	100	M
54	116	100	M
55	118	100	M
56	120	100	M
57	122	100	M
58	124	100	M
59	126	100	M
60	128	100	M
61	130	100	M
62	132	100	M
63	134	100	M
64	136	100	M
65	138	100	M
66	140	100	M
67	142	100	M
68	144	100	M
69	146	100	M
70	148	100	M
71	150	100	M
72	152	100	M
73	154	100	M
74	156	100	M
75	158	100	M
76	160	100	M
77	162	100	M
78	164	100	M
79	166	100	M
80	168	100	M
81	170	100	M
82	172	100	M
83	174	100	M
84	176	100	M
85	178	100	M
86	180	100	M
87	182	100	M
88	184	100	M
89	186	100	M
90	188	100	M
91	190	100	M
92	192	100	M
93	194	100	M
94	196	100	M
95	198	100	M
96	200	100	M
97	202	100	M
98	204	100	M
99	206	100	M
100	208	100	M
101	210	100	M
102	212	100	M
103	214	100	M
104	216	100	M
105	218	100	M
106	220	100	M
107	222	100	M
108	224	100	M
109	226	100	M
110	228	100	M
111	230	100	M
112	232	100	M
113	234	100	M
114	236	100	M
115	238	100	M
116	240	100	M
117	242	100	M
118	244	100	M
119	246	100	M
120	248	100	M
121	250	100	M
122	252	100	M
123	254	100	M
124	256	100	M
125	258	100	M
126	260	100	M
127	262	100	M
128	264	100	M
129	266	100	M
130	268	100	M
131	270	100	M
132	272	100	M
133	274	100	M
134	276	100	M
135	278	100	M
136	280	100	M
137	282	100	M
138	284	100	M
139	286	100	M
140	288	100	M
141	290	100	M
142	292	100	M
143	294	100	M
144	296	100	M
145	298	100	M
146	300	100	M
147	302	100	M
148	304	100	M
149	306	100	M
150	308	100	M
151	310	100	M
152	312	100	M
153	314	100	M
154	316	100	M
155	318	100	M
156	320	100	M
157	322	100	M
158	324	100	M
159	326	100	M
160	328	100	M
161	330	100	M
162	332	100	M
163	334	100	M
164	336	100	M
165	338	100	M
166	340	100	M
167	342	100	M
168	344	100	M
169	346	100	M
170	348	100	M
171	350	100	M
172	352	100	M
173	354	100	M
174	356	100	M
175	358	100	M
176	360	100	M
177	362	100	M
178	364	100	M
179	366	100	M
180	368	100	M
181	370	100	M
182	372	100	M
183	374	100	M
184	376	100	M
185	378	100	M
186	380	100	M
187	38		